



ดิจิทัลซิกแนลโปรเซสซิง

Digital Signal Processing

ผู้จัดทำ

นาย สันติ แซ่ย่อ 321368

นางสาว สุชาดา ดัชยยะ 321375

นาย สุทธิพันธ์ พรศิริกุล 321376

อาจารย์ที่ปรึกษา

รศ. ดร. มนัส สังวรศิลป์

วิทยานิพนธ์สำหรับปริญญาวิศวกรรมศาสตรบัณฑิต

สาขาวิศวกรรมศาสตรอิเล็กทรอนิกส์

คณะวิศวกรรมศาสตร์

สถาบันเทคโนโลยีพระจอมเกล้าเจ้าคุณทหารลาดกระบัง

ปีการศึกษา ๒๕๓๕ ภาคเรียนที่ ๒

เอกสารนี้เป็นเอกสารที่สงวนไว้สำหรับการใช้งานเพื่อการศึกษาเท่านั้น ไม่อนุญาตให้นำไปใช้ประโยชน์ด้านการค้า
ไม่ว่ากรณีใดๆ ทั้งสิ้น อีกทั้งห้ามมิให้ตัดแปลงเนื้อหาและต้องอ้างอิงถึงเจ้าของเอกสารทุกครั้งที่มีการนำไปใช้

032559

ปริญญาโทปีการศึกษา 2535 (ภาคเรียนที่ 2)

ภาควิชา อิเลคทรอนิกส์

คณะวิศวกรรมศาสตร์

สถาบันเทคโนโลยีพระจอมเกล้า เจ้าคุณทหารลาดกระบัง

เรื่อง การประมวลผลสัญญาณดิจิทัล และการประยุกต์ใช้งาน
(Digital Signal Processing)

ผู้จัดทำ

- | | | |
|---------------------------|-------------|---------|
| 1 นายสันติ แซ่ย่อ | เลขประจำตัว | 32.1368 |
| 2 นางสาวสุชาดา ดีชัยยะ | เลขประจำตัว | 32.1375 |
| 3 นายสุทธินันท์ พรศิริกุล | เลขประจำตัว | 32.1376 |

รศ. ดร. มนัส สังวรศิลป์ อาจารย์ที่ปรึกษา

(.....)

ดิจิทัลซิกแนลโปรเซสซิง

(Digital Signal Processing : DSP)

นายสันติ ช่วย 32.1368

นางสาวสุชาดา ศิษย์ยะ 32.1375

นายสุทธินันท์ พรศิริกุล 32.1376

รศ.ดร. มนัส สังวรศิลป์ อาจารย์ที่ปรึกษา

ปีการศึกษา 2535 ภาคเรียนที่ 2

บทคัดย่อ

ระบบประมวลผลสัญญาณเชิงตัวเลขหรือดิจิทัลซิกแนลโปรเซสซิงเป็นระบบประมวลผลสัญญาณอีกแบบหนึ่งที่ได้รับการพัฒนาอย่างมีประสิทธิภาพ และถูกนำไปประยุกต์ใช้งานด้านต่าง ๆ เช่น ระบบควบคุม, ระบบสื่อสารข้อมูล , เครื่องมือวัดต่าง ๆ เป็นต้น

สำหรับปริญญาโทในส่วนของภาคเรียนแรก ทางกลุ่มของผู้จัดทำจึงได้ศึกษาถึงทฤษฎีและได้ออกแบบและพัฒนาฮาร์ดแวร์ของระบบดิจิทัลซิกแนลโปรเซสซิง โดยใช้ไมโครโปรเซสเซอร์ เบอร์ TMS32010 ของ Texas Instrument และติดต่อกับคอมพิวเตอร์ทางบอร์ดอินเตอร์เฟส ซึ่งจะใช้ 8255 เป็นพอร์ทอินพุตและพอร์ทเอาต์พุต ใช้ RAM เบอร์ MT5C2568-20 ขนาด 32Kx8 บิตเป็นหน่วยความจำของระบบ และในส่วนของภาคเรียนที่ 2 ทางกลุ่มได้พัฒนาโปรแกรมภาษาแอสเซมบลีของ TMS32010 เพื่อนำไปใช้งานร่วมกับระบบฮาร์ดแวร์ที่ได้ออกแบบและพัฒนาขึ้นในภาคเรียนแรก เพื่อนำไปประยุกต์ใช้งานเป็นวงจรตัวกรองเชิงเลข ซึ่งสามารถใช้งานเป็นวงจรกรองเชิงเลขได้ทุกชนิด นอกจากนั้นทางกลุ่มผู้จัดทำยังได้พัฒนาโปรแกรมขึ้น เพื่อให้ผู้ใช้สามารถออกแบบวงจรกรองเชิงเลขได้ทางไมโครซอฟต์แวร์วินโดวส์ได้ ซึ่งในส่วนนี้จะทำให้ผู้ใช้มีความสะดวกในการออกแบบวงจรกรองให้มีคุณสมบัติตามที่ผู้ใช้ต้องการ.

Digital Signal Processing

SANTI SAEYOR 321368

SUCHADA DEECHAIYA 321375

SUTTINUN PORNSIRIKUL 321376

Dr.MANUS SANGVORASILP Advisor.

Abstract

Digital Signal Processing or DSP is another type of the processing system .By this present time ,DSP system has been developed for modern theories and many applications in Control System , Telecommunications , Instrumentations , Image Processing , etc.

In the first semester, our project group had studied the theories of DSP system and designed the circuit which will support our study. In our circuits, we use TMS32010 as microprocessor in mainboard and interface this board with PC by interfacing card used 8255 peripheral. RAM number MT5C2568-20 which has 32Kx8 bits is used as system memory.

In this semester, our group use the assembly language of TMS32010 for controlling the hardware in first semester in order to apply for any types of digital filter and we additionally develop the software for the user to design the digital filter by using Microsoft Windows Version 3.0 up.

By this software, the user will design the digital filter to have the required specification easily and quickly.

สารบัญ

บทที่ 1	บทนำ	1
บทที่ 2	หลักการ และ ทฤษฎี	7
2.1	สถาปัตยกรรมของ TMS32010	7
2.2	การอินเตอร์เฟสกับไอพีเอ็มพีซี (IBM/PC)	24
2.3	ทฤษฎีของการแปลงสัญญาณ	26
บทที่ 3	การออกแบบวงจรและการทำงาน	37
3.1	วงจรส่วนเมนบอร์ด	38
3.2	วงจรส่วนหน่วยความจำ	43
3.3	วงจรถ้าหนดความถี่สุ่ม	43
3.4	วงจรแปลงสัญญาณจากอนาลอกเป็นดิจิตอล	44
3.5	วงจรแปลงสัญญาณจากดิจิตอลเป็นอนาลอก	49
3.6	วงจรถ้าหนดต่อกับ IBM/PC (Interface)	50
บทที่ 4	ตัวกรองไม่ป้อนกลับเชิงเลข	51
4.1	ตัวกรองหน่วงเวลา	51
4.2	ตัวกรองผลตอบสนองเฟสเชิงเส้น	52
4.3	การออกแบบโดยใช้อนุกรมฟูรีเยอร์	55
4.4	การออกแบบโดยใช้วินโดว์	58
4.5	โคเชอร์วินโดว์	59
4.6	การหาสมการสำเร็จสำหรับการเขียนโปรแกรม	66
บทที่ 5	บันทึกผลการทดลอง	68

สารบัญ (ต่อ)

บทที่ 6 สรุปผลการทดลอง 79

ภาคผนวก ก. แสดงวงจรทั้งหมดในส่วนต่าง ๆ

ข. แสดง List Program.

เอกสารอ้างอิง

กิจกรรมประกาศ



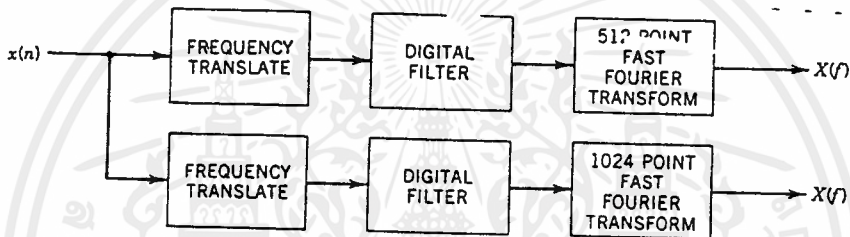
เอกสารนี้เป็นเอกสารที่สงวนไว้สำหรับการใช้งานเพื่อการศึกษาเท่านั้น ไม่อนุญาตให้นำไปใช้ประโยชน์ด้านการค้า
ไม่ว่ากรณีใดๆ ทั้งสิ้น อีกทั้งห้ามมิให้ตัดแปลงเนื้อหาและต้องอ้างอิงถึงเจ้าของเอกสารทุกครั้งที่มีการนำไปใช้

บทที่ 1 บทนำ

ดิจิทัลซิกแนล โพรเซสซิง ก็คือการเปลี่ยนรูปแบบของสัญญาณ โดยใช้ การคำนวณทางคณิตศาสตร์ ด้วยดิจิทัลซิกแนล โพรเซสเซอร์ ซึ่งจะเห็นได้ว่าเราสามารถจะนำสัญญาณนั้นไปส่ง ไปในสมการคณิตศาสตร์ แล้ว ได้ผลลัพธ์ออกมาโดยตรงเลยทีเดียว

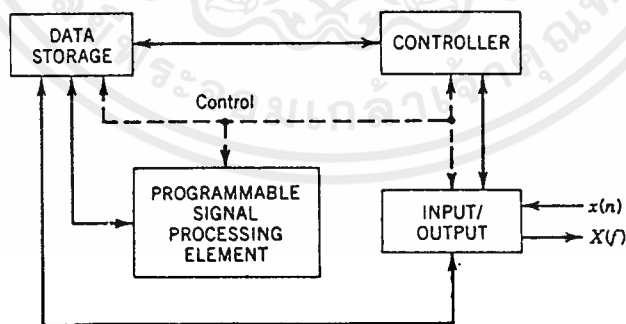
ในช่วง 10 ปีที่ผ่านมา ความก้าวหน้าทางด้านดิจิทัลซิกแนล โพรเซสซิง ได้เกิดขึ้นเป็นอย่างมาก มีการค้นพบอัลกอริทึม (Algorithms) ใหม่ ๆ เพิ่มขึ้นเรื่อยๆ และการพัฒนาเครื่องมือใหม่ ๆ เพื่อช่วยในด้านการออกแบบ ตาม อัลกอริทึมนั้นอีกด้วย ระบบดิจิทัลซิกแนล โพรเซสซิงนี้จะมีอยู่ 2 แบบใหญ่ๆคือ

1.1 ระบบที่ออกแบบมาเพื่อให้ทำงานอย่างใดอย่างหนึ่งโดยเฉพาะ เช่น รูปที่ 1.1



รูปที่ 1.1 แสดงการประมวลผลเฉพาะอย่าง

2.2 ระบบที่ใช้ไมโครโพรเซสเซอร์ ซึ่งจะสามารถทำงานเป็นอะไรก็ได้ ขึ้นอยู่กับโปรแกรมที่ใส่ไว้ ดังรูป 1.2



รูปที่ 1.2 แสดงการใช้ไมโครโพรเซสเซอร์ประมวลผล

ความก้าวหน้าทางอิเล็กทรอนิกส์ครั้งใหญ่ เกิดขึ้นเมื่อได้มีการพัฒนาสร้าง ดิจิตอลซิกแนลโพรเซสเซอร์แบบความเร็วสูง (High-Speed Signal Processor) ซึ่งในปัจจุบันนี้ได้มีใช้กันอย่างแพร่หลาย ในราคาที่ไม่แพงนัก

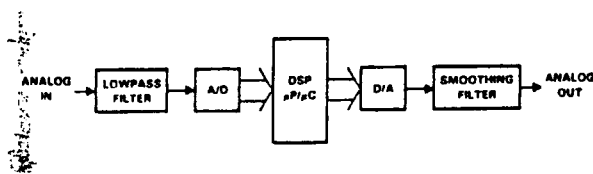
ดิจิตอลซิกแนลโพรเซสเซอร์ จำเป็นจะต้องมีความเร็วที่สูง และถูกออกแบบมาโดยเฉพาะให้สามารถทำงานได้อย่างมีประสิทธิภาพ โดยใช้ข้อดีของการประมวลผลแบบขนาน และการใช้ชุดคำสั่งที่สร้างขึ้นมาเฉพาะ ทั้งนี้ก็เพื่อการประมวลผลแบบเวลาจริง (Real Time) นั่นเอง การประมวลผลแบบเวลาจริงคือ เมื่อเราใส่สัญญาณอินพุตเข้าไป ก็จะได้สัญญาณเอาต์พุตออกมาเลย โดยจะมีเวลาหน่วง (delay) น้อยมาก ซึ่งจะมีประโยชน์ในการใช้งานมากกว่าการประมวลผลแบบไม่ใช่เวลาจริง

ด้วยความสามารถของดิจิตอลซิกแนลโพรเซสซิง จึงได้นำไปใช้งานในแบบต่างๆ ซึ่งให้ผลลัพธ์ที่ดีกว่าใช้วงจรทางอนาล็อก เช่น ความน่าเชื่อถือ ความยืดหยุ่น การทดแทนได้ง่าย ขนาดที่เล็กกว่า และเสถียรภาพในระยะยาว และความสามารถของดิจิตอลซิกแนลโพรเซสเซอร์ที่สามารถเปลี่ยนโปรแกรมการทำงานได้ง่าย ทำให้การใช้งานดิจิตอลซิกแนลโพรเซสเซอร์นั้นน่าสนใจ เช่น สามารถเปลี่ยนให้ดีขึ้นเมื่ออัลกอริทึมใหม่ๆถูกค้นพบ หรือความสามารถทำงานได้หลายๆอย่าง โดยเพียงแค่เปลี่ยนโปรแกรมให้กับมันเท่านั้น

ในทางอิเล็กทรอนิกส์นั้น โดยส่วนใหญ่มักจะเกี่ยวข้องกับสัญญาณทางไฟฟ้า เช่น การกรองสิ่งที่ไม่ต้องการออกจากสัญญาณอินพุต การแยกเอาข้อมูลออกมา หรือไม่ก็เป็นการสร้างรูปคลื่นที่ต้องการขึ้นมา หรือการเปลี่ยนลักษณะทางแอมพลิจูดของสัญญาณ ซึ่งในอดีตการกระทำเหล่านี้จะทำโดยใช้วงจรอนาล็อกที่ออกแบบมาเพื่องานนั้นๆ นอกจากนั้นวงจรอนาล็อกยังไม่เหมาะที่จะสร้างขึ้นเป็นวงจรรวมขนาดใหญ่ (VLSI) อีกด้วย คุณสมบัติของวงจรรอนาล็อกนั้นจะขึ้นอยู่กับค่าอุปกรณ์ที่ใช้ เช่น ค่า R,C ที่มีค่าไม่แน่นอน ที่สำคัญจะมีกระแสรั่วไหลที่แปรตามเวลา และยังขึ้นอยู่กับ โวลต์เตจและอุณหภูมิอีกด้วย การออกแบบวงจรอนาล็อกนั้นก็ยังไม่เป็อ ทั้งวงจรหนึ่งๆ จะทำงานได้อย่างเดียวเท่านั้น แต่ถ้าต้องการให้ทำงานอื่นๆ ก็จะต้องเปลี่ยนอุปกรณ์ และก็ต้องเดินสายกันใหม่ นอกจากนี้แล้วการทดสอบวงจรรอนาล็อกอาจเป็นปัญหาได้ เนื่องมาจาก อิมพีแดนซ์ของเครื่องมือวัดที่ต่อเข้าไปในวงจร ปัญหาพื้นฐานของวงจรรอนาล็อกเหล่านี้ สามารถแก้ได้โดยการใช้ DSP ข้อได้เปรียบอีกประการของการใช้ DSP แทนวงจรรอนาล็อกคือ การเปลี่ยนคุณสมบัติของการประมวลผลสามารถทำได้โดยง่าย ซึ่งจะทำให้เราสามารถทดลอง ในทุกทางที่

เป็นไปได้ เพื่อเลือกเอาผลที่ดีที่สุดที่เราพอใจ

โดยทั่วไป ระบบ DSP จะประกอบด้วยส่วนต่างๆดังรูป 1.3

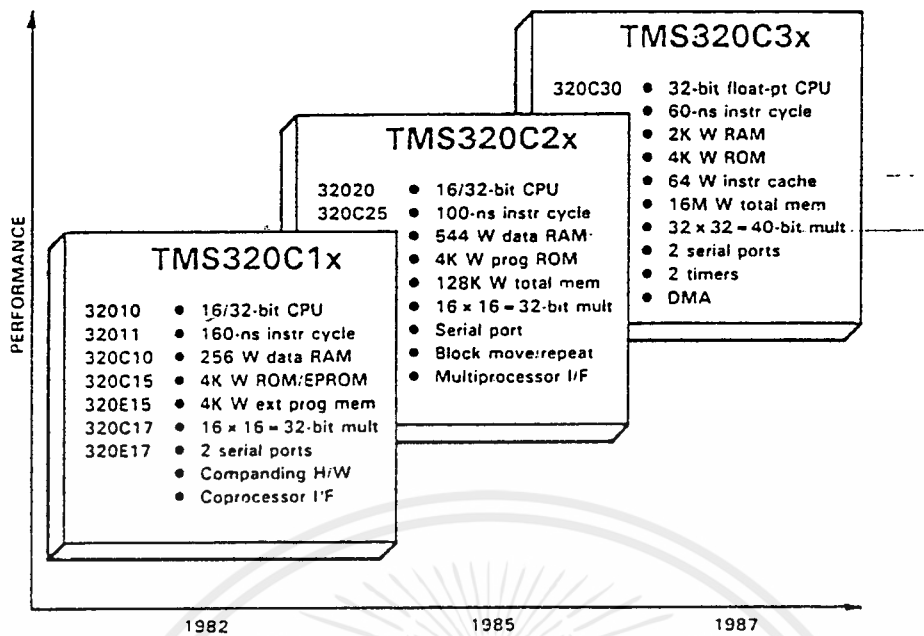


รูปที่ 1.3 แสดงส่วนประกอบของ DSP

สัญญาณอนาลอกอินพุท จะถูกป้อนเข้าสู่ Low Pass Filter เพื่อที่จะจำกัดช่วงความถี่ของสัญญาณอินพุท จากนั้นก็จะส่งต่อไปยัง อนาลอก/ดิจิตอล คอนเวอร์เตอร์(Analog to Digital Converter:A/D) แล้วส่งให้ระบบประมวลผลสัญญาณดิจิตอลต่อไป ระบบประมวลผลสัญญาณดิจิตอลก็จะนำเอาอัลกอริทึมที่มีอยู่มากมายมากระทำกับข้อมูลสัญญาณ จากนั้นก็จะส่งข้อมูลสัญญาณที่ถูกแก้ไขแล้ว ไปให้ส่วนดิจิตอล/อนาลอก คอนเวอร์เตอร์(Digital to Analog Converter:D/A) เพื่อเปลี่ยนสัญญาณข้อมูลกลับเป็นสัญญาณอนาลอกที่ต้องการ แต่จากเอาต์พุทของ D/A ซึ่งจะมีลักษณะเป็นขั้นๆแยกกัน ดังนั้นเราจำเป็นต้องใช้วงจรกรองสัญญาณให้เรียบ (Low Pass Filter) เพื่อที่จะขจัดสัญญาณความถี่สูงที่ไม่ต้องการออกไป

ที่พูดมานี้มีแต่ส่วนดีของ DSP แต่ส่วนเสียของ DSP ก็มี ปัญหาที่เกิดขึ้นจะแตกต่างกันไป จากปัญหาที่เกิดขึ้นในวงจรอนาลอก เช่น การเกิดควันไทซ์เซชัน(Quantization) , การเกิดนอยส์ (Noise), Idle channel noise , ความไม่ราบเรียบของสัญญาณ , ความละเอียดของสัญญาณ เป็นต้น ตัวแปรที่สำคัญอีกตัวหนึ่งที่จะแยกระบบ DSP ต่างๆออกตามการใช้งานก็คือ ค่าอัตราการสุ่มข้อมูล(Sampling Rate) ยิ่งอัตราการสุ่มข้อมูลมากยิ่งต้องใช้ระบบประมวลผลที่มีความเร็วสูงยิ่งขึ้นและซับซ้อนยิ่งขึ้นด้วย อัตราการสุ่มข้อมูลนี้จะมีผลต่อการนำไปใช้งาน ถ้ามีอัตราการสุ่มข้อมูลที่สูง ก็จะใช้งานในย่านความถี่ที่สูงขึ้นได้ โดยคุณภาพของสัญญาณข้อมูลยังคงยอมรับได้

บริษัท เทกซ์อินสตุเมนต์ จึง ได้ผลิต ไอซีที่เป็นตัวประมวลผลออกมาสำหรับใช้งานทางด้านของดิจิตอลซิกแนล โปรเซสซิง โดยเฉพาะ ซึ่งเป็นตระกูลที่มีชื่อว่า TMS320 ซึ่งมีวิวัฒนาการดังรูปที่ 1.4



รูปที่ 1.4 แสดงวิวัฒนาการของไอซีตระกูล TMS320xx

ไอซีตระกูล TMS320 นี้ จะเป็นลักษณะ ไมโครโปรเซสเซอร์แบบชิพเดี่ยว (Single Chip) สามารถทำงานได้กว้างขวาง และมีความเร็วในการประมวลผลสูง

ไอซีเบอร์ TMS32010 นี้ สามารถนำไปใช้งานได้อย่างกว้างขวาง โดยเฉพาะการประมวลผลแบบเวลาจริง (Real Time) การประยุกต์ใช้งานไอซีเบอร์ TMS32010 แสดงในตารางที่ 1.1

GENERAL-PURPOSE DSP	GRAPHICS/IMAGING	INSTRUMENTATION
Digital Filtering Convolution Correlation Hilbert Transforms Fast Fourier Transforms Adaptive Filtering Windowing Waveform Generation	3-D Rotation Robot Vision Image Transmission/ Compression Pattern Recognition Image Enhancement Homomorphic Processing Workstations Animation/Digital Map	Spectrum Analysis Function Generation Pattern Matching Seismic Processing Transient Analysis Digital Filtering Phase-Locked Loops
VOICE/SPEECH	CONTROL	MILITARY
Voice Mail Speech Vocoding Speech Recognition Speaker Verification Speech Enhancement Speech Synthesis Text-to-Speech	Disk Control Servo Control Robot Control Laser Printer Control Engine Control Motor Control	Secure Communications Radar Processing Sonar Processing Image Processing Navigation Missile Guidance Radio Frequency Modems
TELECOMMUNICATIONS		AUTOMOTIVE
Echo Cancellation ADPCM Transcoders Digital PBXs Line Repeaters Channel Multiplexing 1200 to 19200-bps Modems Adaptive Equalizers DTMF Encoding/Decoding Data Encryption	FAX Cellular Telephones Speaker Phones Digital Speech Interpolation (DSI) X.25 Packet Switching Video Conferencing Spread Spectrum Communications	Engine Control Vibration Analysis Antiskid Brakes Adaptive Ride Control Global Positioning Navigation Voice Commands Digital Radio Cellular Telephones
CONSUMER	INDUSTRIAL	MEDICAL
Radar Detectors Power Tools Digital Audio TV Music Synthesizer Educational Toys	Robotics Numeric Control Security Access Power Line Monitors	Hearing Aids Patient Monitoring Ultrasound Equipment Diagnostic Tools Prosthetics Fetal Monitors

ตารางที่ 1.1 แสดงการประยุกต์ใช้งานไอซีเบอร์ TMS32010

ในปฏิญานิพนธ์นี้ เราจะใช้ TMS 32010 มาสร้างเป็นระบบ DSP ซึ่งเราจะกำหนดคุณสมบัติขั้นต้นดังนี้

- สามารถนำไปประยุกต์ใช้งานได้ในย่าน ความถี่เสียง (0-20KHz)
- สามารถเปลี่ยนแปลงแก้ไขอัลกอริทึมในการประมวลได้โดยง่าย
- ค่าอัตราการสุ่มข้อมูลสามารถเปลี่ยนแปลงได้โดยง่าย
- จำนวนช่องสัญญาณอินพุต, เอาท์พุต สามารถเพิ่มเติมได้

ทั้งนี้ก็เพื่อความยืดหยุ่นของระบบที่จะนำไปใช้งานได้หลายๆแบบ และจะได้นำไปใช้เป็นชุดทดลองและพัฒนาทาง DSP ต่อไป

จากนั้นก็จะเป็นการนำเอาชุดทดลองและพัฒนาทาง DSP ที่ได้สร้างขึ้นนี้ไปทดลองใช้สังเคราะห์รูปคลื่นสัญญาณในแบบต่างๆและใช้เป็น วงจรกรองความถี่ในแบบต่างๆกัน



เอกสารนี้เป็นเอกสารที่สงวนไว้สำหรับการใช้งานเพื่อการศึกษาเท่านั้น ไม่อนุญาตให้นำไปใช้ประโยชน์ด้านการค้าไม่ว่ากรณีใดๆ ทั้งสิ้น อีกทั้งห้ามมิให้ตัดแปลงเนื้อหาและต้องอ้างอิงถึงเจ้าของเอกสารทุกครั้งที่มีการนำไปใช้

บทที่ 2 หลักการและทฤษฎี

2.1 สถาปัตยกรรมของ TMS32010

TMS32010 ถูกออกแบบโดยใช้สถาปัตยกรรมแบบฮาร์ดแวร์ค เป็นดิจิทัลซิกแนลโปรเซสซิ่งที่มีความสามารถทำงานในฟังก์ชันทางฮาร์ดแวร์ได้ และมีข้อดีหลายอย่าง เช่น มีความเร็วในการคูณเลข 16 บิต 2 ชุดได้ภายในเวลาเพียง 200 นาโนเซค มีบัสเรลชีพเตอร์ 0-16 บิต และฮาร์ดแวร์ที่สำคัญคือ ออกซิลลารีรีจิสเตอร์ (Auxillary Register) สำหรับการเข้าหาหน่วยความจำข้อมูลแบบทางอ้อม สำหรับรายละเอียดต่างๆที่อธิบายในบทนี้มีดังนี้

- 2.1.1 คุณสมบัติ
- 2.1.2 สัญลักษณ์ และรายละเอียดของสัญลักษณ์
- 2.1.3 สถาปัตยกรรม
- 2.1.4 ฟังก์ชันบล็อกไดอะแกรม (Function Block Diagram)
- 2.1.5 การจัดหน่วยความจำ
- 2.1.6 หน่วยประมวลผลทางคณิตศาสตร์
- 2.1.7 การควบคุมระบบ
- 2.1.8 ฟังก์ชันอินพุตและเอาต์พุต
- 2.1.9 การขออินเทอร์รัพ (inturrupt)

2.1.1 คุณสมบัติ

ไอซี TMS32010 มีคุณสมบัติดังต่อไปนี้

- วงจรการทำงานต่อ 1 คำสั่ง จะใช้เวลาดังนี้:

160 ns สำหรับ TMS32010-25/C10-25/C15-25/C17-25

200 ns สำหรับ TMS32010/C10/11/C11/C15/E15/C17/E17

280 ns สำหรับ TMS32010-14

- มีหน่วยความจำแบบแรม (RAM) ภายในไอซีขนาด 144/256 เวิร์ด

(Words)

- มีหน่วยความจำแบบรอม (ROM) ภายในไอซีขนาด 1.5/4 กิโลเวิร์ด

- สามารถต่อหน่วยความจำภายนอกเพิ่มเติมได้ถึง 4 กิโลเวิร์ด

- มีบัสข้อมูลแบบสองทาง ขนาด 16 บิต และมีความเร็วในการรับ-ส่ง

ข้อมูล 50 เมกะ ไบต์ต่อวินาที (Megabyte per second:Mbps)

- มีหน่วยประมวลผลทางคณิตศาสตร์ (Arithmetic Logic Unit:ALU)

และรีจิสเตอร์แอมคิวมูลเตอร์ (Accumulator Register) ขนาด 32 บิต

- สามารถทำคำสั่งในการคูณเลขขนาด 16 บิต 2 ชุด ภายใน 1 วงจร

การทำงาน และได้ผลลัพธ์เป็นเลขขนาด 32 บิต

- มีตัวเลื่อน (Shifter) ขนาด 0-16 บิต

- มีตัวกำเนิดสัญญาณนาฬิกา (Clock) ภายในตัวเอง

- มีพอร์ต (Port) สำหรับติดต่ออุปกรณ์ภายนอกได้ 8 พอร์ต

- มีไมโครโปรเซสเซอร์ร่วม สำหรับ TMS320C17/E17

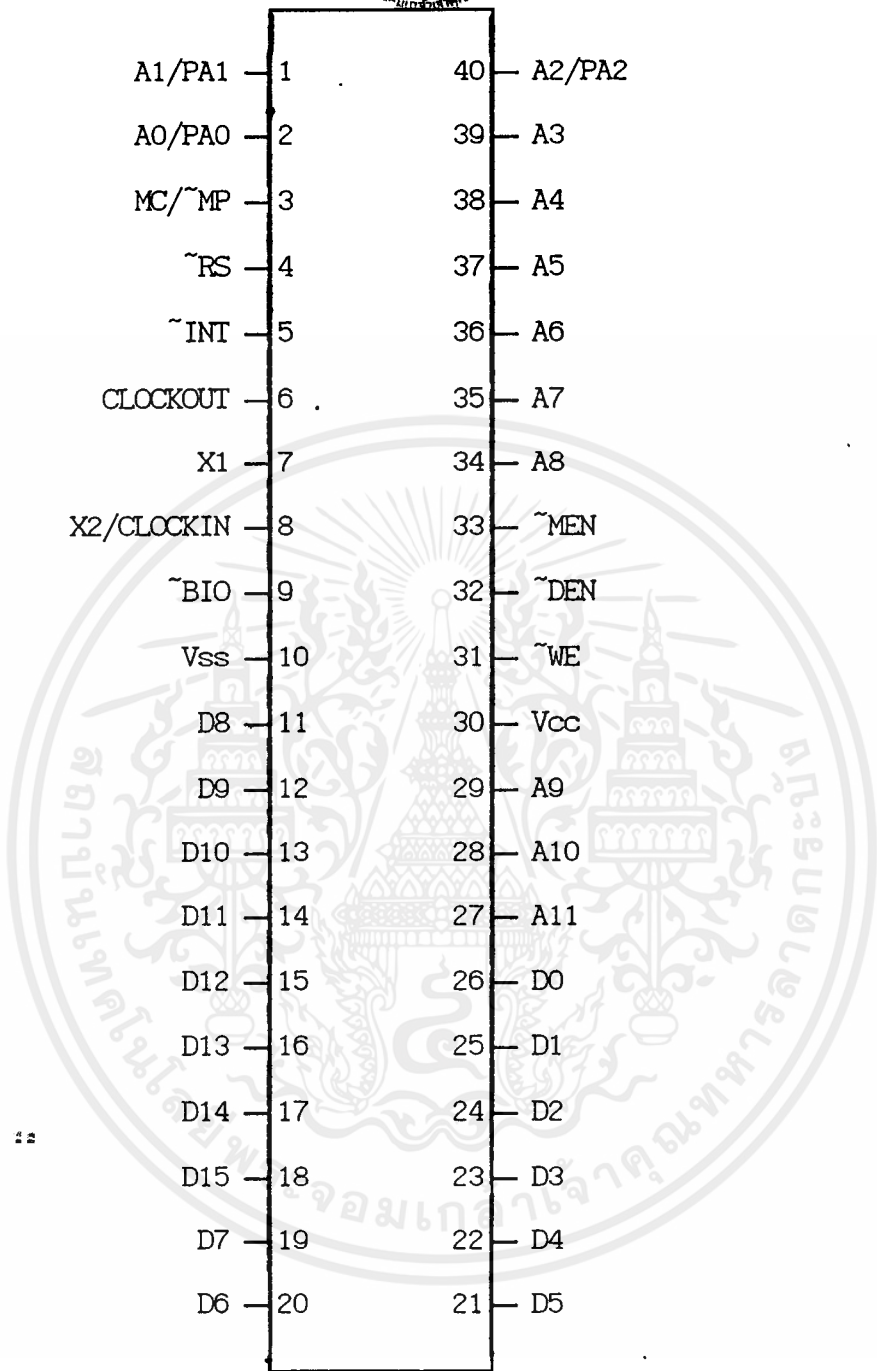
- ใช้ไฟเลี้ยงไอซีขนาด 5 โวลต์

- เป็นไอซีขนาด 40 ขา

- ผลิตโดยเทคโนโลยีแบบ NMOS สำหรับ TMS32010/11 และแบบ CMOS

สำหรับ TMS320C10/C15/E15/C17/E17

2.1.2 สัญญาณขา และรายละเอียดไอซีเบอร์ TMS32010



รูปที่ 2.1 แสดงขาของ ไอซีเบอร์ TMS32010

สำหรับรายละเอียดของสัญญาณของ TMS32010 เป็นดังตารางที่ 2.1

สัญญาณ	สถานะ	รายละเอียด
A11 MSB A10 A9 A8 A7 A6 A5 A4 A3 A2/PA2 A1/PA1 A0/PA0	0	เป็นแอดเดรสบัสขนาด 12 บิต จาก A11(บิตสูง)ถึง A0(บิตต่ำ) และเป็นพอร์ทแอดเดรสขนาด 3 บิต จากบิต PA2 ถึง PA0 ปกติบัสแอดเดรสจะทำงานอยู่เสมอ ยกเว้นขณะกำลังทำงานในคำสั่ง IN และ OUT บิต A2 ถึง A0 จะถูกใช้เป็นพอร์ทแอดเดรส
D15 MSB D14 D13 D12 D11 D10 D9 D8 D7	I/O/Z	เป็นบัสข้อมูลแบบขนาน ขนาด 16 บิต บัสข้อมูลจะอยู่ในสถานะไฮอิมพีแดนซ์เสมอ ยกเว้นในช่วง WE $\bar{}$ ทำงาน(ที่ลอจิก(logic) "0")

D6 D5 D4 D3 D2 D1 D0 LSB		
\sim BIO	I	เป็นอินพุตที่ถูกควบคุมโดยคำสั่ง BIOZ ถ้ามีลอจิก"0" จะใช้อุปกรณ์ที่แอดเดรสระบุ
\sim DEN	O	เป็นตัวกำหนดการรับข้อมูลจากอุปกรณ์อินพุต เมื่อมีลอจิก"0" จะทำการรับข้อมูลจากบัสข้อมูล และจะมีลอจิก"0" เฉพาะในช่วงวัฏจักรแรกของคำสั่ง IN เท่านั้น อนึ่งขณะที่ \sim DEN มีลอจิก"0" นั้น \sim WE และ \sim MEN จะไม่ทำงาน (มีลอจิก"1")
\sim INT	I	เป็นสัญญาณอินเทอร์รัพ (inturrupt signal) ทำงานที่ขอบขาลง (negative-going edge)
MC/ \sim MP	I	เป็นขาที่ใช้เลือกโหมดของหน่วยความจำ ที่ลอจิก"1" จะใช้เป็นโหมดไมโครคอมพิวเตอร์ (microcomputer) ซึ่งจะใช้หน่วยความจำภายใน 1.5 กิโลเวิร์ด และต่อหน่วยความจำภายนอกได้ 2.5 กิโลเวิร์ด ส่วนโหมดไมโครโปรเซสเซอร์(ลอจิก"0") จะใช้เพียงหน่วยความจำภายนอกขนาด 4 กิโลเวิร์ด มีแอดเดรสตั้งแต่ 0 ถึง 4095

\sim MEN	O	เป็นสัญญาณขอใช้หน่วยความจำ จะทำงาน(ลอจิก"0")ในทุกรอบของแมชชีนไซเคิล (machine cycle) ยกเว้นเมื่อ \sim WE และ \sim DEN ทำงาน สัญญาณนี้จะถูกรวบรวมโดยคำสั่งเฟต (fetch) จากโปรแกรมในหน่วยความจำ
\sim RS	I	เป็นสัญญาณรีเซ็ต (reset) ทำงานเมื่อลอจิก"0"มีค่าค้างอยู่ 5 สัญญาณนาฬิกา เมื่อทำงานแล้วจะมีผลทำให้ \sim DEN, \sim WE, \sim MEN ถูกบังคับให้มีลอจิก"1" บัสข้อมูลเป็นไฮอิมพีแดนซ์ แอดเคเรสบัส และ โปรแกรมเคาเตอร์ (program counter) ถูกเคลียร์
\sim WE	O	เป็นสัญญาณการเขียนข้อมูลเอาต์พุต ซึ่งจะทำงานที่ลอจิก"0" ข้อมูลจะถูกส่งจากอุปกรณ์เอาต์พุต มายังบัสข้อมูล สัญญาณนี้จะทำงานเฉพาะในคำสั่ง OUT และ ในคำสั่ง TBLW
CLKOUT	O	สัญญาณนาฬิกาเอาต์พุตของระบบ ซึ่งมีความถี่เท่ากับ 1 ใน 4 ของความถี่ CLKIN
Vcc	I	ไฟเลี้ยง 5 โวลต์
Vss	I	กราวด์
X1	O	ขาคิสตอล(Crystal) เอาต์พุตสำหรับตัวกำเนิดความถี่ภายใน
X2/CLKIN	I	เป็นขาอินพุตให้แก่ตัวกำเนิดความถี่ทั้งภายในและภายนอก

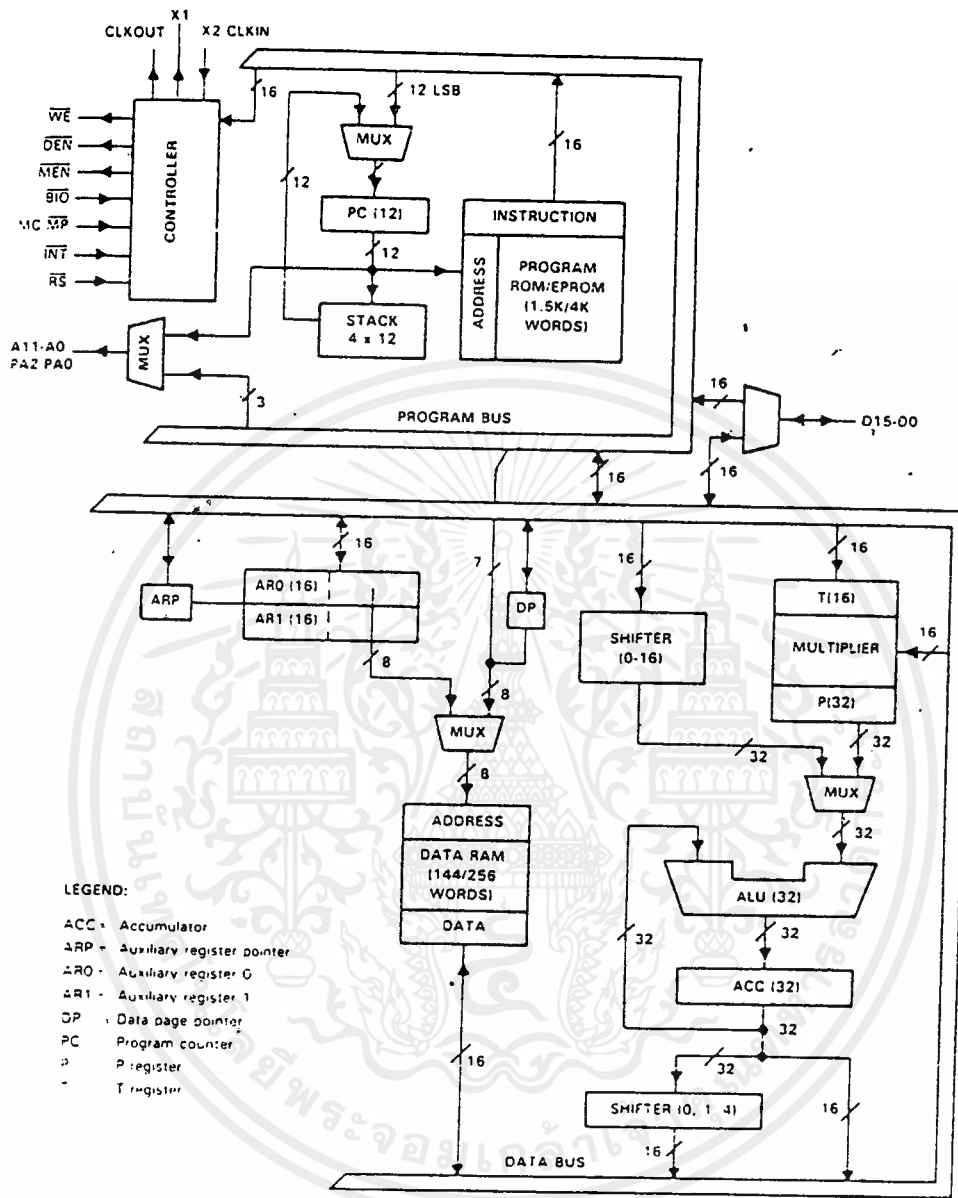
(I: อินพุต, O: เอาต์พุต, Z: ไฮอิมพีแดนซ์(High-impedance))

2.1.3 สถาปัตยกรรม

ดังที่กล่าวไว้แล้วว่า TMS32010 ออกแบบโดยใช้เทคโนโลยีของฮาร์วาร์ด เพราะต้องการความเร็ว และวงจรมีความซับซ้อน เทคโนโลยีแบบนี้ หน่วยความจำที่เก็บโปรแกรมและหน่วยความจำที่เก็บข้อมูลจะแยกกันอยู่คนละที่ จึงสามารถใช้คำสั่งเฟต และคำสั่งเอกซิคิวพร้อมกันได้ รวมทั้งยังสามารถรับส่งระหว่างโปรแกรมและข้อมูลได้ สามารถใช้โปรแกรมที่ถูเก็บอยู่ในหน่วยความจำแบบแรมได้ ซึ่งจะเป็นความสะดวกมากขึ้น เนื่องจากไม่ต้องใช้หน่วยความจำแบบรอม TMS32010 ประกอบด้วยหน่วยประมวลผลทางคณิตศาสตร์และแอสคีมูเลเตอร์ขนาด 32 บิต เพื่อใช้ในการคำนวณที่ต้องการความแม่นยำแบบ ดับเบิลเพรซิชั่น (double-precision), ทุ-คอมพลีเมนต์ อะริทเมติก (two's complement arithmetic) หน่วยประมวลผลทางคณิตศาสตร์จะประมวลผลข้อมูลขนาด 16 บิต และสามารถทำงานแบบบูลีน (Boolean) ส่วนแอสคีมูเลเตอร์จะมีขนาด 32 บิต ทำหน้าที่เก็บข้อมูลจากหน่วยประมวลผลทางคณิตศาสตร์ และยังสามารถส่งข้อมูลกลับไปให้หน่วยประมวลผลทางคณิตศาสตร์ แอสคีมูเลเตอร์นี้ถูกแบ่งเป็นสองเวิร์ด คือ เวิร์ดสูง (บิต 31 ถึง บิต 16) และ เวิร์ดต่ำ (บิต 15 ถึง บิต 0) มัลติพลายเออร์(multiplier) จะใช้สำหรับการคูณเลข 16 บิต และได้ผลลัพธ์ออกมาเป็นเลขขนาด 32 บิต ภายใน 1 ไซเคิลการทำงาน มัลติพลายเออร์จะประกอบด้วย 3 ส่วน ได้แก่ รีจิสเตอร์ T, รีจิสเตอร์ P และ มัลติพลายเออร์อะเรย์ (multiplier array) บาร์เรลชิฟเตอร์ จะทำการชิฟไปทางซ้าย 0 ถึง 16 บิต สำหรับเวิร์ดข้อมูลที่อยู่ในเมมโมรีและเข้าไปเก็บไว้ใน ALU ส่วนในแอสคีมูเลเตอร์สามารถชิฟไปทางซ้ายได้ 0, 1, 4 บิต และเก็บผลไว้ในแอสคีมูเลเตอร์เวิร์ดสูง นอกจากนี้ยังมีสแตค (stack) 4 ระดับ สำหรับเก็บค่าโปรแกรมเคาเตอร์ ระหว่างการขออินเทอร์รัพ และการเรียกใช้ซบรูทีน (sub routine)

2.1.4 ฟังก์ชันบล็อกไดอะแกรม

ฟังก์ชันบล็อกไดอะแกรมที่แสดงในบทนี้จะแสดงถึงการทำงานของ TMS32010 ทางเดินต่างๆใน IMS และ ขาสัญญาณสำหรับอินเทอร์เฟสกับอุปกรณ์ภายนอก



รูป 2.2 แสดงฟังก์ชันบล็อกโคแอมของ TMS32010

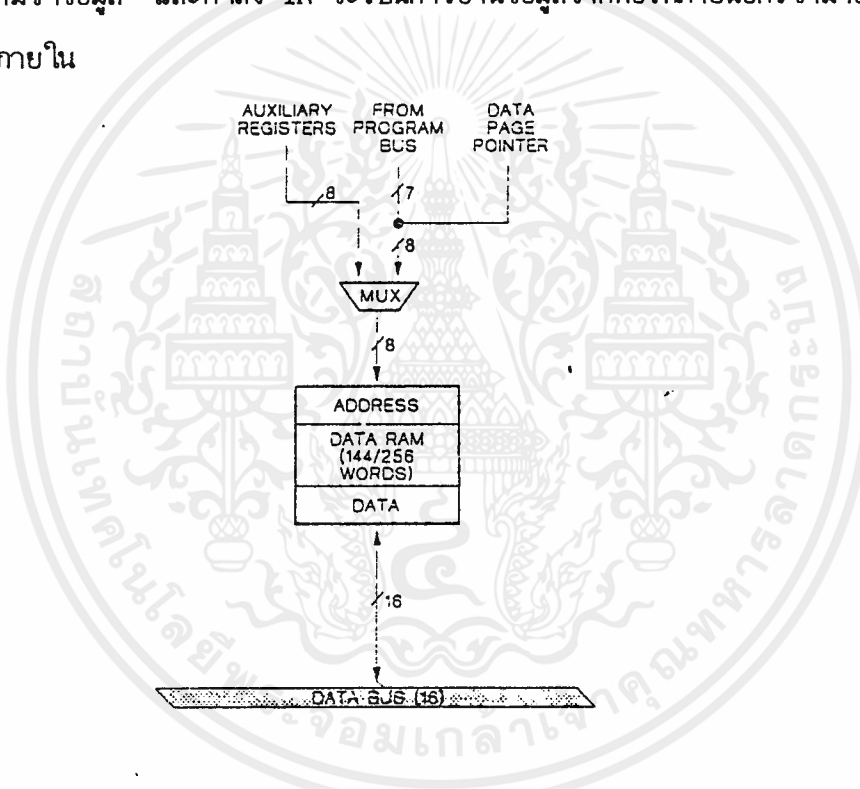
เอกสารนี้เป็นเอกสารที่สงวนไว้สำหรับการใช้งานเพื่อการศึกษาเท่านั้น ไม่อนุญาตให้นำไปใช้ประโยชน์ด้านการค้า
ไม่ว่ากรณีใดๆ ทั้งสิ้น อีกทั้งห้ามมิให้ดัดแปลงเนื้อหาและต้องอ้างอิงถึงเจ้าของเอกสารทุกครั้งที่มีการนำไปใช้

2.1.5 การจัดหน่วยความจำ

ในหัวข้อนี้ จะให้รายละเอียดเกี่ยวกับ หน่วยความจำโปรแกรม หน่วยความจำข้อมูล การจัดผังของหน่วยความจำ ออกซิลลาเรียรีจิสเตอร์ และ ไทมดการอ้างหน่วยความจำ

หน่วยความจำข้อมูล

หน่วยความจำข้อมูลประกอบด้วย 144/256 เวิร์ด 16 บิทบนออนชิพแรม (on-chip RAM) ดังรูป 2.3 ในกรณีที่ใช้หน่วยความจำข้อมูลแบบขยาย ข้อมูลจะถูกดำเนินการบน ออฟชิพแรม (off-chip RAM) และจะถูกอ่านเข้าไปในออนชิพแรมเมื่อต้องการ คำสั่งที่ใช้คือ TBLR/TBLW และ IN/OUT ตัวอย่างเช่น คำสั่ง TBLW จะเป็นการส่งข้อมูลจากหน่วยความจำภายนอก เข้ามายังหน่วยความจำข้อมูล และคำสั่ง IN จะเป็นการอ่านข้อมูลจากพอร์ทภายนอกเข้ามายังหน่วยความจำข้อมูลภายใน



รูป 2.3 แสดงหน่วยความจำข้อมูลแบบออนชิพ

หน่วยความจำโปรแกรม

เป็นหน่วยความจำที่ใช้เก็บชุดของคำสั่ง โดยสำหรับใน IMS32010 จะมีหน่วยความจำภายใน หรือที่เรียกว่า "มาสค์รอม" (Mask ROM) มีขนาด 1.5 กิโลเวิร์ด

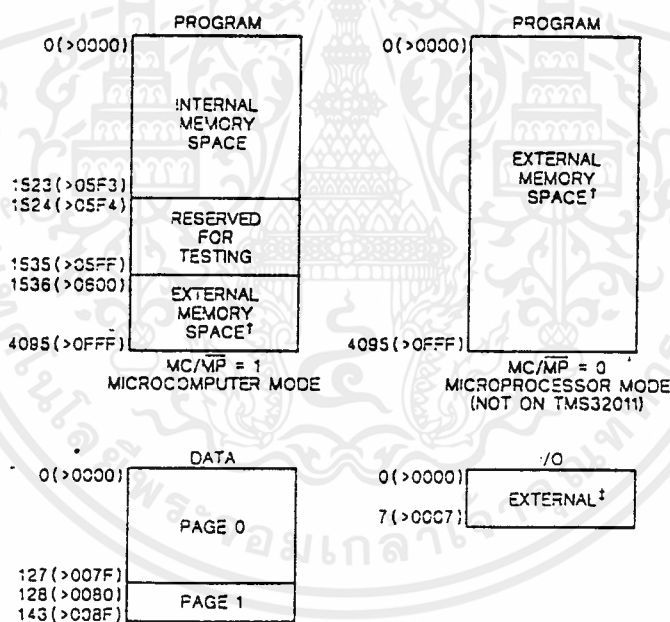
ในการใช้งานหน่วยความจำโปรแกรม เราสามารถเลือกได้ 2 โหมด คือ โหมดไมโคร-คอมพิวเตอร์ และ โหมดไมโครโปรเซสเซอร์ โดยในการออกแบบวงจรเราสามารถเลือกได้จาก บิต MC/MP

- โหมดไมโครคอมพิวเตอร์ : จะใช้หน่วยความจำรวมภายใน โดยเริ่มจาก แอดเดรสที่ 0 ถึง 1523 แต่แอดเดรสที่ 1524 ถึง แอดเดรสที่ 1535 จะสงวนไว้โดยทางบริษัท และจาก แอดเดรสที่ 1536 ถึงแอดเดรสที่ 4095 จะเป็นหน่วยความจำที่เราต้องต่อเพิ่มไว้ภายนอก เป็นขนาด 2.5 กิโลเวิร์ด

- โหมดไมโครโปรเซสเซอร์ : จะใช้หน่วยความจำภายนอกทั้งหมด 4 กิโลเวิร์ด ตั้งแต่แอดเดรสที่ 0 จนถึง แอดเดรสที่ 4095

การจัดหน่วยความจำ

TMS32010 ได้ทำการแบ่งส่วนแอดเดรสไว้ 3 ส่วน สำหรับเก็บหน่วยความจำโปรแกรม หน่วยความจำข้อมูล และอินพุท/เอาต์พุท ดังแสดงในรูป 2.4 ซึ่งแสดงการจัดเก็บทั้ง 2 โหมด



รูปที่ 2.4 แสดงลักษณะการจัดหน่วยความจำภายใน TMS32010

ออกซิลารี่รีจิสเตอร์

ใน TMS32010 จะมีรีจิสเตอร์ประเภทหนึ่งที่เรียกว่ารีจิสเตอร์ออกซิลลารี หรือ AR. ซึ่ง

เอกสารนี้เป็นเอกสารที่สงวนไว้สำหรับการใช้งานเพื่อการศึกษาเท่านั้น ไม่นอนุญาตให้นำไปใช้ประโยชน์ด้านการค้า ไม่ว่าจะกรณีใดๆ ทั้งสิ้น อีกทั้งห้ามมิให้ดัดแปลงเนื้อหาและต้องอ้างอิงถึงเจ้าของเอกสารทุกครั้งที่มีการนำไปใช้

แบ่งออกเป็น 2 ตัว คือ ARO และ AR1 รีจิสเตอร์ AR มักจะใช้ในการอ้างหน่วยความจำแบบทางอ้อม (Indirect Addressing Mode) สำหรับคำสั่งที่เกี่ยวกับการอ้างหน่วยความจำแบบทางอ้อมนั้น จะต้องใส่โอเปอเรนด์ (operand) ซึ่งเป็นตำแหน่งของหน่วยความจำของข้อมูลที่ 8 บิตท้ายของ AR ด้วย

เนื่องจากรีจิสเตอร์ AR มีอยู่ 2 ตัว ดังนั้นเราสามารถเลือกใช้ได้โดย ออกซิลลารีรีจิสเตอร์พอยน์เตอร์ (Auxillary Register Pointer:ARP) ซึ่งจะเป็นบิตหนึ่งภายในรีจิสเตอร์บอกสถานะ (Status Register)

โหมดการอ้างหน่วยความจำ

วิธีการอ้างหน่วยความจำของ IMS 32010 สามารถแบ่งออกได้เป็น 3 แบบคือ

1) การอ้างหน่วยความจำโดยตรง (Direct Addressing Mode)

สำหรับการอ้างแอดเดรสของหน่วยความจำโดยตรงนั้น ในคำสั่งจะประกอบไปด้วยแอดเดรสของหน่วยความจำข้อมูล (Data memory Address : dma) ที่ 7 บิตท้ายของตัวคำสั่ง และบิตที่ 7 จะเป็นค่าพอยน์เตอร์ที่ชี้บอกหน้าของหน่วยความจำข้อมูล (Data Memory Page Point : DP) ซึ่งจะเป็นตัวเลือกหน้า ของหน่วยความจำข้อมูล

การอ้างแอดเดรสของหน่วยความจำโดยตรงสามารถใช้ได้สำหรับทุกคำสั่ง ยกเว้นคำสั่งต่อไปนี้

- CALL
- BANZ
- คำสั่งที่ให้ค่าโอเปอเรนด์โดยทันที (Immediate Operand)
- คำสั่งที่ไม่มีโอเปอเรนด์

2) การอ้างแอดเดรสของหน่วยความจำโดยทางอ้อม (Indirect Addressing Mode)

จะเป็นการอ้างถึงตำแหน่งของหน่วยความจำข้อมูลที่ 7 บิตล่างของคำสั่ง และที่บิตที่ 7 จะเป็นค่าของ ARP การอ้างแอดเดรสของหน่วยความจำโดยทางอ้อมจะ ไม่มีการเลือกหน้าของหน่วยความจำข้อมูล ARP ก็จะเป็นตัวเลือกว่าเป็น ARO หรือ AR1 AR สามารถเพิ่มหรือลดลง ได้โดยอัตโนมัติ เมื่อเราได้มีการใช้คำสั่งที่ใช้อ้างแอดเดรสของหน่วยความจำโดยทางอ้อม

สำหรับการใช้คำสั่งประเภทอ้างแอดเดรสของหน่วยความจำโดยทางอ้อม จะมี AR อยู่ในคำสั่งเป็นจำนวน 9 บิต ซึ่งสามารถถูกโหลดได้ โดย คำสั่ง LAR, LARK และสามารถ

เปลี่ยนค่า ได้โดยคำสั่ง MAR

การอ้างแอดเดรสของหน่วยความจำโดยทางอ้อม จะใช้สัญลักษณ์ดังต่อไปนี้ สำหรับการเขียนภาษาแอสเซมบลีของ TMS32010

- "*" : จะใช้ค่าของ AR สำหรับชี้ค่าในหน่วยความจำข้อมูล
- "*-" : จะใช้ค่าของ AR สำหรับชี้ค่าในหน่วยความจำข้อมูล และจะลดค่าของ AR ลงไป 1 หลังจากทำคำสั่งเสร็จ
- "*+" : จะใช้ค่าของ AR สำหรับชี้ค่าในหน่วยความจำข้อมูล และจะเพิ่มค่าของ AR ขึ้นไป 1 หลังจากทำคำสั่งเสร็จ

3) การอ้างแอดเดรสของหน่วยความจำโดยทันที (Immediate Addressing Mode)

ในชุดคำสั่งของ TMS32010 จะมีอยู่ 5 คำสั่ง ที่ใช้ในการแอดเดรสของหน่วยความจำโดยทันที ซึ่งคำสั่งเหล่านี้จะทำงานได้ภายใน 1 วัฏจักรคำสั่ง โดยคำสั่งเหล่านี้ได้แก่

LARK

LACK

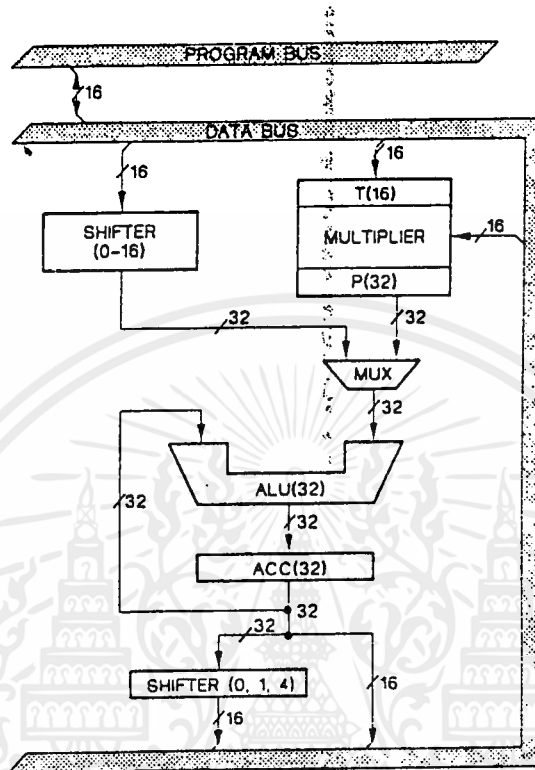
LARP

LDPK

MPYK

2.1.6 หน่วยประมวลผลทางคณิตศาสตร์กลาง

หน่วยประมวลผลทางคณิตศาสตร์กลาง ประกอบด้วยหน่วยการคูณเลข 16 บิตแบบขนาน หน่วยประมวลผลทางคณิตศาสตร์ แอคคิวมูเลเตอร์ขนาด 32 บิต และตัวเลื่อนข้อมูล 2 ชุด ซึ่งบล็อกไดอะแกรมแสดง ในรูปที่ 2.5



รูปที่ 2.5 แสดง บล็อกไดอะแกรม ของหน่วยประมวลผลทางคณิตศาสตร์กลาง (CALU)

2.1.7 การควบคุมระบบ

การควบคุมระบบของ TMS32010 ทำโดยใช้ โปรแกรมเคาท์เตอร์ สแตก สัญญาณรีเซ็ตจากภายนอก สัญญาณอินเทอร์รัพ และ สเตตัสรีจิสเตอร์

- โปรแกรมเคาท์เตอร์และ สแตก จะใช้งานในคำสั่งที่เกี่ยวข้องกับการเรียกโปรแกรมย่อย การอินเทอร์รัพ และคำสั่งอ่าน/เขียนตาราง โปรแกรมเคาท์เตอร์ซึ่งมี 12 บิต จะทำการเก็บค่าแอดเดรสของหน่วยความจำโปรแกรมที่กำลังทำงานอยู่ TMS32010 จะทำการอ่านหน่วยความจำโปรแกรมในแอดเดรสที่โปรแกรมเคาเตอร์ระบุ และทำการเพิ่มค่าโปรแกรมเคาท์เตอร์ไปหนึ่ง สำหรับการเพทคำสั่งต่อไป โปรแกรมเคาท์เตอร์จะมีค่าเป็นศูนย์ เมื่อ

สัญญาณรีเซ็ตทำงาน

- สัญญาณรีเซ็ต เป็นการอินเทอร์รัพแบบ นอน-มาสเคเบิล (non-maskable) เพื่อเป็นการให้ค่าเริ่มต้นแก่ TMS32010 การรีเซ็ต TMS32010 จะเกิดผลตามมาดังนี้

- สัญญาณ ~DEN, ~WE และ ~MEN จะมีค่าเป็นระดับลอจิก"1"
- บัสข้อมูลจะเป็นไฮอิมพีแดนซ์

แรมเริ่มเคาทเตอร์จะถูกเซทเป็นศูนย์ และแอดเดรสบัส (A11-

AO)จะมีค่าเป็นศูนย์ทั้งหมด หลังจากสัญญาณนาฬิกาถูกลบไปเมื่อสัญญาณรีเซ็ตเป็นระดับลอจิก"0"

- ไม่สามารถขออินเทอร์รัพได้ และอินเทอร์รัพ แพลก รีจิสเตอร์ ถูกเซทเป็นศูนย์

- สเตตัสรีจิสเตอร์ ประกอบด้วยรีจิสเตอร์บอกสถานะ 5 บิต ได้แก่ ออกซิลลาทรีจิสเตอร์ (ARP), พอยเตอร์บอกหน้าหน่วยความจำข้อมูล (DP), อินเทอร์รัพใหม่คบิท (INTM), โอเวอร์โฟลว์แฟลก (OV) และ โอเวอร์โฟลว์ใหม่คบิท (OVM) แสดงดังรูปที่ 2.6

15	14	13	12	11	10	9	8	7	6	5	4	3	2	1	0
OV	OVM	INTM	1	1	1	1	ARP	1	1	1	1	1	1	0	DP

รูปที่ 2.6 แสดงรีจิสเตอร์บอกสถานะของ TMS32010

รีจิสเตอร์บอกสถานะสามารถเก็บเข้า และ โหลด จากหน่วยความจำได้โดยใช้คำสั่ง SST และ LST ตามลำดับ

ARP ใช้สำหรับการอ้างแอดเดรสของหน่วยความจำโดยทางอ้อม สำหรับบิตนี้จะมีผลเมื่อเกิดการอ้างแอดเดรสของหน่วยความจำโดยทางอ้อม และ คำสั่ง LARP, MAR, LST

DP เป็นพอยน์เตอร์ที่ชี้บอกหน้าของหน่วยความจำข้อมูล มักจะใช้ในคำสั่งที่มีการอ้างแอดเดรสของหน่วยความจำข้อมูลโดยตรง โดยจะไปยังบิตที่ 7 ของออปโคดของคำสั่ง ถ้า DP มีค่าเป็น"0" ก็จะหมายถึงหน่วยความจำข้อมูล 128 เวิร์ดแรก หรือเรียกว่าหน้าที่ศูนย์ และ ถ้า DP มีค่าเป็น"1" ก็จะหมายถึงหน่วยความจำข้อมูลตำแหน่งที่ 128 จนถึงตำแหน่งที่ 143 หรือเรียกว่าเป็นหน้าที่หนึ่ง ค่าของ DP จะเปลี่ยนค่าได้โดยคำสั่ง LST, LDP และ LDPK

INTM ถ้าเราทำการอินเวิลอินเทอร์รัพต์โดยทำให้บิตนี้เป็น "0" เมื่อเกิดการอินเทอร์รัพต์ขึ้น ก็จะทำให้บิตนี้เป็น "1" (ก่อนที่จะเข้าไปโปรแกรมตอบสนองการอินเทอร์รัพต์)

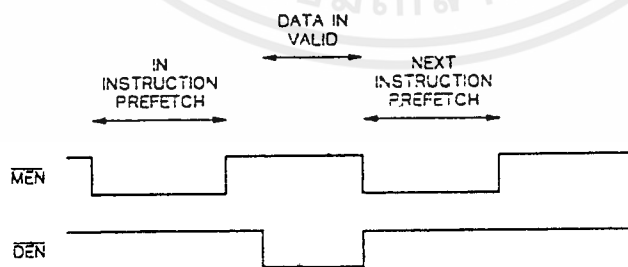
บิตนี้สามารถทำการเซต และรีเซตได้โดยคำสั่ง DINT และ EINT ตามลำดับ ส่วนคำสั่งการรีเซต ที่ขา RS ก็จะมีผลทำให้บิตนี้มีค่าเป็น "1"

OV เป็นบิตบอกสถานะของการเกิดโอเวอร์โฟลว์ ถ้าบิตนี้เป็น "0" จะแสดงว่าแอกคิวมูเลเตอร์ไม่เกิดโอเวอร์โฟลว์ แต่ถ้าบิตนี้เป็น "1" จะแสดงว่าแอกคิวมูเลเตอร์เกิดการโอเวอร์โฟลว์ เราสามารถเคลียร์บิตนี้ได้โดยคำสั่ง BV, LSI หรือการรีเซตที่ขา \sim RS

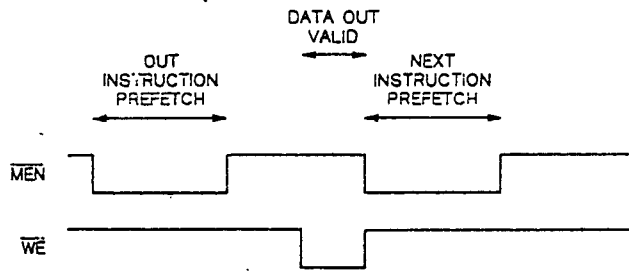
OVM เป็นบิตบอกสถานะของโหมดโอเวอร์โฟลว์ ถ้าบิตนี้เป็น "0" จะเป็นการดิสเอบิลการโอเวอร์โฟลว์ แต่ถ้าบิตนี้เป็น "1" ก็จะเป็นการอินเวิลการโอเวอร์โฟลว์ เราสามารถเซต หรือรีเซตบิตนี้ได้โดยคำสั่ง SOVM และ ROVM ตามลำดับ นอกจากนี้แล้วคำสั่ง LSI ก็มีผลต่อบิตนี้ด้วย

2.1.8 ฟังก์ชันอินพุตและเอาต์พุต

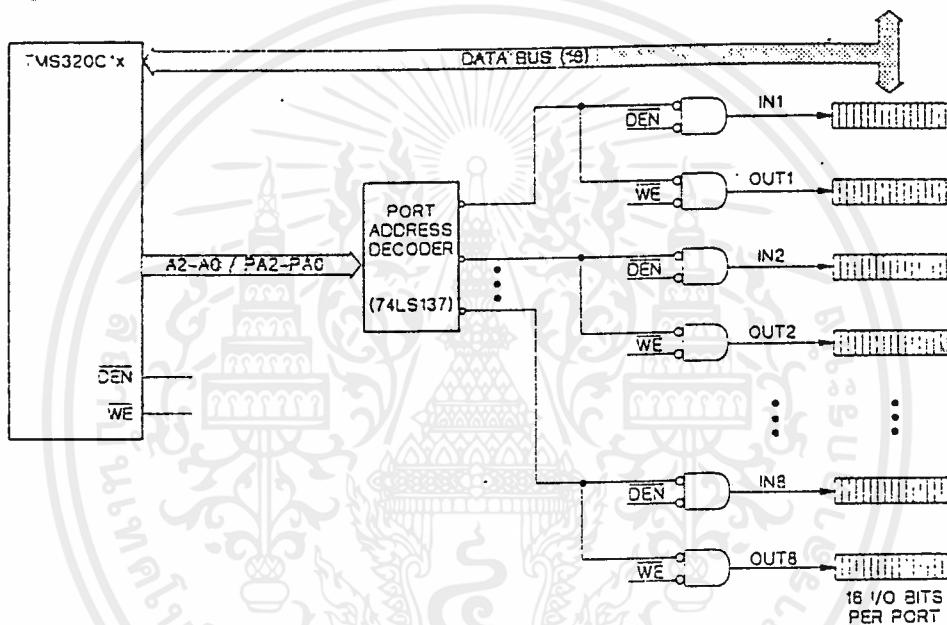
ฟังก์ชันอินพุตและเอาต์พุต ใช้สำหรับติดต่อกับอุปกรณ์ภายนอก ทางบัสข้อมูลขนาด 16 บิต โดยใช้คำสั่ง IN และ OUT พอร์ตอินพุตและเอาต์พุต จะอยู่ที่สามบิตต่ำของแอกเคอเรสส์ (PA2-PA0) ข้อมูลจะถูกรับ-ส่งระหว่างบัสข้อมูลและหน่วยความจำข้อมูล โดยคำสั่ง \sim DEN และ \sim WE บัสข้อมูลสองทิศทางภายนอกจะอยู่ในสภาวะไฮอิมพีแดนซ์เสมอ ยกเว้นเมื่อสัญญาณ \sim WE ทำงาน (ลอจิก "0") หรือระหว่างคำสั่ง IN \sim WE จะทำงานระหว่าง ไชเคิลแรกของคำสั่ง OUT และ ไชเคิลที่สองของคำสั่ง TBLW และเนื่องจากแอกเคอเรสของพอร์ตมี 3 บิต จึงสามารถอ้างพอร์ตได้ทั้งหมด 8 พอร์ต และเพื่อความเข้าใจสำหรับการทำงานของอินพุตและเอาต์พุตจะแสดงดังรูป



รูปที่ 2.7 จะแสดง ไทม์มิง ไดอะแกรม ของคำสั่งอินพุต



รูปที่ 2.8 จะแสดงไทม์มิงโคอะแกรม ของคำสั่งเอาท์พุท



รูปที่ 2.9 แสดงการอินเทอร์เฟส กับอุปกรณ์ภายนอกของ TMS32010

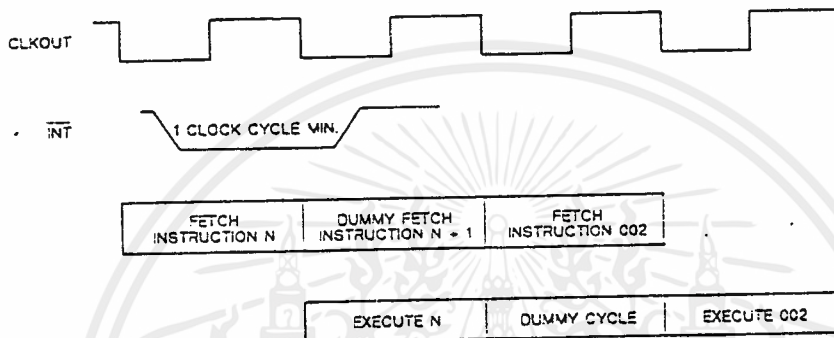
2.1.9 การขออินเทอร์รัพ

สัญญาณอินเทอร์รัพ จะทำงานที่ขอบขาของระดับลอจิก เมื่อสัญญาณอินเทอร์รัพอยู่ในสถานะอีน่าเบิ้ล (enable) หรือยอมให้มีการอินเทอร์รัพได้ (INTM เป็นศูนย์) การอินเทอร์รัพจะขึ้นอยู่กับระดับลอจิกของขา \sim INT แต่ถ้าอยู่ในสถานะคิสเอเบิ้ล (disable) INTM จะมีค่าเป็นลอจิก"1" จะ ไม่ยอมให้มีการอินเทอร์รัพไม่ว่าลอจิกของขา \sim INT จะเป็นค่าใด

ก็ตาม

การอินเทอร์รัพจะถูกละทิ้งในเวลาในกรณีต่อไปนี้

- จนกว่าจะจบคำสั่งสุดท้ายของ ไซเคิล
- จนกว่าคำสั่งที่ต่อจากคำสั่ง MPY หรือ MPYK จะทำงานเสร็จสมบูรณ์
- จนกว่าคำสั่งที่ต่อจากคำสั่ง EINT ทำงาน



รูปที่ 2.10 แสดงไทม์มิง ของการอินเทอร์รัพ

2.2 การอินเทอร์เฟซกับไอบีเอ็มพีซี

การอินเทอร์เฟซกับไอบีเอ็มพีซีเลือกใช้ผ่านทางพอร์ทแบบขนาน เนื่องจากสามารถส่งข้อมูลเป็นชุด ทีละ 8 บิต ได้ด้วยความเร็วสูง โดยผ่านทางปริ้นเตอร์อะแดปเตอร์ (Printer Adapter) หรือ โมโนโครม/ปริ้นเตอร์อะแดปเตอร์ (MonoChrome/Printer Adapter) ซึ่งค่าแอดเดรสของพอร์ทที่จะส่งข้อมูล จะขึ้นอยู่กับชนิดของการคที่มีในเครื่องนั้น ถ้าเป็นปริ้นเตอร์อะแดปเตอร์การ์ด จะต้องส่งเอาท์พุทออกไปยังพอร์ท 378 แต่ถ้าเป็น โมโนโครม/ปริ้นเตอร์อะแดปเตอร์ การ์ด จะต้องใช้พอร์ท 3BC คุณสมบัติโดยทั่วไปของพอร์ทขนานมีดังนี้

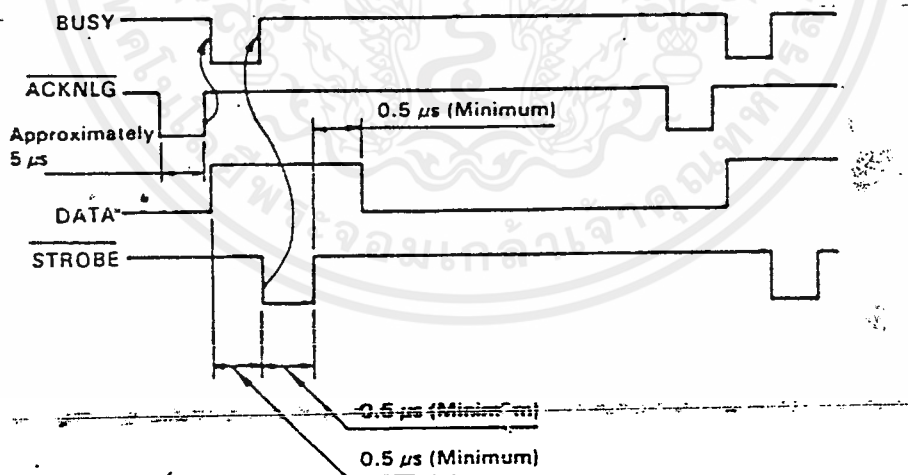
- มีอัตราการส่งข้อมูลจาก ไอบีเอ็ม 1000CPS (อักษรต่อวินาที)ซึ่งจะผ่านทางสายเคเบิล 25 ขา (25 pin D-shell connector)

- ซิงโครไนซ์ (Synchronization) โดยใช้สัญญาณ \sim STROBE

- แชนด์เชคกิง (Handshaking) กับสัญญาณ \sim ACKNLG และ BUSY

- ใช้ระดับลอจิกอินพุตและสัญญาณควบคุม เช่นเดียวกับระดับลอจิกของไอซี TTL

เนื่องจากพอร์ทขนานทำหน้าที่ส่งข้อมูลให้กับเครื่องพิมพ์ ดังนั้น สัญญาณ บางขาที่ใช้ควบคุมเครื่องพิมพ์จึงไม่จำเป็นต้องใช้ จะใช้เพียงสัญญาณที่จำเป็นเพียง 3 สัญญาณ คือสัญญาณ BUSY , \sim STROBE และ \sim ACKNLG ซึ่งจะมีลำดับของการส่งสัญญาณ ดังรูปที่ 2.11



รูปที่ 2.11 แสดง ไทม์มิง โค้ดแอมแกรมของการอินเทอร์เฟซข้อมูลแบบขนาน

จากรูปจะมีเพียง สัญญาณ \sim STROBE และ ข้อมูล 8 บิตที่ส่งมาจากเครื่องไอบีเอ็ม ส่วน
สัญญาณ BUSY และ \sim ACKNLG จะต้องทำการสร้างขึ้นเองและส่งไปให้ไอบีเอ็ม
สำหรับการทำงานจะเป็นดังนี้

เมื่อมีการส่งข้อมูลผ่านทางพอร์ทขนาน สัญญาณ BUSY จะถูกตรวจสอบ ถ้ามีค่า
เป็น "1" แสดงว่าอุปกรณ์ภายนอกไม่พร้อมที่จะรับข้อมูล สัญญาณ BUSY ก็จะถูกตรวจสอบใหม่
จนกว่าจะเปลี่ยนค่าเป็น "0" ซึ่งแสดงว่าอุปกรณ์ภายนอกพร้อมที่จะรับข้อมูลแล้ว สัญญาณ \sim STROBE
ซึ่งปกติจะเป็น "1" จะถูกเปลี่ยนค่าเป็น "0" และสัญญาณ BUSY จะต้องถูกทำให้เป็น "1" เพื่อ
ให้ข้อมูลถูกจัดเก็บก่อน และไม่ให้อุปกรณ์ใหม่เข้ามา และสัญญาณ \sim STROBE จะถูกหน่วงเวลาไว้อีก
อย่างน้อย 0.5 ไมโครเซคก่อนจะเปลี่ยนเป็น "1" ตามเดิม เพื่อให้อุปกรณ์ภายนอกนำสัญญาณนี้
ไปทริก และทำการเก็บข้อมูลไว้ เมื่อข้อมูลถูกเก็บเสร็จแล้ว สัญญาณ \sim ACKNLG จะมีค่าเป็น "0"
ประมาณ 5 ไมโครเซค ก่อนที่จะทำให้สัญญาณ BUSY เป็น "0" ใหม่ เป็นการเสร็จการส่ง
ข้อมูล 8 บิต แบบขนาน 1 ชุด ถ้ายังมีข้อมูลที่จะส่งไปยังอุปกรณ์ภายนอกอีก การทำงานดังกล่าว
ก็จะเริ่มอีก

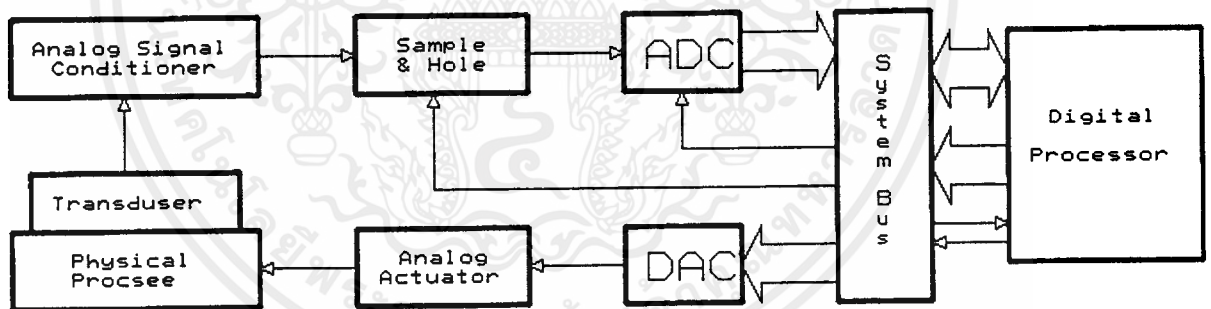
2.3 หน้าที่ของการแปลงสัญญาณ (Data Acquisition and Conversion)

รูปแบบของสัญญาณทางไฟฟ้า ที่เรากันเคยกันแต่เดิมนั้น โดยมากมักจะอยู่ในรูปของสัญญาณอนาล็อก แต่ก่อนนั้นการที่จะนำเอาสัญญาณทางไฟฟ้า มาประมวลผล เพื่อให้เกิดรูปแบบที่ต้องการ นั้นจะกระทำได้โดยใช้อุปกรณ์ทางอนาล็อกนั่นเอง

แต่ปัจจุบันนี้เทคโนโลยีทางด้านดิจิทัล ได้ก้าวหน้า ไปมากทำให้การประมวลผลสัญญาณทางดิจิทัลสามารถทำได้อย่างรวดเร็ว มีประสิทธิภาพและความเชื่อถือได้ ดีกว่าอดีตมากมายนัก

ดังนั้นการเปลี่ยนรูปแบบของสัญญาณ (Conversion) จึงได้มีความจำเป็นขึ้น จากสัญญาณอนาล็อกที่มีอยู่แล้ว ได้ถูกเปลี่ยนให้เป็นสัญญาณทางดิจิทัล โดยอุปกรณ์อนาล็อกทูดิจิตอลคอนเวอร์เตอร์ และจะถูกประมวลผลโดยตัวประมวลผลสัญญาณดิจิทัล เช่น คอมพิวเตอร์ เป็นต้น จากนั้นผลลัพธ์ที่ได้จะถูกนำมาแสดงผลโดยตรงเลย หรืออาจถูกเปลี่ยนกลับให้อยู่ในรูปของสัญญาณอนาล็อกที่ใช้งานได้ การที่จะเปลี่ยนสัญญาณดิจิทัลกลับเป็นสัญญาณอนาล็อกนั้นสามารถทำได้โดยใช้อนาล็อกทูดิจิตอลคอนเวอร์เตอร์

สำหรับระบบที่มีการประมวลผลข้อมูลทางดิจิทัลแสดงดังรูปที่ 2.12



รูปที่ 2.12 แสดงระบบที่มีการประมวลผลข้อมูลทางดิจิทัล

จากรูปข้างต้นสามารถอธิบายได้คือ การเปลี่ยนแปลงทางกายภาพในลักษณะใดๆ ก็ตาม เช่น อุณหภูมิ ความดัน ความเร็ว จะถูกเปลี่ยนให้มาเป็นสัญญาณไฟฟ้าแบบอนาล็อก โดย

ทรานสดิวเซอร์ (Transducer) ที่มีรูปแบบเหมาะสมกับลักษณะทางกายภาพนั้นๆ จากนั้นสัญญาณทางไฟฟ้าก็จะถูกปรับให้อยู่ในรูปแบบ และขนาดที่เหมาะสมก่อน โดยวงจรต่างๆ เช่น วงจรขยาย หรือ วงจรกรองสัญญาณ เป็นต้น

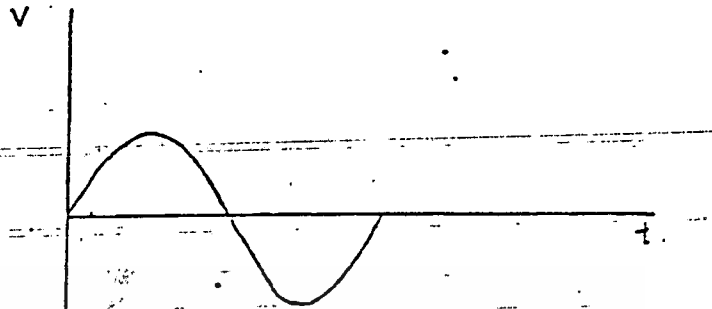
วงจรแอมป์เปิดแอนด์ไฮลด์ จะสุ่มขนาดของสัญญาณอนาลอกออกมา แล้วก็ทำการไฮลด์สัญญาณนั้นไว้ชั่วขณะ เพื่อให้ไม่จำเป็นต้องใช้ ADC ที่มีความเร็วมากนัก เมื่อสัญญาณถูกแปลงเป็นดิจิตอลโดย ADC แล้วข้อมูลดิจิตอลจะถูกส่งต่อไปยังบัสของระบบ จากนั้นตัวโปรเซสเซอร์จะทำการประมวลผลข้อมูล แล้วเปลี่ยนข้อมูลผลลัพธ์กลับมา เพื่อควบคุมกิจกรรมทางกายภาพของระบบ โดยผ่านตัวกระทำทางกล (Analog Actuator)

2.3.1 ทฤษฎีของการสุ่มข้อมูล (Sampling)

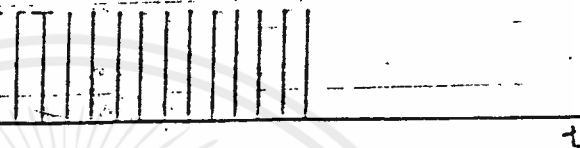
ในการสุ่มข้อมูลนั้นสัญญาณอนาลอกจะถูกสุ่มเป็นระยะๆที่ กลุ่มของสัญญาณที่สุ่ม จะแทนด้วยความสูง ซึ่งเกิดจากการตัดต่อสัญญาณอนาลอกด้วยระยะเวลาอันสั้น ผลของการสุ่มด้วยความเร็ว จะเหมือนกับการคูณขบวนสัญญาณพัลส์ กับสัญญาณอนาลอก ซึ่งจะได้สัญญาณที่มอดูเลต (Modulate) ระหว่างขบวนพัลส์กับสัญญาณอนาลอก ดังแสดงในรูปที่ 2.13 และถ้าหากเรามีการไฮลด์สัญญาณที่สุ่มได้เอาไว้ เราก็จะได้สัญญาณดังรูปที่ 2.13ง

อัตราการสุ่มสัญญาณ หรือความถี่ของการสุ่มสัญญาณควรมีค่าเท่าใด ที่ข้อมูลที่สุ่มได้นี้จะเป็นตัวแทนที่ดีของสัญญาณต่อเนื่องนั้น คำตอบคือขึ้นอยู่กับความถี่ของสัญญาณอนาลอก และจากทฤษฎีของการสุ่ม (Nyquist Theorem) กล่าวไว้ว่า "ถ้าสัญญาณต่อเนื่องที่มีความถี่ฮาร์โมนิก (Harmonic Frequency) ไม่เกิน f แล้ว สัญญาณดังกล่าวจะสามารถเปลี่ยนกลับมาเช่นเดิมโดยไม่สูญเสียรายละเอียด หรือผิดเพี้ยนไป ถ้าอัตราการสุ่มมากกว่า $2f$ "

ก. สัญญาณอินพุต



ข. พัลส์ที่ใช้ซมปลิ่ง



ค. สัญญาณที่ถูกซมปลิ่งแล้ว



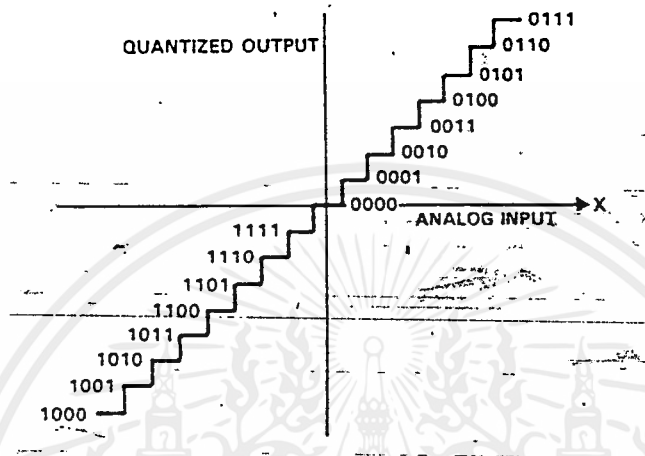
ง. สัญญาณที่ถูกโฮลด์ไว้



รูปที่ 2.13 แสดงการซุ่มสัญญาณ

2.3.2 ทฤษฎีการควันไตซ์ (Quantizing Theorem)

การควันไตซ์ เป็นขบวนการที่แปลงสัญญาณอนาลอก ให้เป็นข้อมูลทางดิจิทัลที่เป็นสัดส่วนกับ สัญญาณอนาลอก เช่นอยู่ในรูปของรหัสไบนารี เป็นต้น หากเรานำเอาผลลัพธ์ที่ได้จากการควันไตซ์ และขนาดของสัญญาณอนาลอก มาเขียนเป็นกราฟ ก็จะได้กราฟควันไตซ์ทรานสเฟอร์ฟังก์ชัน (Quantize Transfer Function) ดังแสดงในรูปที่ 2.14



รูปที่ 2.14 แสดงทรานสเฟอร์ฟังก์ชันของการควันไตซ์ 4 บิต

จุดสำคัญของการควันไตซ์นั้นได้แก่ ีโซลูชัน (Resolution) ของตัวควันไตซ์ ซึ่งจะสามารถกำหนดได้จากจำนวนบิตของ เอาท์พุทรหัสดิจิทัล หรือจากกราฟรูปที่ 2.14 ก็คือส่วนกลับของความกว้างของขั้นบันไดทางแกนอนนั้นเอง

ค่าความกว้างของขั้นบันไดนี้จะสามารถคำนวณได้จาก

$$Q = \text{FSR} / 2^n$$

โดยที่

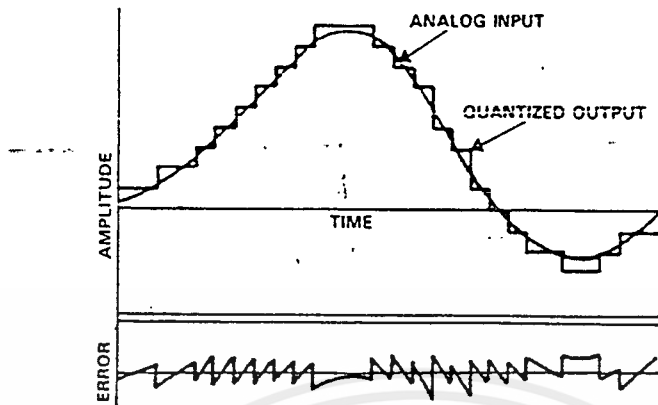
Q : ค่าความกว้างของขั้นบันไดทางแกนอน

FSR : ช่วงเต็มสเกลของสัญญาณอนาลอก (Full Scale Range)

n : จำนวนบิตของรหัสดิจิทัล

จากสมการข้างต้นจะเห็นว่า เมื่อจำนวนบิตมากขึ้น ขนาดของ Q ก็จะลดลง และถ้าเรานำสัญญาณอนาลอกใดๆ มาทำการควันไตซ์ จะเห็นได้ว่า เมื่อนำเอาผลที่ได้จากการควันไตซ์

มาเปรียบเทียบกับสัญญาณอนาลอกนั้นแล้ว ก็พบว่ามีความผิดพลาดเกิดขึ้น ซึ่งเราจะเรียกความผิดพลาดนี้ว่า ความผิดพลาดควันไตซ์ (Quantizing Error) ดังแสดงในรูปที่ 2.15

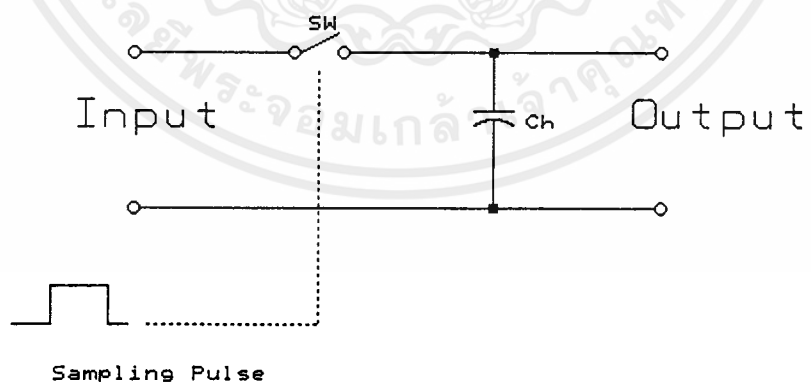


รูปที่ 2.15 แสดงความผิดพลาดควันไตซ์

ความผิดพลาดนี้เป็นธรรมชาติของการควันไตซ์ ซึ่งจะทำให้แก้ไขไม่ได้ แต่เราจะลดค่าความผิดพลาดนี้ได้ก็โดยการเพิ่มจำนวนบิตของการควันไตซ์ ค่าความผิดพลาดนี้เองที่จะเป็นตัวกำหนดความแม่นยำในการใช้งาน DSP

2.3.3 วงจรแซมเปิลแอนด์โฮลด์

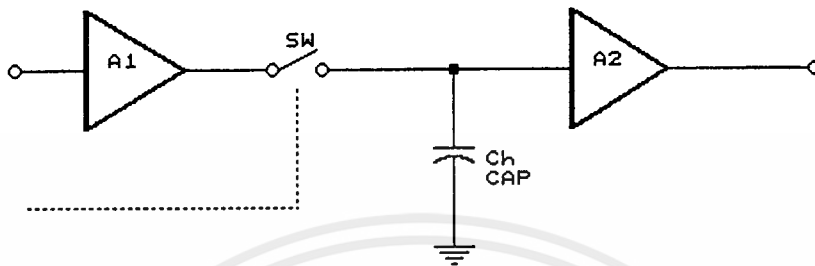
วงจรแซมเปิลแอนด์โฮลด์ โดยพื้นฐานแล้วจะเป็นวงจรหรือ อุปกรณ์เก็บแรงดัน (Voltage Memory) ซึ่งใช้อุปกรณ์ที่สำคัญคือ ตัวเก็บประจุ ดังในรูปที่ 2.16



รูปที่ 2.16 แสดงวงจรพื้นฐานของการแซมเปิลแอนด์โฮลด์

เอกสารนี้เป็นเอกสารที่สงวนไว้สำหรับการใช้งานเพื่อการศึกษาเท่านั้น ไม่อนุญาตให้นำไปใช้ประโยชน์ด้านการค้าไม่ว่ากรณีใดๆ ทั้งสิ้น อีกทั้งห้ามมิให้ตัดแปลงเนื้อหาและต้องอ้างอิงถึงเจ้าของเอกสารทุกครั้งที่มีการนำไปใช้

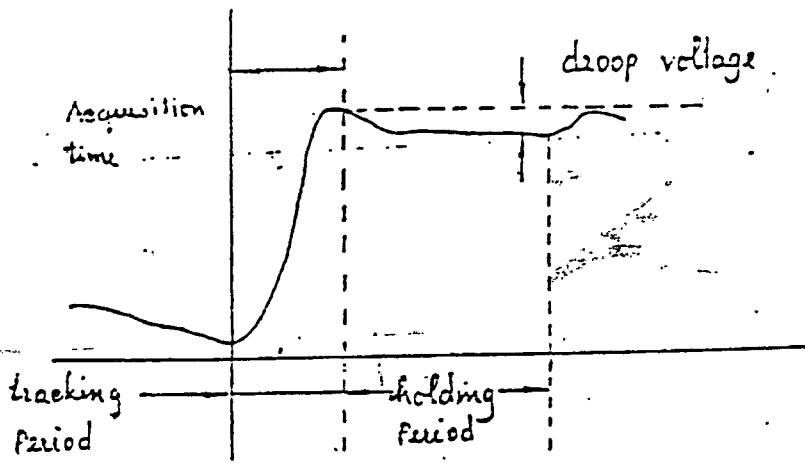
อิเล็กทรอนิกส์สวิตช์จะต่อสัญญาณแรงดันเข้ากับตัวเก็บประจุ ซึ่งสวิตช์จะถูกควบคุมจากแอมพลิฟายเออร์ ช่วงเวลาการตัดสวิตช์ และ เวลาในการประจุจนแรงดันถึงค่าที่ลุ่มมานั้นจะเรียกว่าอเพอร์เจอร์ไทม์ (Aperture Time) ของแอมพลิฟายแอนด์ไฮลด์



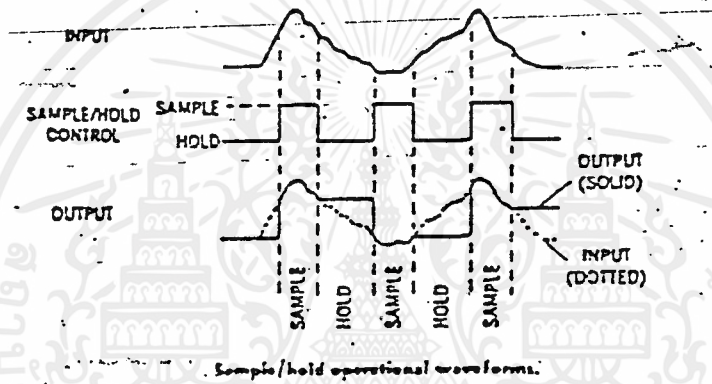
รูปที่ 2.17 แสดงวงจรแอมพลิฟายแอนด์ไฮลด์ที่ใกล้เคียงกับวงจรที่ใช้งานจริง

จากรูปที่ 2.17 โดยการเพิ่มเติมบัฟเฟอร์แอมพลิฟายเออร์ (Buffer Amplifier) เข้าทางส่วนส่วนอินพุต และเอาท์พุทของวงจรนี้ แอมพลิฟายเออร์ทางด้านอินพุตจะช่วย
 ผลิตให้วงจรมีอินพุตที่มีพลังงานซึ่งส่งผลกระทบต่อตัวเก็บประจุได้เร็วขึ้น ส่วนแอมพลิฟายเออร์ทางด้านเอาท์พุท จะช่วยทำให้เอาท์พุทมีอิมพีแดนซ์ต่ำสามารถขับเอาต์พุตได้ง่าย ส่วนสำคัญที่ต้องพิจารณาคือ จะต้องใช้แอมพลิฟายเออร์ที่กินกระแสต่ำเพื่อให้ดึงกระแสจากตัวเก็บประจุในช่วงไฮลด์สัญญาณน้อยที่สุด มิฉะนั้นจะเกิดการตก (Drop) แก่แรงดันที่ไฮลด์ ดังแสดงในรูปที่ 2.18

ส่วนรูปที่ 2.19 แสดงรูปคลื่นสัญญาณที่เกิดจากวงจรแอมพลิฟายเออร์ในทางอุดมคติ



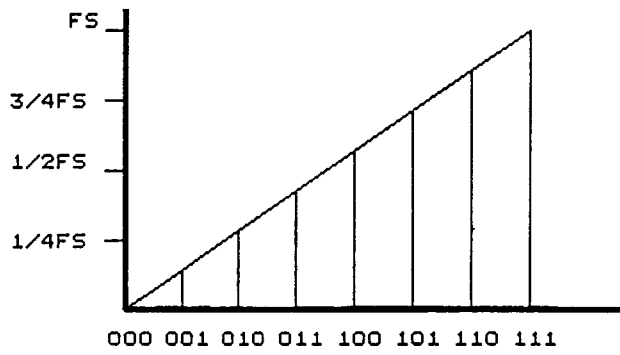
รูปที่ 2.18 แสดงการคคของแรงดันที่โฮลด์ไว้



รูปที่ 2.19 แสดงรูปคลื่นสัญญาณจากวงจรแซมเปิลแอนด์โฮลด์ในทางอ้อมคค

2.3.4 วงจรเปลี่ยนสัญญาณดิจิตอลให้เป็นอนาลอก (DAC)

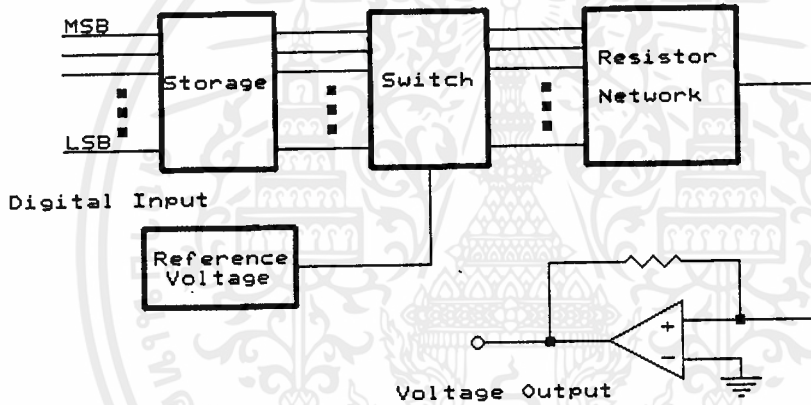
ดีเอซี เป็นอุปกรณ์สำคัญอย่างหนึ่ง ที่ทำให้นำเอาคอมพิวเตอร์ไปใช้ร่วมกับ อุปกรณ์หรือวงจรอนาลอกอื่นๆ รูปที่ 2.20 จะแสดงทรานสเฟอ์ฟังก์ชันของ ดีเอซีขนาด 3 บิต จะเห็นได้ว่ารหัสดิจิตอลอินพุต 1 เวิร์ด จะเปลี่ยนเป็นแรงดันอนาลอก 1 ค่า



รหัสอินพุต

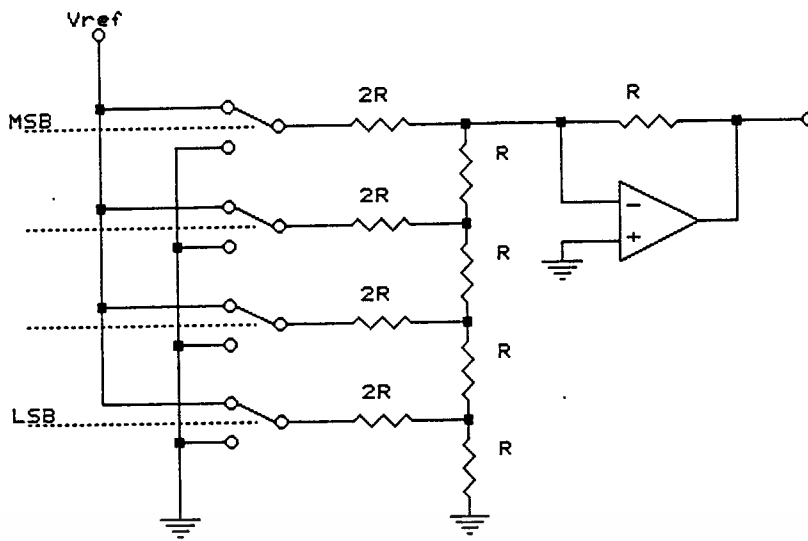
รูปที่ 2.20 แสดงกราฟานสเฟอรฟังก์ชันของดีเอซีขนาด 3 บิต

ลักษณะการจัดวงจร ดีเอซี จะเป็นลักษณะดังรูปที่ 2.21



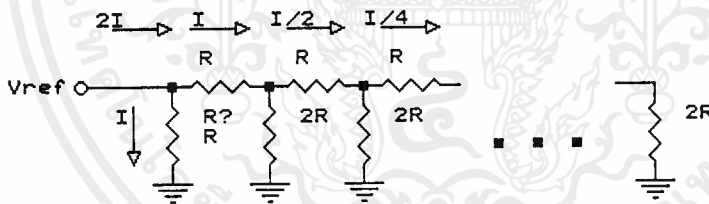
รูปที่ 2.21 แสดงบล็อก โคอะแกรมของ ดีเอซี

วงจรดีเอซี ที่ใช้กันมีหลายแบบแต่ในที่นี้จะขอล่างถึง วงจร ดีเอซีที่เป็นแบบตัวต้านทาน ขั้นบันได (R-2R ladder) ซึ่งเป็นแบบที่นิยมใช้กันมาก ลักษณะของวงจรแสดงดังรูปที่ 2.22



รูปที่ 2.22 แสดงวงจรดีเอซีขนาด 4 บิต แบบ R-2R ladder

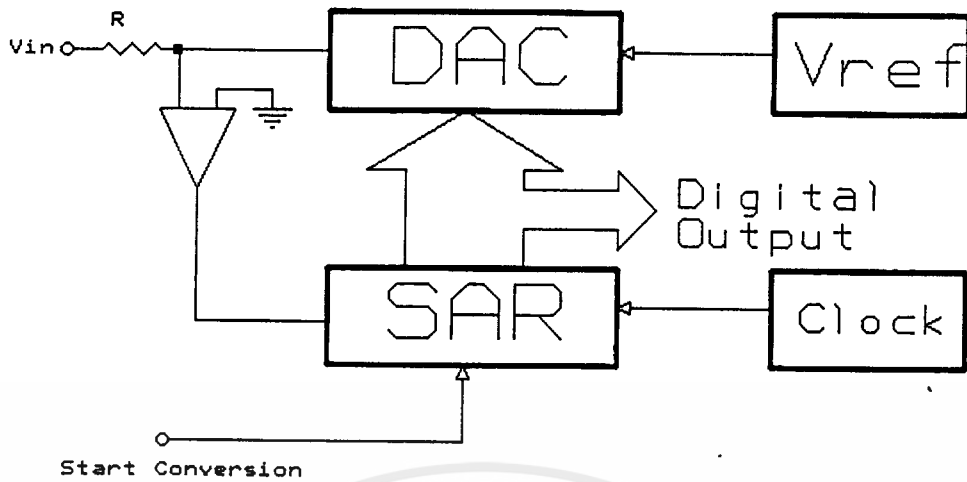
ในวงจรนี้ สวิตช์จะตัดต่อให้แรงดันอ้างอิง ต่อเข้ากับวงจรขั้นบันได จะเห็นได้ว่า สวิตช์อินพุต $\times p-30V$ หรือรีซิสเตอร์ ($2R$) เมื่อมองเข้าไปจะเห็นคู่ของรีซิสเตอร์ระหว่างจุดต่อ R-2R ที่ติดกัน กระแสจะถูกแบ่งออกเป็นอัตรา 2/1 ซึ่งสอดคล้องกับ รหัสไบนารี ดังรูปที่ 2.23



รูปที่ 2.23 แสดงการแบ่งแรงดันจากแรงดันอ้างอิง

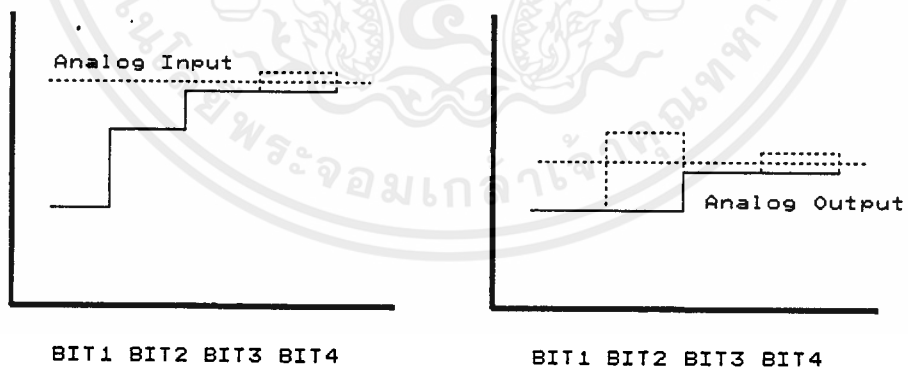
2.3.5 วงจรเปลี่ยนสัญญาณอนาลอกให้เป็นสัญญาณดิจิทัล

วงจรเอดีซีส่วนใหญ่ จะอยู่ในรูปของ ไอซี และแบบที่นิยมใช้คือ แบบการประมาณค่าเซสซีฟ (Successive Approximatin) ซึ่งนิยมใช้ในงานที่ต้องการความเร็วสูง และปานกลาง วงจรแบบนี้คล้ายกับเคาทเตอร์ที่ทำงานในลักษณะป้อนกลับ



รูปที่ 2.24 แสดงบล็อก ไดอะแกรม ของตัวแปลงแบบซัคเซสซีฟ

รูปที่ 2.24 แสดงฟังก์ชันต่างๆ ในเอดีซี คอมพาราเตอร์จะคอยเปรียบเทียบเอาต์พุตจากเอดีซี กับสัญญาณอนาลอกอินพุต เอาท์พุตที่ได้จะควบคุมรีจิสเตอร์ของตัวประมวลผลแบบซัคเซสซีฟ การทำงานของ SAR จะเป็นดังนี้ (ดูรูป 2.25)



รูปที่ 2.25 แสดงไทม์มิง ไดอะแกรมของเอดีซีแบบ SAR

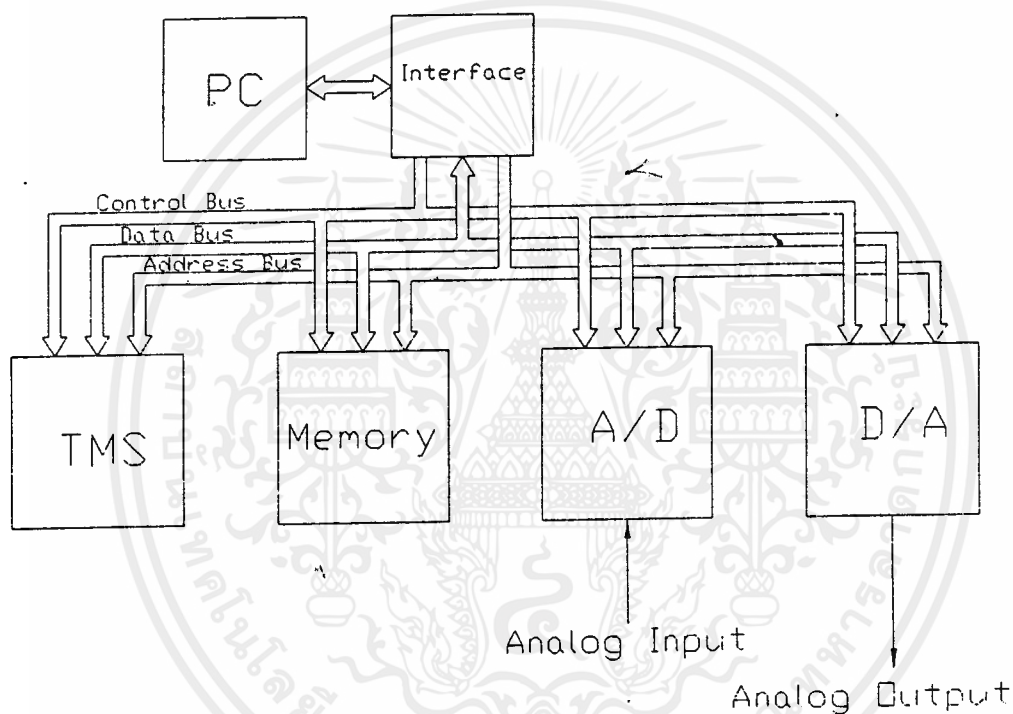
เมื่อ สัญญาณนาฬิกาเข้ามา 1 ลูก ก็จะทำให้บิตสูงส+30^ค เป็น "1" ส่วนบิตอื่นๆยังคง เป็น "0" ดีเอสซีจะเปลี่ยนเอาท์พุทของ SAR ให้เป็นสัญญาณอนาล็อกเปรียบเทียบกับสัญญาณอนาล็อกอินพุท ถ้าผลการเปรียบเทียบที่ตัวเปรียบเทียบที่ตัวเปรียบเทียบ เปรียบเทียบ ว่าน้อยกว่าอินพุทก็คงบิตนั้น เป็น "1" แต่ถ้ามากกว่า ก็จะทำให้บิตนั้นเป็น "0" จากนั้นจะทำการทดสอบบิตถัดไป โดยทำให้ บิตนั้นเป็น "1" หากผลรวมของ สองบิต มีค่ามากกว่าก็ทำให้บิตนั้นเป็น "0" แต่ถ้าน้อยกว่าก็คง ค่า "1" เอาไว้ แล้วทำการทดสอบบิตถัดไป ด้วยวิธีดังกล่าวจนครบทุกบิต หรือจนกว่าเอาท์พุท จะต่างจาก ค่าแรงดันอินพุท ไม่เกิน "1" LSB

ข้อจำกัดประการหนึ่งสำหรับการทำงาน คืออนาล็อกอินพุทจะต้องคงที่ ในช่วงเวลา ที่ทำการเปลี่ยนสัญญาณ โดยเปลี่ยนแปลงได้ไม่เกิน 1/2 LSB ในช่วงสุดท้ายของการเปลี่ยน สัญญาณดิจิตอล เอาท์พุทจะออกมาขนานกันทุกบิต



บทที่ 3 การออกแบบวงจรและการทำงาน

การออกแบบวงจรเราจะเริ่มจาก แผงผังเบื้องต้นของระบบประมวลผลสัญญาณดิจิทัล และเราต้องการให้สามารถเปลี่ยนแปลงแก้ไข อัลกอริทึมการประมวลผลได้ง่ายด้วย IBM/PC ในการจะติดต่อระหว่างตัวประมวลผลสัญญาณดิจิทัล กับ IBM/PC ได้ นั้น เราจำเป็นต้องมี วงจรในส่วนที่ใช้ติดต่อ (Interface) จากนั้น เมื่อเรามองที่ตัวประมวลผล ซึ่งจะต้องประกอบด้วย หน่วยความจำ และจะมองสัญญาณอินพุตและเอาต์พุตของตัวประมวลผลในรูปของพอร์ท และการที่จะเข้าถึงหน่วยความจำที่เวลาใด ๆ ไม่สามารถทำได้มากกว่า 1 ทาง ดังนั้นจะต้องมีส่วนเลือกการติดต่อ เมื่อมองภาพโดยรวมจะเขียนเป็นบล็อกไดอะแกรมได้เป็น ดังรูปที่ 3.1



รูปที่ 3.1 แสดงบล็อก ไดอะแกรมส่วนเลือก ในการติดต่อระหว่างส่วนต่างๆ

จากรูปที่ 3.1 เนื่องจากต้องการให้ระบบมีความยืดหยุ่นสูง จึงได้รวมบล็อกไดอะแกรมที่อยู่ในเส้นประเข้าด้วยกันเท่านั้น และจะเรียกส่วนนี้ว่า เมนบอร์ด (Main Board)

จากที่กล่าวมาแล้ว จะเห็นว่าจำนวน หรือคุณสมบัติอินพุต เอาต์พุต ของระบบสามารถเปลี่ยนแปลงได้โดยง่าย ในการออกแบบจะทำการแยกส่วนต่างๆออกจากกันด้วยหัวต่อ(Header)

เพื่อที่จะทำการถอดเปลี่ยนได้สะดวก และจะขอเรียกจุดต่อสัญญาณระหว่างส่วน Selector และ I/O พอร์ต ว่า Port Header และจุดต่อระหว่างส่วน Interface กับส่วน Selector ว่า Interface Header เพื่อความสะดวกในการกล่าวถึงต่อไป

เมื่อได้ดังนี้แล้ว ก็จะทำให้การออกแบบวงจรเป็นส่วนๆต่อไป ในการออกแบบนี้ก็จะคำนึงถึงค่าเวลาหน่วง (delay time) ของสัญญาณต่างๆด้วย

3.1 ส่วนเมนบอร์ด

ในส่วนของเมนบอร์ดนี้จะเป็นที่อยู่ของตัวประมวลผล คือตัว TMS 32010 ซึ่งมีคาตักเมมโมรีและโปรแกรมเมมโมรีอยู่ในตัวเอง แต่เนื่องจากการใช้โปรแกรมเมมโมรีภายในตัวเองจะทำให้การเปลี่ยนแปลงแก้ไขโปรแกรมทำได้ไม่สะดวก ดังนั้นจึงจะใช้หน่วยความจำภายนอกแทนโปรแกรมเมมโมรีของ TMS32010 โดยการป้อนลอจิก "0" เข้าที่ขา MC/~MP ของ TMS32010 ซึ่งจะเป็นการบังคับให้ TMS32010 ทำงานในโหมดไมโครโปรเซสเซอร์

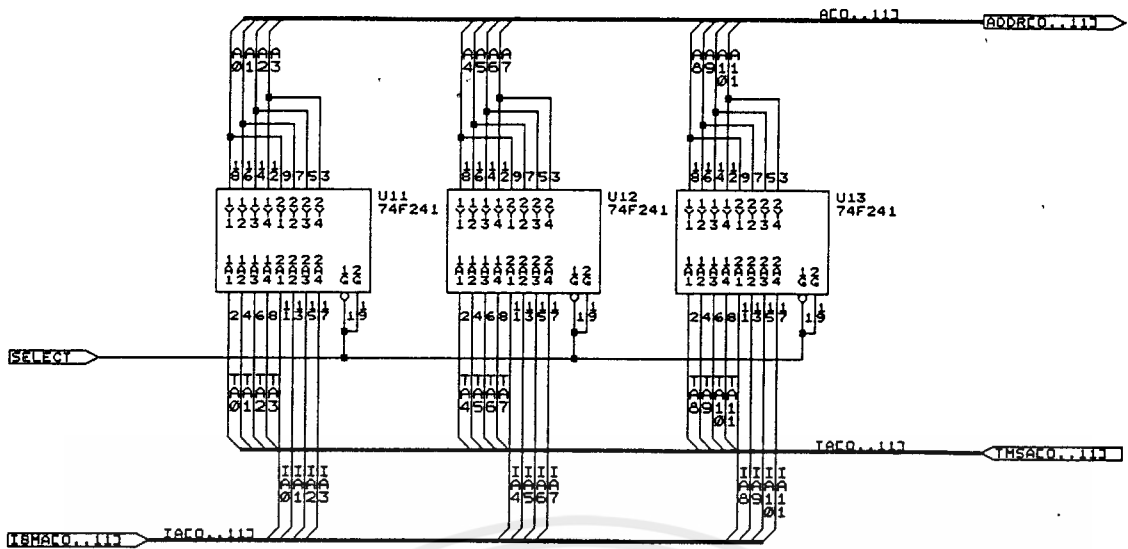
3.1.1 ส่วนซีเล็คเตอร์

จากบล็อกไดอะแกรมข้างต้น การที่จะเลือกระหว่าง TMS กับ IBM สามารถสร้างได้โดยใช้ซีเล็คเตอร์สองทางสำหรับระบบัสต่างๆ โดยเมื่อเราจะเปลี่ยนโปรแกรมที่อยู่ในหน่วยความจำ ก็โดยให้ซีเล็คเตอร์ต่อหน่วยความจำเข้ากับ IBM และเมื่อจะให้ TMS ทำงานตามโปรแกรมนั้นก็โดยให้ซีเล็คเตอร์ต่อหน่วยความจำเข้ากับ TMS

ในส่วนซีเล็คเตอร์จะประกอบด้วย

- แอดเดรสบัสซีเล็คเตอร์
- คาตักบัสซีเล็คเตอร์
- ซีเล็คเตอร์บัสสัญญาณควบคุมระบบ

ส่วนแอดเดรสบัสซีเล็คเตอร์จะต้องเป็นแบบทิศทางเดียว 12 บิต เนื่องจากแอดเดรสบัสของ TMS32010 นั้นมี 12 บิต เราจะใช้ 74F241 ซึ่งเป็นแบบ 4 บิต 2 ทาง ดังนั้นจึงต้องใช้ 74F241 ทั้งหมด 3 ตัว เพื่อให้ได้ 12 บิต นำมาต่อกันดังรูปที่ 3.2



รูปที่ 3.2 แสดงการต่อ 74F241 ให้เป็นมัลติเพล็กซ์ 12 บิต

ส่วนคาต้ามัลติเพล็กซ์นั้น จะต้องเป็นแบบสองทิศทาง 16 บิต เนื่องจากคาต้ามัลติเพล็กซ์ของ TMS32010 นั้นเป็นแบบสองทิศทางและมี 16 บิต จากความเหมาะสมที่สุด เราจะเลือกใช้ 74F245 ซึ่งเป็นมัลติเพล็กซ์แบบ 8 บิต 3 สถานะสองทิศทาง นำมาต่อกันเป็นซีเล็คเตอร์สองทาง ได้ดังรูป 3.3

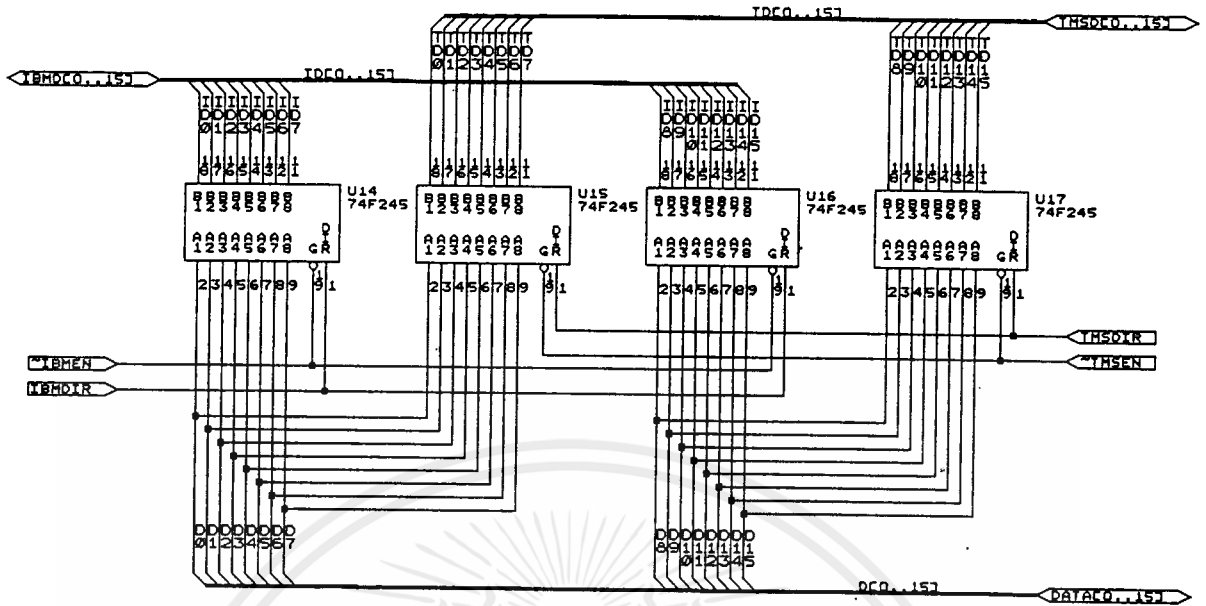
ส่วนซีเล็คเตอร์บัสสัญญาณควบคุมระบบ

บัสสัญญาณควบคุมระบบจะประกอบด้วยสัญญาณต่างๆ ดังนี้

- สัญญาณอ่านอินพุตพอร์ท
- สัญญาณเขียนเอาต์พุตพอร์ท
- สัญญาณอ่านหน่วยความจำ
- สัญญาณเขียนหน่วยความจำ

ซึ่งสามารถใช้ 72F157 เป็นซีเล็คเตอร์ได้พอดี

ทั้งสามส่วนดังกล่าวนี้จะต้องทำงานสัมพันธ์กัน โดยจะมีสัญญาณควบคุมการเลือกมาจากสัญญาณ IBM/TMS ซึ่งสัญญาณนี้จะมีลอจิก "1" เมื่อ IBM ต้องการติดต่อกับหน่วยความจำ



รูป 3.3 แสดงการต่อ 74F245 เป็นคาต้ามัสรีเล็คเตอร์

3.1.2 สัญญาณรีเซ็ตระบบ (\sim RS)

สัญญาณรีเซ็ตระบบจะเป็นสัญญาณที่ใช้รีเซ็ต TMS 32010 และนอกจากนั้นการรีเซ็ตยังมีความจำเป็นเพื่อให้ระบบกลับสู่จุดเริ่มต้น สัญญาณรีเซ็ตนี้จะเกิดขึ้นเมื่อ

- เริ่มจ่ายไฟเลี้ยงให้ระบบ (Power On \sim RS)
- กดปุ่มรีเซ็ต (Manual \sim RS)
- IBM กำลังติดต่อกับหน่วยความจำและพอร์ท (Soft \sim RS)

และเราจะให้ระบบรีเซ็ตที่ลอจิก"0" ดังนั้นสัญญาณรีเซ็ตจะกำหนดได้โดย

$$\sim\text{RS} = [(\text{Power On } \sim\text{RS}) \text{ AND } (\text{Manual } \sim\text{RS}) \text{ AND NOT } (\text{I}/\sim\text{T})]$$

สัญญาณ $[(\text{Power On } \sim\text{RS}) \text{ AND } (\text{Manual } \sim\text{RS})]$ จะถูกสร้างโดยลอจิกเกต และค่า

R, C วงจรจะอยู่ในภาคผนวก ก ในแผ่นวงจรชื่อ Power On Reset

เพื่อให้ให้ความกว้างของสัญญาณที่เกิดขึ้นมีค่ามากกว่า 1 ไมโครวินาที

เพราะจากการทำงานของอุปกรณ์ที่ต่ออยู่บน Port Header บางอย่างที่ต้องการสัญญาณ

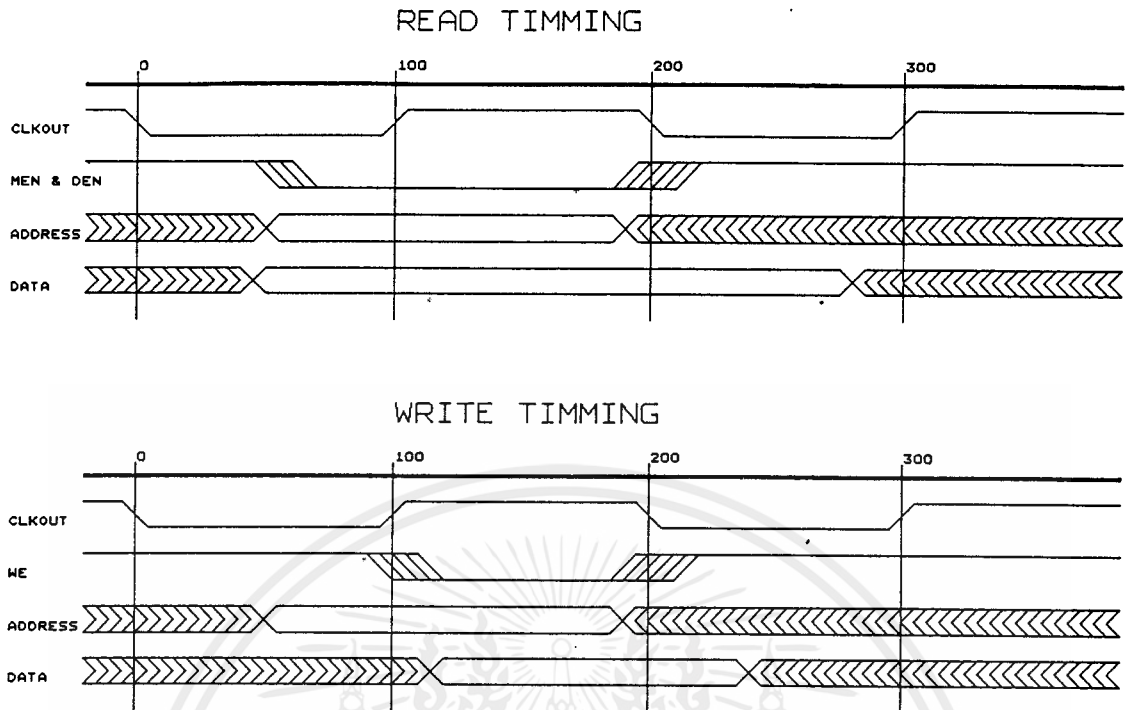
รีเซ็ตเพื่อกำหนดจุดเริ่มต้นของการทำงานให้สัมพันธ์ กับระบบ เช่น ส่วนแปลงสัญญาณ จากอนาล็อกเป็นดิจิทัล ถ้า IBM จะติดต่อกับอุปกรณ์ดังกล่าวก็จะทำไม่ได้เพราะ สัญญาณรีเซ็ตที่ได้จากสมการจะมีอยู่ตลอดเวลา อุปกรณ์นั้นก็จะไม่ทำงาน เราจึงต้องสร้างสัญญาณขึ้นมาใหม่จากสัญญาณรีเซ็ตเพื่อใช้กับอุปกรณ์ Port Header เราจะกำหนดให้สัญญาณนี้เป็น $\sim RS'$ โดยที่เมื่อเกิดสัญญาณ $\sim RS$ ก็จะทำให้เกิดสัญญาณ $\sim RS'$ ขึ้นชั่วขณะเท่านั้น การสร้างสัญญาณนี้ทำโดยใช้ไอซี 74LS123 มาทำเป็นวงจรมอนอสเตเบิล (Monostable)

3.1.3 สัญญาณ $\sim BIO$ และ $\sim INT$

สัญญาณนี้จะมีประโยชน์มากในการใช้งานโดยเฉพาะ สัญญาณ $\sim BIO$ ซึ่งเป็นอินพุตของ TMS 32010 ที่ทำให้เราสามารถหยุดคอยได้ เช่นการกำหนดความถี่ของการสุ่ม เป็นต้น การรับข้อมูลของ TMS จะรับเพียงช่วงแคบ ดังนั้นการที่จะทำให้สัญญาณที่ถูกส่งเข้าไปที่เวลาใดๆ สามารถถูก TMS รับรู้ได้ จะต้องมีการชิง โครโนซ์ข้อมูลที่เข้ามากับการทำงานของ TMS โดยใช้ D-Flip Flop 74AS74(U3A,U3B) ที่ต่อขา CLK เข้ากับการทำงานของระบบ สัญญาณนาฬิกาของระบบจะได้รับการ ออสซิลเลทของคริสตอล (Crystal) 20 MHz แล้ว TMS จะหารให้เหลือ 5 MHz เพื่อเป็นสัญญาณนาฬิกาของระบบ

3.1.4 $\sim MEN$, $\sim DEN$, $\sim WE$ และการเขียนอ่านพอร์ต

จากการทำงานของ TMS32010 ซึ่งมีไทม์มิง ไดอะแกรมดังรูปที่ 3.4 จะเห็นได้ว่าเมื่อ TMS ต้องการอ่านหน่วยความจำ สัญญาณ $\sim MEM$ จะทำงานและเมื่อ TMS ต้องการอ่านพอร์ต สัญญาณ $\sim DEN$ จะทำงาน แต่เมื่อสัญญาณ $\sim WE$ ทำงานนั้น จะหมายถึงว่า TMS ต้องการจะเขียนหน่วยความจำหรือพอร์ต อย่างใดอย่างหนึ่ง ดังนั้นเราจำเป็นต้องแยกสัญญาณ $\sim WE$ นี้ออกเป็น สัญญาณเขียนพอร์ต และ สัญญาณเขียนหน่วยความจำ โดยอาศัยว่าพอร์ตของ TMS นั้นมีอยู่เพียง 8 พอร์ต จึงออกแบบวงจรถวายให้เมื่อสัญญาณ $\sim WE$ ทำงาน และค่าแอดเดรสมีค่ามากกว่า 8 ก็แสดงว่า TMS ต้องการจะเขียนข้อมูลลงหน่วยความจำ แต่ถ้าค่าของแอดเดรสขณะที่สัญญาณ $\sim WE$ ทำงาน มีค่าน้อยกว่าหรือเท่ากับ 8 ก็ย่อมแสดงว่า TMS ต้องการจะส่งข้อมูล



รูปที่ 3.4 แสดงสัญญาณการอ่านและการเขียน หน่วยความจำและพอร์ท

จากข้างต้นเราจะออกแบบเป็นวงจรได้โดยใช้วิธี คาร์นอร์แมม(Karnaugh-Map) ทำการลดรูปของสมการ ได้ว่า สัญญาณ $\sim CS$ (Chip Select) ของหน่วยความจำคือ

$$\sim CS = (\sim MEN) \text{ AND NOT } (A3 \text{ to } A11=0)$$

ซึ่งสัญญาณ $\sim CS$ ก็จะต้องไปผ่านชุด Selector อีกที โดยใช้ไอซี 74F260, 74F08 ซึ่ง จะอธิบายการทำงานได้ดังตาราง 1

การเขียนอ่านพอร์ท จะกระทำโดย ก่อนอื่นเราต้องทำการแยก (Decode) ตำแหน่งของ พอร์ท โดยค่าตำแหน่งของพอร์ทจะอยู่ในแอดเดรสบัส A0-A2 โดยใช้ 74F138 สองเกต เพื่อ แยกเป็นพอร์ทสำหรับรับข้อมูลเข้าและพอร์ทสำหรับส่งข้อมูลออก ก็จะได้สัญญาณเลือกพอร์ท($\sim PS$) ต่างๆออกมา ซึ่งสัญญาณเลือกพอร์ทจะต้องไม่เกิดขึ้นเมื่อค่า A3 ถึง A11 ไม่เท่ากับศูนย์ เรา จึงต่อ NOT (A3 to A11 = 0) เข้ากับขา G1 ของ 74F138 ทั้งสองตัวและแต่ละตัวก็จะถูก ควบคุมแยกกันด้วยสัญญาณ $\sim WE$ และ $\sim DEN$ เพื่อการส่งและรับข้อมูล

เมื่อรวมส่วนต่างๆเข้าด้วยกันก็จะ ได้วงจรบนเมนบอร์ดดังภาคผนวก ก

ตารางที่ 1 แสดงการใช้งานหน่วยความจำ

A3-A11	\sim MEN	\sim WE	\sim CS	การทำงาน
0	0	1	0	เป็นการอ่านข้อมูลจาก RAM
0	1	0	1	เป็นการเขียนข้อมูลแต่จะไม่เข้าRAM
1	0	1	0	เป็นการอ่านข้อมูล จาก RAM
1	1	0	0	เป็นการเขียนข้อมูลเข้าสู่ RAM

3.2 ส่วนหน่วยความจำ

จากที่ TMS32010 ทำงานด้วยความเร็วสูงและจะอ่านหน่วยความจำทุกๆ รอบของการทำงาน ทำให้จะต้องใช้หน่วยความจำที่มีความเร็วการทำงานสูงด้วย ในที่นี่เราจะเลือกใช้ไอซีหน่วยความจำเบอร์ MT5C2568 ซึ่งเป็นหน่วยความจำแบบสถติก (Static RAM) มีขนาด 32K * 8 บิต และมีเวลาในการเข้าถึงข้อมูลไม่เกิน 20 นาโน วินาที ดังนั้นเพื่อที่จะให้ได้หน่วยความจำครบ 32 กิโลเวิร์ด ก็จะต้องใช้ไอซี MT5C2568 จำนวนทั้งหมด 2 ตัว นำมาต่อกันแบบขนาน

3.3 วงจรกำหนดความถี่สุ่ม (Time Base)

วงจรถูกกำหนดความถี่สุ่ม เป็นอุปกรณ์ที่ใช้บน Port Header จุดประสงค์ของการสร้างวงจรมีขึ้นมาก็เพื่อเป็นตัวสร้างความถี่ที่ใช้ในการสุ่มข้อมูลให้ TMS โดยจะอาศัยขาสัญญาณ \sim BIO ซึ่งสามารถใช้ซอฟต์แวร์เป็นตัวตรวจสอบได้ โดยเราจะเขียนโปรแกรมให้ TMS รอคอยสัญญาณนี้ก่อนที่จะรับข้อมูลแชนเนลต่อไปได้ โดยที่ค่าเวลานี้สามารถกำหนดได้ด้วยซอฟต์แวร์

โดยอาศัยวงจรมัลติพลายที่สามารถกำหนดค่าเริ่มต้นได้ 4526 ซึ่งเป็นตัวนับแบบ 4 บิต 2 ตัว เพื่อที่จะสามารถกำหนดความถี่ได้ในช่วงที่กว้าง สัญญาณนาฬิกาของระบบซึ่งมีขนาด 5 MHz จะถูกหารด้วย 5 (การหารเป็นการต่อ Count Down Counter แบบหนึ่ง) ด้วยไอซี

74LS193 ได้สัญญาณเอาต์พุต 1 MHz แล้วไปผ่านวงจรหารที่โปรแกรมได้ (4526) ซึ่งค่าที่จะใช้หารจะถูกเก็บอยู่ใน 74LS373 ดังนั้นถ้าเราต้องการความถี่เอาต์พุต 100 KHz เราก็ต้องส่งค่า 10 ไปเก็บไว้ใน 74LS373 ในรูปแบบเลขฐานสองก่อน ดังนั้นจะเห็นได้ว่า เราสามารถจะหารได้มากที่สุดคือ หารด้วย 256 จากความถี่อินพุต ดังนั้นความถี่สูงสุดที่จะทำได้คือ $1\text{M}/256\text{ Hz}$ ซึ่งจะเท่ากับ 3.921 KHz แต่โดยธรรมชาติแล้ว เราจะกำหนดค่าของความถี่สุ่มเป็นเลขจำนวนเต็ม เอาต์พุตที่ได้จะนำไปเป็นสัญญาณตรรกะให้ 74LS122 (Monostable) เพื่อสร้างสัญญาณพัลส์ที่มีความกว้างคงที่ แล้วค่อยส่งเข้าขา $\sim\text{BIO}$ อีกที การส่งค่ามาเก็บไว้ใน 74LS373 ก็คือการส่งข้อมูลออกไปที่ Port Header นั่นเอง

3.4 ส่วนแปลงสัญญาณอนาลอกเป็นดิจิตอล

ส่วนแปลงสัญญาณอนาลอกเป็นดิจิตอลนี้จะ เป็นอุปกรณ์ที่ใช้บน Port Header ซึ่งเป็นพอร์ทรับข้อมูลเข้าอย่างหนึ่งของระบบประมวลผล

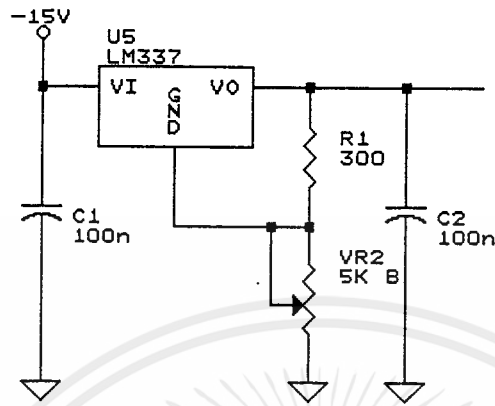
เราจะเลือกใช้ ADC เบอร์ ADC908 ซึ่งมีคอนเวอร์ชันไทม์(Conversion Time)เท่ากับ 6 ไมโครวินาที ค่าตัว 8 บิต สำหรับเหตุผลที่เลือกใช้ ADC เบอร์นี้ ก็คือการทำงานของ TMS นั้นมีความเร็วสูงมาก ดังนั้นจึงต้องการ ADC ที่ทำงานเร็วทัน และการเลือกใช้ ADC ที่มีค่าตัวแบบ 16 บิต นั้นจะมีราคาแพง

จากสัญญาณอินพุตซึ่งมีความถี่สูง จึงต้องมีวงจรส่วนแซมเปิล แอนด์ โฮลด์ (Sample and Hold) ซึ่งจะใช้ IC LF398 ซึ่งจากค่าตัว บุก ของ LF398 เราจะสามารถเลือกค่าตัวเก็บประจุที่จะใช้ได้จากกราฟ Acquisition Time ในค่าตัว บุก จะได้ค่า ตัวเก็บประจุที่ต้องใช้เท่ากับ 1 นาโน ฟารัด เพื่อความเร็วที่สูงที่สุด

สำหรับสัญญาณที่จะควบคุม LF398 ว่าจะให้ แซมเปิล หรือ โฮลด์ ก็นำมาจากขาสัญญาณ $\sim\text{BUSY}$ ของ ADC908 ซึ่งจากการทำงานของ ADC908 นี้ เมื่อ ADC กำลังทำการแปลงสัญญาณ อยู่ ที่ขา $\sim\text{BUSY}$ นี้จะมีลอจิก "0" ซึ่งในช่วงนี้ LF398 ก็จะต้องโฮลด์ข้อมูลไว้ จะเห็นได้ว่าสัญญาณที่จะควบคุม LF398 ก็ต้องการลอจิก "0" เช่นเดียวกัน ดังนั้นจึงสามารถต่อขาสัญญาณที่จะควบคุม LF398 เข้ากับขา $\sim\text{BUSY}$ ของ ADC908 ได้โดยตรง

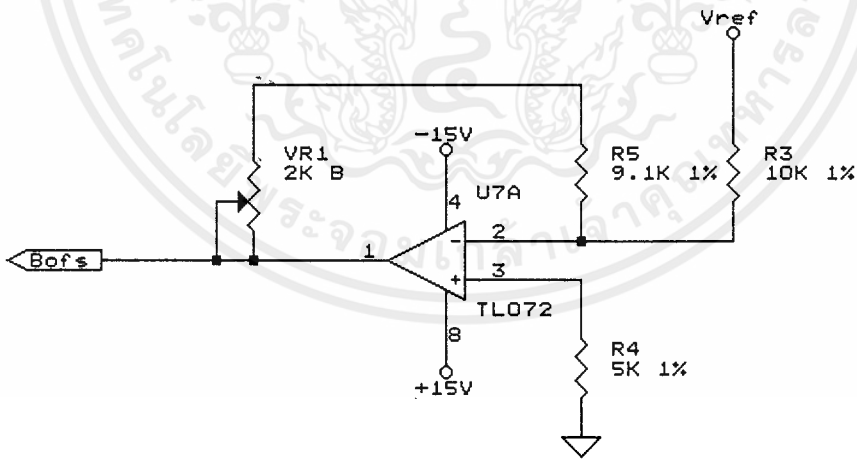
ADC908 นี้จะมีสัญญาณอินพุตอยู่ 2 โหมด คือ โหมดยูนิโพลาร์ (Unipolar Mode) และ โหมดไบโพลาร์(Bipolar Mode) ในโครงงานนี้เราจะเลือกการใช้งานในโหมดไบโพลาร์

เพื่อให้สัญญาณอินพุตอนาล็อกสามารถเป็นได้ทั้งบวกและลบ มีขนาดสัญญาณไม่เกิน +10 โวลต์และ -10 โวลต์ ดังนั้นจะต้องใช้แรงดันไฟเปรียบเทียบ (V_{REF}) ขนาด -10 โวลต์ ซึ่งสามารถสร้างได้โดยใช้ไอซี LM337 ซึ่งเป็นไอซีที่สามารถปรับค่าแรงดันได้ นำมาต่อเป็นวงจรดังรูป 3.5



รูปที่ 3.5 แสดงการสร้างสัญญาณอ้างอิงโวลต์เฉย

และสำหรับสัญญาณ B_{OFS} เพื่อทำการปรับออฟเซ็ทของ ADC908 นั้นสามารถสร้างได้โดยใช้วงจรดังรูปที่ 3.6



รูปที่ 3.6 แสดงการต่อวงจรเพื่อสร้างสัญญาณ B_{ofs}

จากการทำงานของ ADC908 ซึ่งจะมีการทำงานอยู่ 3 โหมด คือ

- โหมดการทำงานแบบ RAM
- โหมดการทำงานแบบ ROM
- โหมดการทำงานแบบ Slow-Memory

ตารางการทำงาน ของทั้ง 3 โหมด แสดงดังตารางที่ 2,3 และ 4

ตารางที่ 2 แสดงการทำงานของ ADC908 ในโหมด RAM

อินพุต		เอาต์พุต		การทำงาน
\sim CS	\sim RD	\sim BUSY	บััสข้อมูล	
L	H	H	Z	เริ่มทำการแปลงข้อมูล
L	H-L	H	Z-D	อ่านข้อมูล
L	L-H	H	D-Z	รีเซตตัวแปลงข้อมูล
H	X	X	Z	ไม่ใช่
L	H	L	Z	ไม่ใช่
L	H-L	L	Z	ไม่ใช่
L	L-H	L	Z	ไม่อนุญาตให้เกิดขึ้น

(Z: ไฮอิมพีแดนซ์, H-L: ขอบขาลง, L-H: ขอบขาขึ้น, X: ไม่สนใจ, D: มีข้อมูล)

ตารางที่ 3 แสดงการทำงานของ ADC908 ในโหมด ROM

อินพุต		เอาต์พุต		การทำงาน
\sim CS	\sim RD	\sim BUSY	บัสข้อมูล	
L	H-L	H	Z-D	อ่านข้อมูล
L	L-H	H-L	D-Z	รีเซทและ เริ่มแปลงข้อมูล
L	H-L	L	Z	ไม่ใช่
L	L-H	L	Z	ไม่อนุญาตให้เกิดขึ้น

ตารางที่ 4 แสดงการทำงานของ ADC908 ในโหมด Slow-Memory

อินพุต		เอาต์พุต		การทำงาน
\sim CS & \sim RD		\sim BUSY	บัสข้อมูล	
H		H	Z	ไม่ใช่
H-L		H-L	Z	เริ่มแปลงข้อมูล
L		L	Z	รอกการแปลงข้อมูล
L		L-H	Z-D	แปลงข้อมูลเสร็จ, อ่านข้อมูล ได้
L-H		H	D-Z	รีเซทและยกเลิกการใช้

จากตารางการทำงานจะเห็นได้ว่า ในโหมด RAM นั้น จะต้องมีสัญญาณในการควบคุม ADC908 มาก ซึ่งจะยุ่งยากในการออกแบบวงจร และในโหมด Slow-Memory ก็จะทำให้TMS เสียเวลาคอยการทำงานของ ADC908 ในช่วงของการแปลงสัญญาณ แต่การใช้งานADC908 ในโหมด ROM นั้นดูจะมีความเหมาะสมมากที่สุด

การที่จะใช้งาน ADC908 ในโหมด ROM นั้นก็เพียงแค่ป้อนลอจิก "0" เข้าที่ขา \sim CS และเมื่อเราต้องการจะอ่านข้อมูลจาก ADC908 ก็ป้อนลอจิก "0" เข้าที่ขา \sim RD หลังจากที่เรทำการอ่านข้อมูลเสร็จแล้ว ADC908 ก็จะทำการแปลงข้อมูลชุดต่อไป

จาก ADC908 ที่คาตั่วแบบ 8 บิต จะต้องอินเตอร์เฟสกับ คาตั่วบัสของ TMS ที่เป็นแบบ 16 บิต เราจะกำหนดให้ข้อมูล 8 บิตล่างมีค่าเท่ากับข้อมูลที่ได้จาก ADC908 ส่วนข้อมูล 8 บิตบนจะมีค่าเท่ากับ "00000000" โดยใช้ 74LS244 ที่ต่อขาอินพุตทั้งหมดลงกราวด์

และจากโหม้มิงไดอะแกรมการทำงานของ ADC908 ในโหมด ROM และจากข้อมูลในคาตั่วบัสของ ADC908 จะเห็นได้ว่าเมื่อเรทำการอ่านข้อมูลจาก ADC908 แล้วเลิกอ่านข้อมูลนั้นจะยังคงค้างอยู่ที่ขาคาตั่วของ ADC908 อีกชั่วระยะเวลาหนึ่ง ซึ่งระยะเวลานี้มีค่านานเกินไปสำหรับคาตั่วบัสของ TMS ดังนั้นจึงต้องใช้ 74F373 มาทำการเชื่อมต่อระหว่างขาคาตั่วของ ADC908 กับคาตั่วบัสของ TMS 8 บิตล่าง

เมื่อรวมส่วนต่างๆ ดังที่กล่าวมาข้างต้น ก็จะได้วงจรของส่วนแปลงสัญญาณ ดังรูปในภาคผนวก ก ซึ่งสามารถอธิบายการทำงานได้ดังนี้

- เมื่อเกิดการรีเซ็ต D Flip Flop จะถูกเคลียร์ ($Q=0, \sim Q=1$) ซึ่งจะทำให้ ADC อยู่ในสภาวะอ่านข้อมูลสัญญาณ \sim BUSY จะเป็น "1" และจาก $\sim Q = "0"$ 74LS373 ก็จะรับข้อมูลมาจาก ADC

- เมื่อมีสัญญาณอ่านพอร์ท (\sim PS) เข้ามา เมื่อ \sim PS เป็นศูนย์ 74AS74 จะถูกพรีเซ็ต (PRESET) $Q=1, \sim Q=0$ เมื่อ Q เปลี่ยนจาก "0" เป็น "1" ADC ก็จะเริ่มทำการแปลงข้อมูล สัญญาณ \sim BUSY จะเปลี่ยนจาก "1" เป็น "0" ทำให้ LF398 โขลสัญญาณอนาล็อกไว้ และจาก $\sim Q = "0"$ ดังนั้น 74LS373 ก็จะมารับข้อมูลจาก ADC เมื่อการแปลงข้อมูลเสร็จสิ้น สัญญาณ \sim BUSY จะเปลี่ยนจาก "0" เป็น "1" ทำให้ 74AS74 รับข้อมูลจากขา D มาออกที่ขา Q ซึ่งข้อมูลที่ $D = "0"$ ดังนั้น $Q = "0"$, $\sim Q = "1"$ ซึ่งก็จะเป็นการอ่านข้อมูล ข้อมูลจึงถูกส่งไปเก็บใน 74LS373 แล้วก็คอยการอ่านเข้าไปประมวลผลครั้งต่อไป

3.5 ส่วนแปลงสัญญาณจากดิจิตอลเป็นอนาลอก

ส่วนนี้เป็นอุปกรณ์อย่างหนึ่งบน Port Header จะเป็นชนิดส่งข้อมูลออกจากระบบประมวลผล โดยส่วนนี้จะรับข้อมูลมาจาก TMS32010

ในส่วนนี้เราจะเลือกใช้ไอซีเบอร์ DAC0800 ซึ่งเป็นไอซีแปลงสัญญาณดิจิตอล 8 บิต ให้เป็นสัญญาณอนาลอก มีเซตคลิ่งไทม์เท่ากับ 100 นาโนวินาที จากการทำงานของ DAC0800 ซึ่งจะแปลงข้อมูลดิจิตอลที่อยู่ที่ขาขาต่ำของ DAC0800 ดังนั้นเพื่อความต่อเนื่องของสัญญาณเอาต์พุตอนาลอก ข้อมูลที่ขาขาต่ำของ DAC0800 จึงจำเป็นต้องมีอยู่ตลอดเวลา แต่ข้อมูลที่มาจากขาต่ำบัส ของ TMS จะอยู่เพียงชั่วระยะเวลาหนึ่งเท่านั้น จึงต้องมีวงจรที่จะเก็บค่าข้อมูลนั้นเอาไว้โดยใช้ไอซี 74LS373 แล้ว DAC0800 ค่อยนำข้อมูลจากเอาต์พุตของ 74LS373 มาแปลงเป็นอนาลอกอีกทีหนึ่ง ซึ่งผลของการแปลงเป็นอนาลอกของ DAC0800 จะได้อยู่ในรูปของกระแส ดังนั้นจึงต้องมีวงจรส่วนแปลงค่ากระแสที่ได้ ออกมาเป็นแรงดันอีกทีหนึ่ง วงจรจะอยู่ในภาคผนวก ก ซึ่งเราจะคำนวณได้ดังนี้

$$I_{FS} = (V_{REF} / R_{REF}) * (255/256)$$

$$I_{FS} = I_o + \tilde{I}_o$$

$$V_{REF} = 10.000 \text{ V}$$

$$R_{REF} = 5.000 \text{ KOhm}$$

$$R_{15} = REF$$

$$C_c = 0.01 \text{ uF}$$

$$V_{LC} = 0 \text{ V}$$

ส่วนออปแอมป์นั้น จะเป็นตัวแปลงสัญญาณที่อยู่ในรูปของกระแสให้เป็นสัญญาณแรงดัน โดยสัญญาณเอาต์พุตที่ได้จะเป็นแบบไบโพลาร์

ส่วนสัญญาณ V_{REF} 10.000 โวลต์ สามารถสร้างได้โดยใช้ LM317

โดยเอาต์พุตสัญญาณอนาลอกที่ได้จากวงจรเปลี่ยนกระแสเป็นแรงดันนั้น จะมีลักษณะเป็นขั้นๆ ที่ไม่ต่อเนื่องกัน ดังนั้นเราก็จะขจัดความถี่เพื่อให้เอาต์พุตที่ได้มีลักษณะราบเรียบ โดยใช้วงจร Low Pass Filter เราจะตั้งความถี่คัทออฟเท่ากับ 100 KHz เนื่องจากระบบของเราทำงานได้ในช่วงความถี่ที่กว้าง เราก็จะได้วงจรรวม ดังแสดงในภาคผนวก ก

3.6 ส่วนติดต่อกับ IBM PC (Interface)

การติดต่อกับ IBM PC สามารถทำได้หลายทาง เช่น การติดต่อผ่านพอร์ตอนุกรม (RS-232) การติดต่อผ่านพอร์ทที่สร้างขึ้นโดยตรง และ การติดต่อผ่านพอร์ทขนาน (IBM PRINTER PORT) และอื่นๆ

จากการติดต่อกับ IBM ในหลายๆวิธีที่กล่าวมาข้างต้น ด้วยความเหมาะสมและเหตุผลต่างๆ เราจะเลือกการติดต่อโดยจะใช้การติดต่อผ่านทางบัสของ IBM PC โดยตรง โดยใช้ 8255 เป็น Peripheral device ซึ่งมีการนำเอาแอดเดรสบัสผ่านวงจร decode ทำให้ได้หมายเลขพอร์ทของ 8255 เป็น OFF0h-OFF3h และ OFF4h-OFF7h ตามลำดับ

สำหรับการทำงานของ 8255 นั้นเรากำหนดให้ทำงานในโหมด 0. สัญญาณต่าง ๆ ที่ได้จาก 8255 เป็นดังนี้

1. DO...D15 มาจาก พอร์ท A และ พอร์ท B ของ 8255 ตัวที่1
2. AO...A11 มาจาก พอร์ท A และ พอร์ท B (PBO...PB3) ของ 8255 ตัวที่2
3. สัญญาณคอนโทรล มาจากพอร์ท C ของ 8255 ตัวที่ 2

PC0 = สัญญาณ \sim TRAN

PC1 = สัญญาณ R/ \sim W

PC2 = สัญญาณ IBM/ \sim TMS

PC3 = สัญญาณ P/ \sim R

การที่จะกำหนดว่า พอร์ทใดควรเป็นอินพุตหรือเอาต์พุตพอร์ทนั้น จะกำหนดด้วยซอฟต์แวร์ ซึ่งจะกล่าวต่อไป

บทที่ 4 ตัวกรองไม่ป้อนกลับเชิงเลข

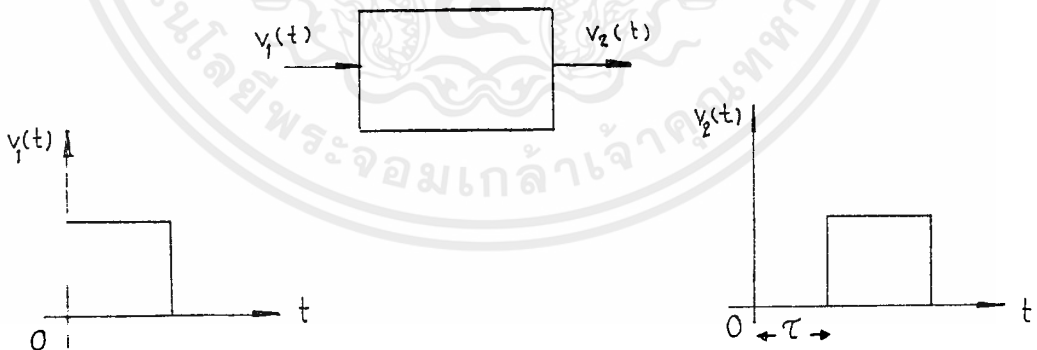
Non-Recursive Filter

ในการออกแบบตัวกรองเชิงอุปมาน หรือตัวกรองเชิงเลขโดยทั่วไป เรามักให้ความสำคัญแก่ผลตอบสนองแอมพลิจูดมากกว่า นั่นคือ ออกแบบให้มีผลตอบสนองแอมพลิจูดตามต้องการโดยยอมให้ผลตอบสนองเฟสเป็นอย่างไรก็ได้ แต่ในงานบางลักษณะนั้น เช่น การประมวลสัญญาณ อีซีจี (ECG: electrocardiogram) ที่ขนาดและลักษณะรูปคลื่นของสัญญาณมีความสำคัญมาก ในสถานการณ์แบบนี้ ถ้าใช้ตัวกรองที่มีผลตอบสนองเฟสไม่เป็นเชิงเส้นมาทำการประมวลผลสัญญาณ ก็จะทำให้ค่าขนาด ลักษณะรูปคลื่น หรือเวลาในการเกิดสัญญาณนี้ผิดเพี้ยนไปได้ ดังนั้นจึงต้องใช้ตัวกรองไม่ป้อนกลับเชิงเลข ซึ่งสามารถออกแบบให้มีผลตอบสนองเฟสเป็นเชิงเส้นได้ง่าย

4.1 วงจรกรองแบบหน่วงเวลา (Delay Filters)

วงจรกรองหน่วงเวลา มีคุณสมบัติดังแสดงในรูปที่ 1 คือ ยอมให้สัญญาณผ่านออกไปได้โดยที่ลักษณะรูปคลื่นของสัญญาณออกไม่ผิดเพี้ยน เพียงแต่เวลาของการเกิดรูปคลื่นจะมีเวลาหน่วงออกไป τ วินาที โดยที่ τ เป็นค่าเวลาคงตัวที่กำหนดให้ ถ้าให้ $v_2(t)$ เป็นสัญญาณออกจากวงจรกรอง และ $v_1(t)$ เป็นสัญญาณเข้าของวงจรกรอง เราสามารถเขียนความสัมพันธ์ของทั้งสองสัญญาณนี้ได้เป็น

$$v_2(t) = v_1(t - \tau) \quad (4.1.1)$$



รูป 4.5.1 แสดงคุณสมบัติของตัวกรองหน่วงเวลา

จากการวิเคราะห์โดยการประยุกต์ใช้ผลการแปลงฟูรีเยอร์ ทำให้เรารู้ว่าสัญญาณรูปสี่เหลี่ยมตามรูป 4.1.1 สามารถแตกย่อยออกเป็น สัญญาณไซน์จำนวนอนันต์พจน์มาประกอบรวมกัน ดังนั้น เราสามารถ

มารดศึกษาถึงผลตอบสนองเฟสของวงจรโดยนำมาพิจารณาแต่ละความถี่ได้ ถ้าเรานำสัญญาณที่มีความถี่เดียวคือ ที่ความถี่ ω มาพิจารณา หรือให้สัญญาณเข้าเป็น

$$v_1 = A \sin(\omega t + \phi) \quad (4.1.2)$$

ดังนั้นเราจะได้สัญญาณออกเป็น

$$v_1 = A \sin[\omega(t - \tau) + \phi] \quad (4.1.3)$$

หรือ

$$v_1 = A \sin(\omega t - \omega\tau + \phi) \quad (4.1.4)$$

และถ้าให้ เป็นมุมเฟสที่แตกต่างกันระหว่าง v_1 และ v_2 ได้

$$\theta = -\omega\tau \quad (4.1.5)$$

ซึ่งจะเห็นว่ามุมเฟสมีค่าเท่ากับค่าคงตัว คูณกับความถี่ สำหรับสัญญาณชาน์ตัวอื่น ก็สามารถพิสูจน์ได้ในทำนองเดียวกันว่า วงจรกรองให้ผลตอบสนองเป็นแบบหน่วงเวลาตามสมการ (4.1.1) ได้ก็ต่อเมื่อ มี ผลตอบสนองเฟสเป็นเชิงเส้น (linear phase response) กับความถี่ดังสมการ 4.1.5) โดยที่ ω เป็นค่าความถี่ใดๆ

คุณสมบัติของวงจรนี้เราสามารถศึกษาให้ละเอียดลงไปโดยการเขียนความสัมพันธ์ของสัญญาณเข้าและสัญญาณออกจากวงจรกรองใหม่ในรูปของเฟสเซอร์ (phasor) คือ

$$v_1(\tau) = A \angle \phi \quad \text{และ} \quad v_2(\tau) = A \angle (\phi - \omega\tau)$$

และฟังก์ชันถ่ายโอนเขียนได้เป็น

$$T(s) = v_2(s)/v_1(s) = 1 - s\tau \quad (4.1.6a)$$

หรือ

$$T(s) = \exp(-j\omega\tau) \quad (4.1.6b)$$

ซึ่งพจน์ $s=j\omega$ และ $T(s)$ ก็จะเป็นจำนวนเชิงซ้อน

$$T(\omega) = R(\omega) + jU(\omega) \quad (4.1.7)$$

ดังนั้นจึงหาผลตอบสนองความถี่ได้ โดยพิจารณาเป็นสองส่วนคือ ผลตอบสนองแอมพลิจูด และผลตอบสนองเฟส ซึ่งหาได้โดย

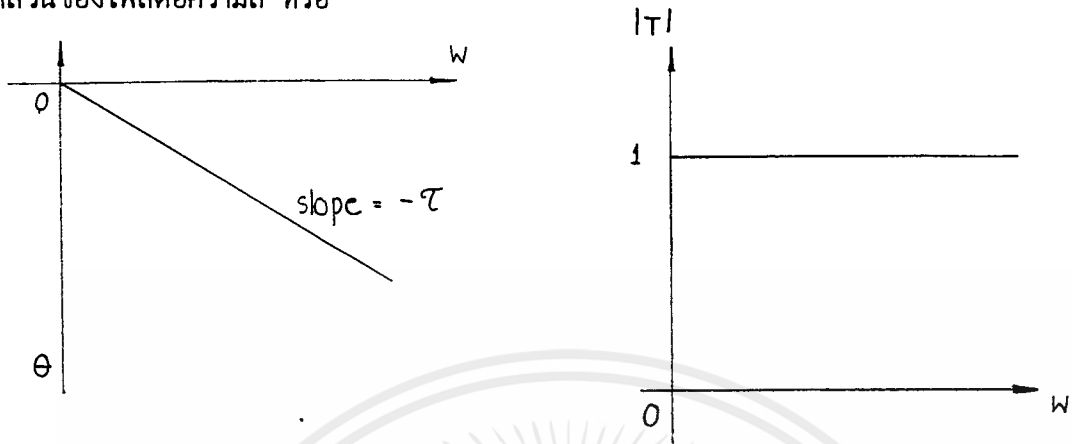
$$\text{ผลตอบสนองแอมพลิจูด} = V_2(s)/V_1(s) = |T(\exp[-j\omega\tau])| \quad (4.1.8)$$

$$\text{ผลตอบสนองเฟส} = \theta(\omega) = \tan^{-1} \{U(\omega)/R(\omega)\} \quad (4.1.9)$$

ผลตอบสนองความถี่ของวงจรหน่วงเวลา ได้แสดงไว้ในรูป 4.1.2 ซึ่งนอกจากแสดงให้เห็นในรูป 4.1.2a ว่ามีผลตอบสนองเฟสเป็นเชิงเส้นแล้ว ยังให้ผลตอบสนองแอมพลิจูดเป็นแบบ ตัวกรองผ่านทุก

ความถี่ (all pass filter) ด้วย

การกล่าวถึงคุณสมบัติของวงจรกรองนั้น ยังมีคำอีกสองคำที่มักใช้ในการบ่งถึงคุณสมบัติของผลตอบสนองเฟสด้วย คำแรกคือความหน่วงเฟส (phase delay) จะเขียนแทนด้วย τ_p ซึ่งนิยามให้เป็นอัตราส่วนของเฟสต่อความถี่ หรือ



รูป 4.1.2 แสดง (a) ผลตอบสนองเฟส (b) ผลตอบสนองแอมพลิจูดของตัวกรองหน่วงเวลา

$$\tau_p \triangleq -\theta(w)/w \tag{4.1.10}$$

เทอมที่สองคือ ความหน่วงกลุ่ม (group หรือ signal หรือ envelope delay) จะเขียนแทนด้วย τ_g ซึ่งนิยามให้เป็นค่าอนุพันธ์ของเฟส เมื่อเทียบกับความถี่ หรือ

$$\tau_g \triangleq -d\theta(w) / dw \tag{4.1.11}$$

ถ้าหากน่านิยามทั้งสองนี้มาประยุกต์ใช้กับ ผลตอบสนองเฟสของวงจรกรองหน่วงเวลา ที่มีคุณสมบัติตามสมการ (4.1.11) แล้วเห็นได้ว่า ตัวกรองหน่วงเวลามีผลตอบสนองเฟสเป็นแบบ ความหน่วงเฟสคงตัว (constant group delay) ด้วย ซึ่งตัวกรองโดยทั่วไปอาจให้คุณสมบัติเพียงความหน่วงเฟสคงตัว หรือ ความหน่วงกลุ่มคงตัว เพียงอย่างเดียวก็ได้

4.2 ตัวกรองผลตอบสนองเฟสเชิงเส้น (Linear phase filter)

จากสมการฟังก์ชันถ่ายโอนของตัวกรองไม่ป้อนกลับเชิงเลข เราหาผลตอบสนองความถี่ได้โดยแทน $Z = e^{-j\omega T}$ และให้

$$H(e^{j\omega T}) = M(w).exp\{j\theta(w)\} \tag{4.2.1}$$

$$= \sum_{n=0}^{N-1} h(nT) e^{-j\omega T}$$

โดยกำหนดให้

$$\text{ผลตอบสนองแอมพลิจูด} = M(\omega) = |H(e^{j\omega T})| \quad (4.2.2a)$$

$$\begin{aligned} \text{ผลตอบสนองเฟส} &= \theta(\omega) = \angle H(e^{j\omega T}) \\ &= \tan^{-1} \{ \text{Im } H(e^{j\omega T}) / \text{Re } H(e^{j\omega T}) \} \end{aligned} \quad (4.2.2b)$$

ในเบื้องแรกมาพิจารณาตัวกรองที่ให้ผลตอบสนองเฟสเป็นแบบ ความหน่วงเฟสคงตัว และ ความหน่วงกลุ่มคงตัว พร้อมกัน ซึ่งตามนิยามแล้วผลตอบสนองเฟสต้องมีคุณสมบัติคือ

$$\theta(\omega) = -\tau\omega \quad ; \quad -\pi < \omega < \pi \quad (4.2.3)$$

เมื่อประยุกต์ใช้นิยามของผลตอบสนองเฟสจาก (4.2.2b) และ (4.2.3) ได้ผลลัพธ์

$$\theta(\omega) = -\tau\omega = \tan^{-1} \left\{ - \frac{\sum_{n=0}^{N-1} h(nT) \sin n\omega T}{\sum_{n=0}^{N-1} h(nT) \cos n\omega T} \right\} \quad (4.2.4)$$

หรือ

$$\tan \omega\tau = \frac{\sin \omega\tau}{\cos \omega\tau} = \frac{\sum_{n=0}^{N-1} h(nT) \sin n\omega T}{\sum_{n=0}^{N-1} h(nT) \cos n\omega T} \quad (4.2.5)$$

ทำการคูณไขว้ ได้เงื่อนไขที่กำหนดถึง คุณสมบัติอิมพัลส์ของตัวกรองไม่ป้อนกลับเชิงเลขนี้เป็น

$$\sum_{n=0}^{N-1} h(nT) \cdot \{ \cos n\omega T \sin \omega\tau - \sin n\omega T \cos \omega\tau \} = 0 \quad (4.2.6)$$

$$\text{หรือ} \quad \sum_{n=0}^{N-1} h(nT) \sin \{ (N-n) \omega\tau \} = 0$$

เห็นได้ว่าการที่ตัวกรองไม่ป้อนกลับเชิงเลขจะมีคุณสมบัติ ผลตอบสนองเฟสเชิงเส้น ได้นั้นผลตอบสนองอิมพัลส์ต้องถูกถ่วงน้ำหนักด้วยพจน์ $\sin\{(N-n)\omega\tau\}$ ซึ่งเป็นฟังก์ชันซายน์ และนำผลบวกมารวมกันได้ผลรวมเป็นศูนย์

4.3 การออกแบบโคโยใช้อนุกรมฟูริเยร์

ตัวกรองไม่ย้อนกลับนี้สามารถเขียนได้ตามสมการทั่วไป (4.3.1) ซึ่งจะเห็นว่าความยาวของตัวกรองจำกัด หรือ ซีพรีจิสเตอร์ มีจำนวนจำกัด ถ้าให้ $x(n)$ เป็นลำดับสัญญาณเข้าและให้ $y(n)$ เป็นลำดับสัญญาณออก เพราะฉะนั้นเขียนสมการผลต่างสลับเนื่องได้

$$y(n) = \sum_{k=-M}^{+M} C_k \cdot x(n-k) \quad (4.3.1)$$

$$\begin{aligned} y(n) &= C_0 x(n) + \sum_{k=1}^{-M} C_k \cdot x(n-k) + \sum_{k=1}^M C_k \cdot x(n-k) \\ &= C_0 x(n) + \sum_{k=1}^M \{ C_{-k} \cdot x(n+k) + C_k \cdot x(n-k) \} \end{aligned}$$

โดยการเขียนเราสมมติให้ $T = 1$ และประยุกต์ใช้ การแปลง-แซด เพื่อเขียนฟังก์ชันถ่ายโอนได้

$$H(Z) = C_0 + \sum_{k=1}^M \{ C_{-k} Z^k + C_k Z^{-k} \} = \sum_{k=1}^M \{ C_k Z^{-k} \}$$

หรือ

$$H(w) = C_0 + \sum_{k=1}^M \{ C_{-k} e^{jwk} + C_k e^{-jwk} \} = \sum_{k=1}^M \{ C_k e^{-jwk} \}$$

ถ้าพิจารณากรณีตัวกรองแบบสมมาตรคู่ หรือ $C_k = C_{-k}$

$$H(w) = C_0 + \sum_{k=1}^M \{ C_{-k} e^{jwk} + C_k e^{-jwk} \} \quad (4.3.2a)$$

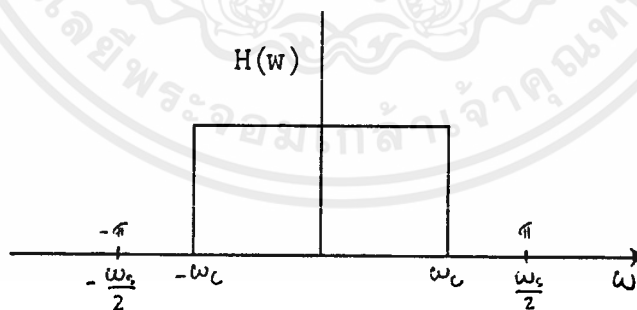
$$= C_0 + \sum_{k=1}^M 2C_{-k} (\{ e^{Jwk} + C_k e^{-Jwk} \} / 2) \quad (4.3.2b)$$

$$H(w) = a_0 + \sum_{k=1}^M a_k \cos wk$$

โดยที่กำหนดให้ $a_0 = C_0$ และ $a_k = C_k$ และ $k > 0$

ผลที่ได้จากสมการ (4.3.2b) เห็นได้ชัดว่า ตัวกรองไม่ป้อนกลับเชิงเลขคณิตสมมาตรคู่ นั้น สามารถเขียนอธิบายได้โดยใช้ อนุกรมฟูริเยอร์ ที่ประกอบด้วยสัมประสิทธิ์เฉพาะพจน์โคไซน์ เท่านั้น และค่าสัมประสิทธิ์ของอนุกรมฟูริเยอร์ a_k ตาม (4.3.2b) ก็จะเป็นค่าสัมประสิทธิ์ของตัวกรองด้วย ในทำนองเดียวกันเราอาจแสดงได้ว่า สำหรับตัวกรองไม่ป้อนกลับเชิงเลขคณิตแบบปฏิสมมาตรคู่ สามารถเขียนแทนด้วย อนุกรมฟูริเยอร์ ที่มีเฉพาะพจน์ไซน์เท่านั้น และค่าสัมประสิทธิ์จะเป็นค่าจินตภาพ (imaginary) เสมอ

หลักการในการออกแบบ โดยปกติแล้วการออกแบบตัวกรองสัญญาณนั้น กระทำโดยการทำการประมาณการให้ตัวกรองที่ออกแบบมีผลตอบสนองความถี่ได้ใกล้เคียงกับผลตอบสนองอุดมคติ รูป 4.3.1 ให้มากที่สุด โดยตามรูป w_c เป็นค่าความถี่ตัด (cut off frequency) จากผลตอบสนองความถี่อุดมคติ $H_d(w)$ สามารถกระจายให้อยู่ในพจน์ของโดเมนเวลาโดยการประยุกต์ใช้ การแปลงฟูริเยอร์ได้



รูป 4.3.1 ผลตอบสนองแอมพลิจูดอุดมคติ

$$H_d(w) = \sum_{n=-\infty}^{\infty} h_d(n) e^{-jwnT} \quad (4.3.3)$$

โดยที่ในกรณีนี้ผลตอบสนองอิมพัลส์ $h_d(n)$ หาได้จาก

$$h_d(n) = (1/2\pi) \int_{-w_s/2}^{w_s/2} H_d(w) \cdot e^{jnwT} dw \quad (4.3.4)$$

แต่จากสมการ (4.3.2a) ผลตอบสนองความถี่ของตัวกรองไม่ป้อนกลับเชิงเลขเป็น

$$H(w) = \sum_{k=-M}^M C_k \cdot e^{-jwT} \quad (4.3.5)$$

เมื่อเปรียบเทียบสมการ (4.3.3) และ (4.3.5) เห็นได้ว่า ผลตอบสนองความถี่ของตัวกรองจะใกล้เคียงผลตอบสนองอุดมคติก็ต่อเมื่อ $M = \infty$ แต่ในทางปฏิบัติเป็นไปได้ยาก จึงมีการ ตัดปลาย (truncate) อนุกรมฟูรีเยอร์ให้เหลือเท่าที่จำเป็น และจัดให้

$$C_k = h_d(k) \quad (4.3.6)$$

โดยที่ $k = -M, \dots, 0, \dots, M$ ส่วนความยาวของตัวกรอง $N = (2M + 1)$ ซึ่ง $M = (n-1)/2$

จากผลตอบสนองแอมพลิจูดจะพบว่า ถ้า M หรือ N มีค่ามากมีผลทำให้

- 1) ผลตอบสนองแอมพลิจูดใกล้เคียงผลตอบสนองอุดมคติมากขึ้น
- 2) จำนวน ลูกคลื่น (ripple) มากขึ้น โดยที่คาบของลูกคลื่นลดลง
- 3) ผลตอบสนองแอมพลิจูดมีความคมมากขึ้น หรือ บริเวณความถี่ที่ผลตอบสนองเปลี่ยนจากค่าหนึ่งไปเป็นค่าใกล้เคียงศูนย์ หรือเรียก แถบเปลี่ยนสถานะ (transition Band) แคบลง

โดยทั่วไปในการออกแบบตัวกรองไม่ป้อนกลับเชิงเลขเราต้องการ ลดจำนวนลูกคลื่นให้น้อยที่สุด และให้มีช่วงแถบเปลี่ยนค่ากว้างขึ้น ดังนั้นในการออกแบบจึงจำเป็นต้องเลือกอย่างใดอย่างหนึ่ง สำหรับการออกแบบตัวกรองไม่ป้อนกลับเชิงเลขโดยวิธีเขียนอนุกรมฟูรีเยอร์ อาจสรุปขั้นตอนได้ดังนี้

- 1) กำหนดผลตอบสนองอุดมคติที่ต้องการโดยกำหนดความถี่ตัด
- 2) ทำการอินทิเกรตผลตอบสนองอุดมคติเพื่อหา ลำดับผลตอบสนองอิมพัลส์ $h_d(k)$
- 3) เลือกให้สัมประสิทธิ์ $C_k = h_d(k)$

4.4 การออกแบบโดยใช้วินโดว์ (Window methods)

จากขั้นตอนการออกแบบที่ต้องทำการตัดปลายอนุกรมฟูรีเยอร์ เพื่อให้ได้ความยาวตามต้องการนั้น เปรียบเสมือนกับที่เราทำการเจาะช่องคล้ายเป็น หน้าต่าง (window) ที่มีรูปร่างต่างๆ และเมื่ออนุกรมฟูรีเยอร์จำนวนอนันต์พจน์ผ่านหน้าต่างนี้ออกไป อนุกรมนี้จะถูกถ่วงน้ำหนัก หรือถูกตัดปลายตามต้องการ

เริ่มจาก ถ้าให้ $H_d(w)$ แทนผลตอบสนองความถี่อุดมคติ และผลตอบสนองนี้ สามารถเขียนแทนด้วยอนุกรมฟูรีเยอร์ยาวอนันต์พจน์ได้คือ

$$H_d(w) = \sum_{n=-\infty}^{\infty} h_d(n) e^{-jnwT} \quad (4.4.1)$$

โดยที่

$$h_d(n) = (1/2\pi) \int_{-\pi}^{\pi} H_d(w) e^{jnwT} dw \quad (4.4.2a)$$

หรือ

$$h_d(n) = (1/w_s) \int_{-w_s/2}^{w_s/2} H_d(w) e^{jnwT} dw \quad (4.4.2b)$$

โดยที่ w_s เป็นค่าความถี่ในการสุ่มตัวอย่าง ตามที่ทราบกันแล้วว่าการนำสมการ (4.4.1) และ (4.4.2) ไปใช้ในการออกแบบตัวกรองไม่ป้อนกลับเชิงเลขที่ผ่านทำให้เกิดปัญหา 2 ประการคือ ประการแรกต้องทำการตัดปลายอนุกรม (4.4.1) ให้เป็นอนุกรมจำนวนพจน์จำกัด หรือ

$$H_d(w) = \sum_{n=-(N-1)/2}^{(N-1)/2} h_d(n) e^{-jnwT} \quad (4.4.3)$$

ซึ่งผลลัพธ์ก็คือ ทำให้เกิดลูกคลื่นบนผลตอบสนองแอมพลิจูด ประการที่สองก็คือ เมื่อตัดปลายอนุกรมแล้วอนุกรม (4.4.3) จะยังนำไปสร้างใช้งานไม่ได้ เพราะว่าผลตอบสนองอิมพัลส์เริ่มจากลำดับที่ $n=-(n-1)/2$ ซึ่งสำหรับระบบเวลาจริงไม่สามารถสร้างลำดับที่เวลาเป็นลบได้ ข้อนี้แก้ไขได้โดยการเลื่อนหรือหมุนงผลตอบสนองอิมพัลส์ออกไปโดยให้เริ่มจากค่า $n = 0$ หรือ

$$H(w) = \sum_{n=0}^{N-1} h(n) e^{-jnwT} \quad (4.4.4)$$

ซึ่งการทำแบบนี้มีผลก็คือทำให้ตัวกรองมีผลตอบสนองเฟสเป็นเชิงเส้น

สังเกตจากสมการ (4.4.4) เห็นได้ว่าการที่เราตัดปลายอนุกรมฟูรีเยอร์ก็คือ การที่เราทำการเลือกให้

$$\begin{aligned} h(n) &= h_d(n) \quad \text{เมื่อ } 0 < n < N-1 \\ &= 0 \quad \text{เมื่อ } n \text{ เป็นค่าอื่น} \end{aligned} \quad (4.4.5)$$

ซึ่งสมการนี้ ถ้าหากเขียนให้อยู่ในรูปของสมการทั่วไปก็คือ การนำเอาลำดับ $h_d(n)$ มาคูณกับลำดับจำกัด $w(n)$ หรือ

$$h(n) = h_d(n) \cdot w(n) \quad (4.4.6)$$

โดยที่ $w(n)$ แทนลำดับของวินโดว์แบบต่างๆ สำหรับในกรณี (4.4.5) นั้น วินโดว์เป็นวินโดว์สี่เหลี่ยม ซึ่งลำดับ $w(n)$ มีคุณสมบัตินิยามได้เป็น

$$\begin{aligned} w_R(n) &= 1 \quad \text{สำหรับ } 0 < n < (N-1)/2 \\ &= 0 \quad \text{สำหรับ } n \text{ กรณีอื่น} \end{aligned} \quad (4.4.7)$$

แต่สำหรับโครงงานนี้ ไม่ได้ออกแบบโดยใช้วินโดว์สี่เหลี่ยม จึงไม่ขอกล่าวถึงการใช้งานวินโดว์ชนิดนี้

4.5 ไคเซอร์วินโดว์ (Kaiser window)

4.5.1 คุณสมบัติของไคเซอร์วินโดว์

การออกแบบวงจรมุ่งย้อนกลับเชิงเลขจะสรุปขั้นตอนได้คือ ตอนแรกตั้งเป้าหมายผลตอบสนองความถี่ที่ต้องการไว้ จากนั้นทำการหาผลตอบสนองอิมพัลส์หรือกล่าวอีกนัยหนึ่งคือ หาอนุกรมฟูรีเยอร์ของผลตอบสนองความถี่นี้ ตัดปลายอนุกรมให้ได้จำนวนพจน์เป็น N ที่ต้องการ นำลำดับฟูรีเยอร์ที่ถูกต้องปลายมาคูณค่าพจน์ต่อพจน์กับลำดับของวินโดว์ และถ้าหากต้องการให้ตัวกรองมีผลตอบสนองเฟสเชิงเส้นด้วย ก็ต้องทำการเลื่อนหรือหน่วงลำดับออกไป $(N-1)/2$ ลำดับ ผลลัพธ์ที่ได้คือ ค่าสัมประสิทธิ์ของตัวกรองไม่ย้อนกลับเชิงเลข อย่างไรก็ตามการออกแบบโดยใช้คุณสมบัติของวินโดว์มีข้อนำสังเกต 2 ประการคือ ประการแรก ความกว้างของโหลบลึกของวินโดว์ แปรตามค่า $1/N$ นั้นหมายถึงว่า ถ้า

ต้องการออกแบบตัวกรองให้มีแถบเปลี่ยนค่าแคบ ก็ต้องใช้ N ค่ามาก ประการที่สอง ค่าขนาดของโพลข้างที่เป็นส่วนที่ข้างที่ทำให้เกิดลูกคลื่นบนผลตอบสนองความถี่ไม่ได้แปรตาม N แต่ขึ้นอยู่กับชนิดของวินโดว์ที่ใช้ ดังนั้นการออกแบบตัวกรองให้มี ค่าลดทอนในแถบหยุดน้อยที่สุด (minimum stopband attenuation) ตามต้องการ อาจทำได้โดยต้องเลือกชนิดของวินโดว์ให้เหมาะสม

ด้วยข้อด้อยดังกล่าว ไคเซอร์ (J.F. Kaiser) จึงได้ทำการค้นคว้าหาวินโดว์ใหม่ที่มีคุณสมบัติดีขึ้น ให้มีคุณสมบัติปรับค่าได้ และการออกแบบสามารถทำได้เป็นระบบมากขึ้น ไคเซอร์ใช้ ฟังก์ชันทรงคล้ายทรงกลมแบนข้าง (prolate spheroidal function) มาทำการประมาณค่า ผลที่ได้คือได้วินโดว์ที่มีคุณสมบัติแลกเปลี่ยน (trade-off) ระหว่างค่าขนาดของโพลหลักกับค่าขนาดของโพลข้าง โดยที่มีพารามิเตอร์ เป็นตัวควบคุมค่าเพื่อปรับค่าขนาดโพลข้างเมื่อเทียบกับค่าขนาดของโพลหลักได้ ส่วนความกว้างของโพลหลักก็เหมือนกับวินโดว์อื่นๆ คือปรับค่าได้โดยการเลือก N วินโดว์แบบไคเซอร์นี้อาจเรียกได้ว่ามีคุณสมบัติ เกือบเหมาะสมที่สุด (nearly optimum window) อย่างไรก็ตาม ฟังก์ชันทรงคล้ายคลึงทรงกลมแบนข้าง เป็นฟังก์ชันที่ไม่เป็นที่รู้จักกันทั่วไป อีกทั้งการคำนวณทำได้ยาก ไคเซอร์จึงได้พัฒนาขั้นตอนการออกแบบโดยใช้วินโดว์ขึ้นมา ซึ่งจะได้กล่าวต่อไป

ลำดับของไคเซอร์วินโดว์ ที่อยู่ในรูปของฟังก์ชันคล้ายทรงกลมแบนข้างคือ

$$w_k(nT) = I_0(\beta) / I_0(\alpha) \quad \text{เมื่อ } n < N-1/2 \quad (4.5.1)$$

$$= 0 \quad \text{กรณี } n \text{ ค่าอื่น}$$

โดยที่ β เป็นพารามิเตอร์อิสระที่สัมพันธ์กับพารามิเตอร์ α โดย

$$\beta = \alpha \cdot \sqrt{1 - (2n/(N-1))^2} \quad (4.5.2)$$

และ $I_0(x)$ เป็น เบสเซลฟังก์ชันชนิดที่หนึ่งอันดับศูนย์ (zero th - order Bessel function of the first kind) ที่สามารถคำนวณได้โดยใช้อนุกรมกำลังคือ

$$I_0(x) = 1 + \left\{ \frac{1}{k!} \left(\frac{x}{2} \right)^k \right\}^2 \quad (4.5.3a)$$

$$= 1 + \left\{ \left(\frac{x}{2} \right)^2 \right\} + \left\{ \left(\frac{x}{2} \right)^4 / (2!)^2 \right\} + \left\{ \left(\frac{x}{2} \right)^6 / (3!)^2 \right\} + \left\{ \left(\frac{x}{2} \right)^8 / (4!)^2 \right\} + \dots \quad (4.5.3b)$$

ในการประยุกต์ใช้งานทั่วไป สำหรับความละเอียดในการคำนวณตามสมการ (4.5.3b) อาจใช้จำนวนพจน์ระหว่าง 15 ถึง 25 พจน์ก็เพียงพอ

ต่อไปจะพบว่าพจน์ มีผลต่อการแปรคุณสมบัติของโคเซอร์วินโดว์อย่างไร พิจารณากรณี $\alpha = 0$ เห็นได้ว่า พจน์เศษและพจน์ส่วน ของสมการ (4.5.1) มีค่าเป็นหนึ่ง นั่นคือ $w_k(nT)$ ทำตัวเป็นวินโดว์สี่เหลี่ยม ถ้าหาก มีค่าเพิ่มขึ้นมาก โหลบลหลักของวินโดว์กว้างขึ้น ส่วนค่าขนาดของโหลบข้างมีค่าลดลง จากการพิจารณาอย่างคร่าวๆ นี้เห็นได้ว่า พจน์ สามารถใช้เป็นพารามิเตอร์ในการควบคุมคุณสมบัติของโคเซอร์วินโดว์ ให้มีอัตราลुकคลื่นน้อยลงได้

สเปกตรัมของโคเซอร์วินโดว์ หาได้โดย การประยุกต์ผลการแปลง-แซด กับสมการ (4.5.1) และให้ $Z = e^{j\omega T}$ ได้ผลว่า

$$W_k(e^{j\omega T}) = W_k(0) + 2 \sum_{n=1}^{(N-1)/2} w_k(nT) \cos n\omega T \quad (4.5.4)$$

ซึ่งสามารถแสดงได้ว่า

$$W_k(\omega) = \{2/I_0(\beta)\} \{\sin(\sqrt{\omega^2 - \omega_b^2}) / \sqrt{\omega^2 - \omega_b^2}\} \quad (4.5.5)$$

โดยที่ $\omega_b = \alpha/\tau$ และ $\beta = (N-1)T/2$ และ ω_b เป็นค่าที่กำหนดขึ้นมาเพื่อเป็นการแลกเปลี่ยนกันระหว่างความกว้างของโหลบลหลักกับค่าขนาดของโหลบข้าง

สมการ (4.5.5) สามารถนำไปหาค่าความกว้างของโหลบลหลัก โดยการหาตำแหน่งที่ให้

$W(j\omega) = 0$ ครั้งแรก แล้วคูณค่าด้วย 2 ได้ผลเป็น

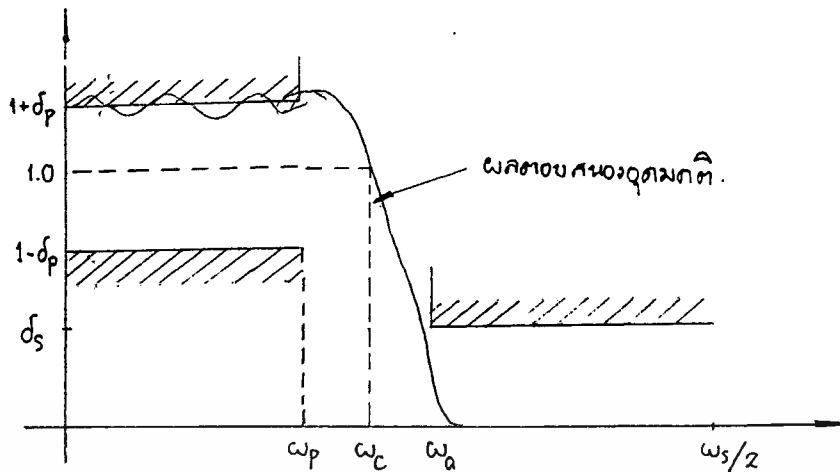
$$C_w = 2\omega_b \sqrt{1 + (\pi/\alpha)^2} \quad (4.5.6)$$

โดยที่ C_w คือค่า ความกว้างของโหลบลหลัก (center-lobe or main-lobe width) และจาก (4.4.6) ถ้าเราแก้สมการหาค่า $W(j\omega)$ ที่ตำแหน่งที่ค่าอนุพันธ์ของ $W(j\omega)$ เป็นศูนย์ครั้งแรก แล้วนำไปคิดเป็นเปอร์เซ็นต์กับค่า $W(0)$ ได้ค่าอัตราส่วนลुकคลื่นเป็น

$$RR = \frac{0.218 \alpha}{\sin h(\alpha)} \times 100\% \quad (4.5.7)$$

4.5.2 การออกแบบโดยใช้โคเซอร์วินโดว์

ตามรูป 4.5.1 เป็นการแสดงถึงข้อกำหนดในการออกแบบ วงจรกรองผ่านความถี่ต่ำ โดยทั่วไป พารามิเตอร์ ω_p และ ω_s เป็นตัวกำหนดคุณสมบัติของค่าขนาดของลुकคลื่นใน แถบผ่าน (pass



รูปที่ 4.5.1 ข้อกำหนดของผลตอบสนองความถี่ที่ต้องการออกแบบ

band) และในแถบหยุด (stopband) ตามลำดับ ถ้ากำหนดให้ A_p เป็นค่าขนาดของลูกคลื่นในแถบผ่าน A_s เป็นค่าลดทอนในแถบหยุดน้อยที่สุด และ B_c เป็นค่าความกว้างของแถบเปลี่ยนสถานะ เราสามารถเขียนความสัมพันธ์ได้ว่า

$$A_p = 20 \log \left\{ \frac{1 + \delta_p}{1 - \delta_p} \right\} \quad (4.5.8)$$

$$A_s = -20 \log \delta_s \quad (4.5.9)$$

และ $B_c = \omega_a - \omega_p \quad (4.5.10)$

ในการเขียนต่อไปนี ถ้าสมมติว่าให้ A_p' และ A_s' เป็นค่าขนาดของลูกคลื่นในแถบผ่าน และค่าลดทอนในแถบหยุดน้อยที่สุด ที่กำหนดมาจากผลตอบสนองรูป 4.5.1 และให้ A_p และ A_s เป็นค่าที่ได้จากการออกแบบ ดังนั้นขั้นตอนในการออกแบบตัวกรองโดยใช้โคเซอร์วินโคว์ เป็นดังนี้

1) หาผลตอบสนองอิมพัลส์ $h(n)$ โดยการประยุกต์ใช้อัลกอริทึมฟูริเยอร์กับผลตอบสนองอุดมคติคือ

$$\begin{aligned} H_d(\omega) &= 1 \quad \text{เมื่อ} \quad |\omega| < \omega_c \\ &= 0 \quad \text{เมื่อ} \quad \omega_c < |\omega| < \omega_s/2 \end{aligned}$$

โดยที่จากรูป 4.5.1

$$\omega_c = (1/2) (\omega_p + \omega_a) \quad (4.5.11)$$

2) เลือกพารามิเตอร์จากสมการ (4.5.8) และ (4.5.9) จนได้ค่าที่ทำให้

$$A_p < A_p' \quad ; \quad A_a > A_a' \quad (4.5.12)$$

และเลือก

$$\delta = \min(\delta_p, \delta_s) \quad (4.5.13)$$

การเลือก ตามสมการ (4.5.13) เนื่องจากกว่า การเลือกตามเงื่อนไขสมการ (4.5.8) และ (4.5.9) ทำให้เกิดข้อขัดแย้งคือได้ตัวกรองที่ทำให้ $\delta = \delta_p = \delta_s$ เสมอ

3) คำนวณหา A_a จากสมการ (4.5.9) โดยใช้ค่า δ จาก (4.5.13)

4) เลือกพารามิเตอร์ α ให้สอดคล้องกับสมการข้างล่างนี้

$$\alpha = \begin{cases} 0 & \text{เมื่อ } A_a < 21 \\ 0.5842(A_a - 21)^{0.4} + 0.07886(A_a - 21) & \text{เมื่อ } 21 < A_a < 50 \\ 0.1102(A_a - 8.7) & \text{เมื่อ } A_a > 50 \end{cases} \quad (4.5.14)$$

5) เลือกพารามิเตอร์ D ให้สอดคล้องกับ

$$D = \begin{cases} 0.9222 & \text{เมื่อ } A_a < 21 \\ (A_a - 7.95)/14.36 & \text{เมื่อ } A_a > 21 \end{cases} \quad (4.5.15)$$

6) คำนวณหาค่า N ที่เป็นเลขคี่ที่ต่ำสุดที่ทำให้ได้เงื่อนไข

$$N \geq (w_s \cdot D / B_c) + 1 \quad (4.5.16)$$

7) คำนวณหา $w_k(nI)$ จากสมการ (4.5.1) และตัดแปลงผลตอบสนองอิมพัลส์ตามสมการ (4.4.5) และ (4.4.6) ได้เป็น

$$h(n) = h_d(n) \cdot w_k(n) \quad \text{สำหรับ } n \leq (N-1)/2 \quad (4.5.17)$$

8) พังก์ชันถ่ายโอนของตัวกรองเขียนได้เป็น

$$H(z) = z^{-(N-1)/2} \left\{ h(0) + 2 \sum_{n=0}^{(N-1)/2} h(n) (z^n + z^{-n}) \right\} \quad (4.5.18)$$

โดยที่ $h(0) = h_d(0) \cdot w_k(0)$ (4.5.19)

$$h(n) = h_d(n) \cdot w_k(n)$$

และผลตอบสนองแอมพลิจูดของวงจรรองหาได้จาก

$$H(w) = h(0) + 2 \sum_{n=1}^{(N-1)/2} h(n) \cos 2n \pi fT \quad (4.5.20)$$

ตัวอย่าง การออกแบบวงจรรองผ่านความถี่ต่ำ

ถ้ากำหนดให้ ค่าขนาดของลูกคลื่นในแถบความถี่ผ่าน $A_p < 0.1$ dB ในช่วงความถี่ 1 ถึง 1.5 เรเดียนต่อวินาที และกำหนดให้ ค่าลดทอนน้อยสุดในแถบหยุด $A_s > 40$ dB ในช่วงความถี่ 2.5 ถึง 5.0 เรเดียนต่อวินาที โดยที่ให้ค่าความถี่ในการสุ่มตัวอย่างสัญญาณเป็น 10 ต่อวินาที

วิธีทำ การคำนวณทำตามลำดับดังนี้

ขั้นตอนที่ 1 ได้ $h(nT) = (1/n) \sin w_c nT$

โดยที่ จาก (4.5.11) ให้ค่า $w_c = (1.5+2.5)/2 = 2.0$ เรเดียนต่อวินาที

ขั้นตอนที่ 2 สมการ (4.5.8) ให้ $\delta_1 = \left\{ (10^{0.05(0.1)} - 1) / (10^{0.05(0.1)} + 1) \right\}$
 $= 5.7564 \times 10^{-3}$

สมการ (4.5.9) ให้ $\delta_2 = 10^{-0.05(40)} = 0.01$

สมการ (4.5.13) เลือก $\delta = \min(\delta_1, \delta_2) = 5.7564 \times 10^{-3}$

ขั้นตอนที่ 3 ถึง 6 ได้ $A_s = 44.979$ dB

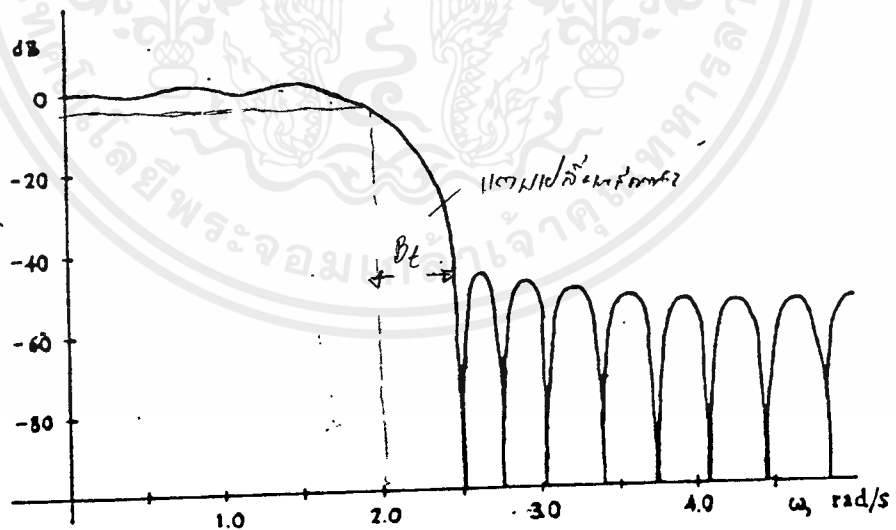
ขั้นตอนที่ 4 และ 5 ให้ $\alpha = 3.9524$; $D = 2.566$

และ $N > \{10(2.566)/1\} + 1 = 26.66 = 27$

ขั้นตอนที่ 6 และ 7 ได้สัมประสิทธิ์ของตัวกรอง ซึ่งขอเขียนเฉพาะ 8 ตัวแรก ดังนี้

n	$h(nT)$	$w_k(nT)h(nT)$
0	4×10^{-1}	4×10^{-1}
1	3.02731×10^{-1}	2.99692×10^{-1}
2	9.35489×10^{-2}	8.98359×10^{-2}
3	-6.2366×10^{-2}	-5.69018×10^{-2}
4	-7.56827×10^{-2}	-6.42052×10^{-2}
5	0	0
6	5.04551×10^{-2}	3.45003×10^{-2}
7	2.67283×10^{-2}	1.57769×10^{-2}

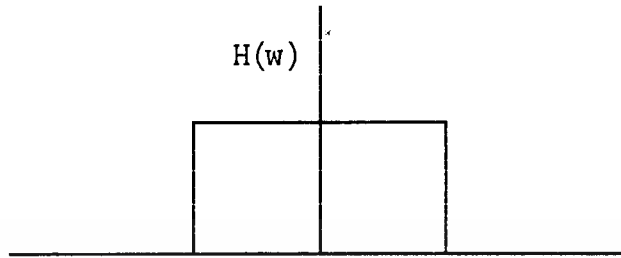
และผลตอบสนองความถี่เป็นดังรูป 4.5.2



รูป 4.5.2 ผลตอบสนองแอมพลิจูด

4.6 การหาสมการสำเร็จสำหรับการเขียนโปรแกรม

เนื่องจากการออกแบบตัวกรอง เราจะทำในลักษณะของความถี่ออร์มอลิสซ์ กล่าวคือ ให้ความถี่ส้อมีค่าเป็น $2/\pi$ และเหตุผลที่ความถี่ที่ถูกประมวลผลจะต้องมีค่าไม่เกินครึ่งหนึ่งของความถี่ส้อม ดังนั้น ช่วงความถี่ที่ใช้ในการออกแบบของเราจึงอยู่ในช่วง $-\omega_c$ ถึง $+\omega_c$ ดังแสดงในรูปข้างล่างนี้



ดังนั้นในการสร้าง Lowpass filter prototype เราจึงหาได้จากการใช้การแปลงอินเวอร์สฟูรีเยอร์ ของรูปผลตอบสนองความถี่ข้างบน ดังต่อไปนี้

$$h(n) = 1/2\pi \int_{-\omega_c}^{\omega_c} H(\omega) e^{j\omega n} d\omega \quad ; \{ H(\omega) = 1, -\omega_c < \omega < \omega_c \}$$

ดังนั้น

$$\begin{aligned} h(n) &= 1/2\pi \int_{-\omega_c}^{\omega_c} e^{j\omega n} d\omega \\ &= 1/2\pi \cdot 1/jn \left[e^{j\omega n} \right]_{-\omega_c}^{\omega_c} \\ &= 1/2\pi \cdot 1/jn [e^{j\omega_c n} - e^{-j\omega_c n}] \\ &= 1/2\pi \cdot 1/jn [2j \sin \omega_c n] \\ h(n) &= 1/\pi n \cdot \sin \omega_c n \\ h(0) &= \left[\int_{-\omega_c}^{\omega_c} \sin \omega_c n \right] / \left[\int_{-\omega_c}^{\omega_c} dn \right] \\ &= (\omega_c \cos \omega_c n) / \pi \end{aligned}$$

$$h(0) = (w_c \cos 0) / \pi$$

ดังนั้น $h(0) = w_0 / \pi$

$$h(n) = (\sin w_c n) / \pi n$$

สูตรสำเร็จที่ได้นี้จะใช้ในการหาผลตอบสนองอิมพัลส์ของโปรแกรม โดยที่เราสามารถแปรค่าของ w_c ได้ตามต้องการ สำหรับตัวกรองชนิดอื่น ก็มีวิธีการทำได้จากการดัดแปลงผลตอบสนองอิมพัลส์ของตัวกรองผ่านความถี่ต่ำ ดังสูตรต่อไปนี้

ตัวกรองผ่านความถี่สูง (High Pass Filter)

$$h(n)_{HP} = (-1)^n h(n) \quad \text{เมื่อ } n = \dots, -2, -1, 0, 1, 2, \dots$$

ตัวกรองผ่านแถบความถี่ (Band Pass Filter)

$$h(n)_{BP} = (2 \cos n w_0 T) h(n)_{LP} \quad \text{เมื่อ } n = \dots, -2, -1, 0, 1, 2, \dots$$

ตัวกรองก้ำจืดแถบความถี่ (Band Stop Filter)

$$h(0)_{BS} = 1 - h(0)_{BP}$$

$$h(n)_{BS} = -h(n)_{BP} \quad \text{เมื่อ } n = \dots, -2, -1, 1, 2, \dots$$

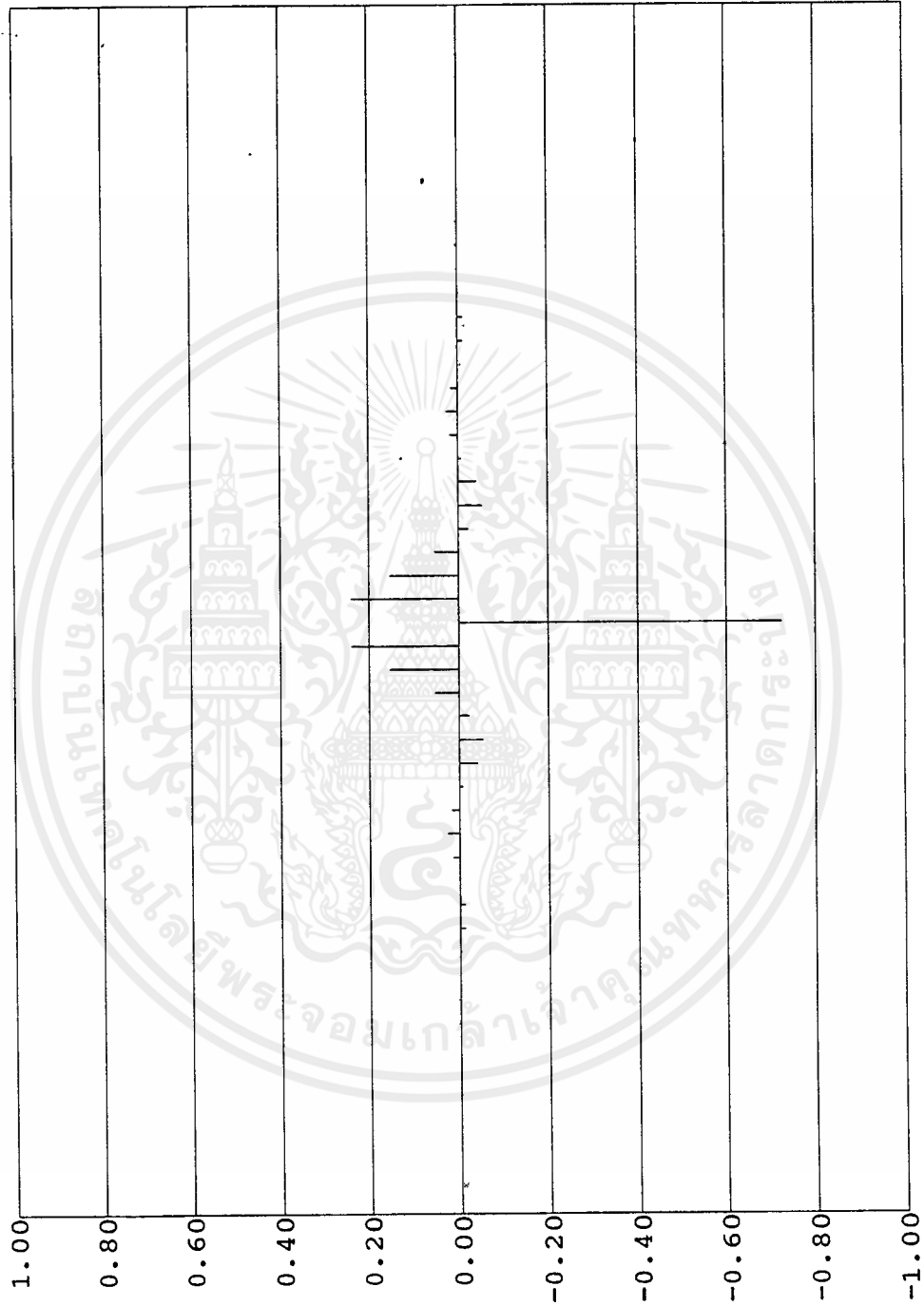
บทที่ 5 บันทึกผลการทดลอง

กราฟต่อไปนี้ แสดงคุณสมบัติต่างๆ ที่ได้จากการออกแบบตัวกรองชนิดต่างๆ โดยมีคุณสมบัติดังต่อไปนี้

1. ชนิดของตัวกรอง (Type of Filter)
2. ชนิดของวินโดว์ (Window)
3. ความถี่สุ่ม (Sampling Frequency)
4. จำนวนความยาวของผลตอบสนองอิมพัลส์ (Length)



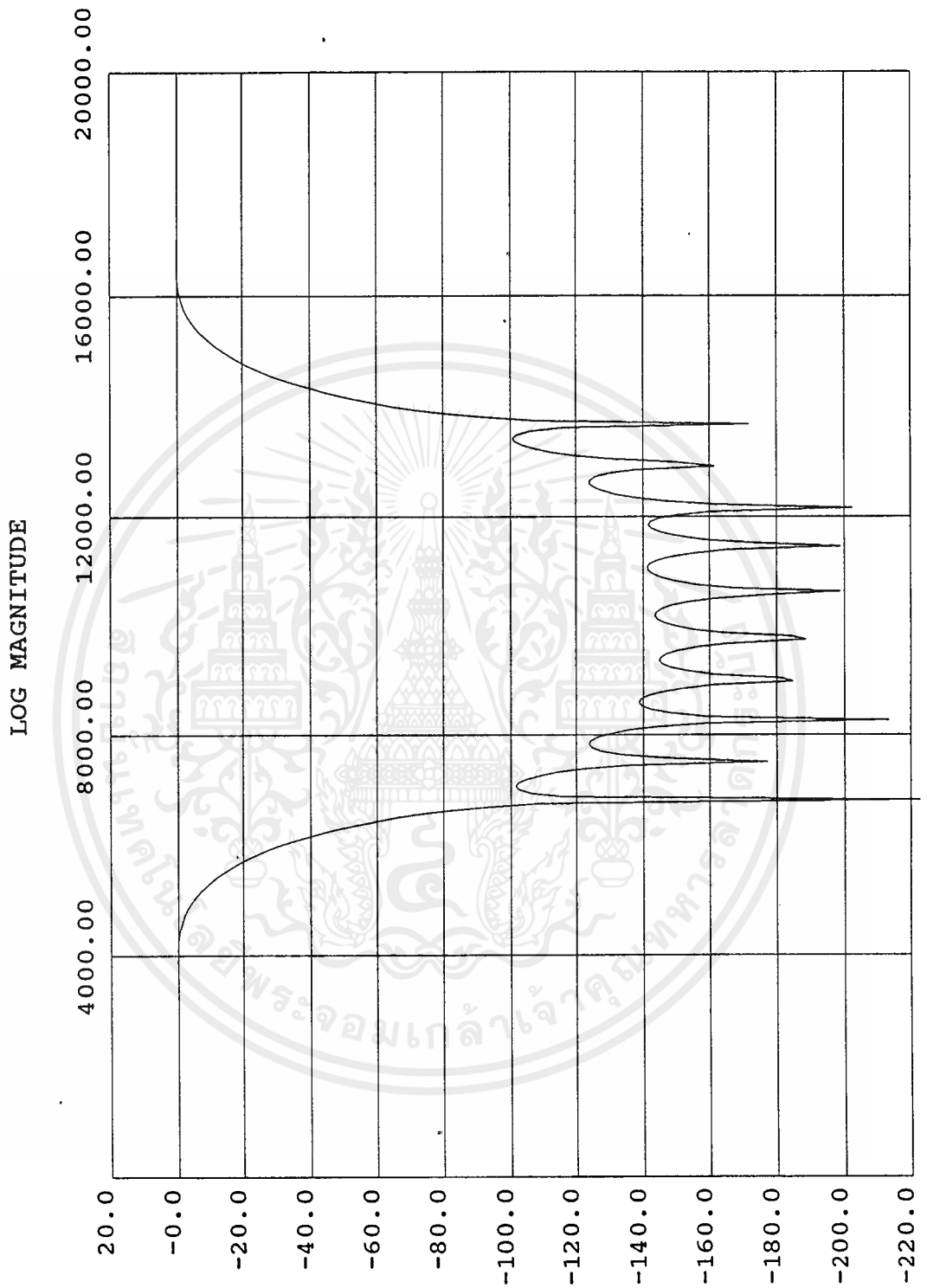
IMPULSE RESPONSE



Window : Hamming
Length : 51 points

Type of Filter : High Pass Filter
Sampling Frequency : 40 KHz

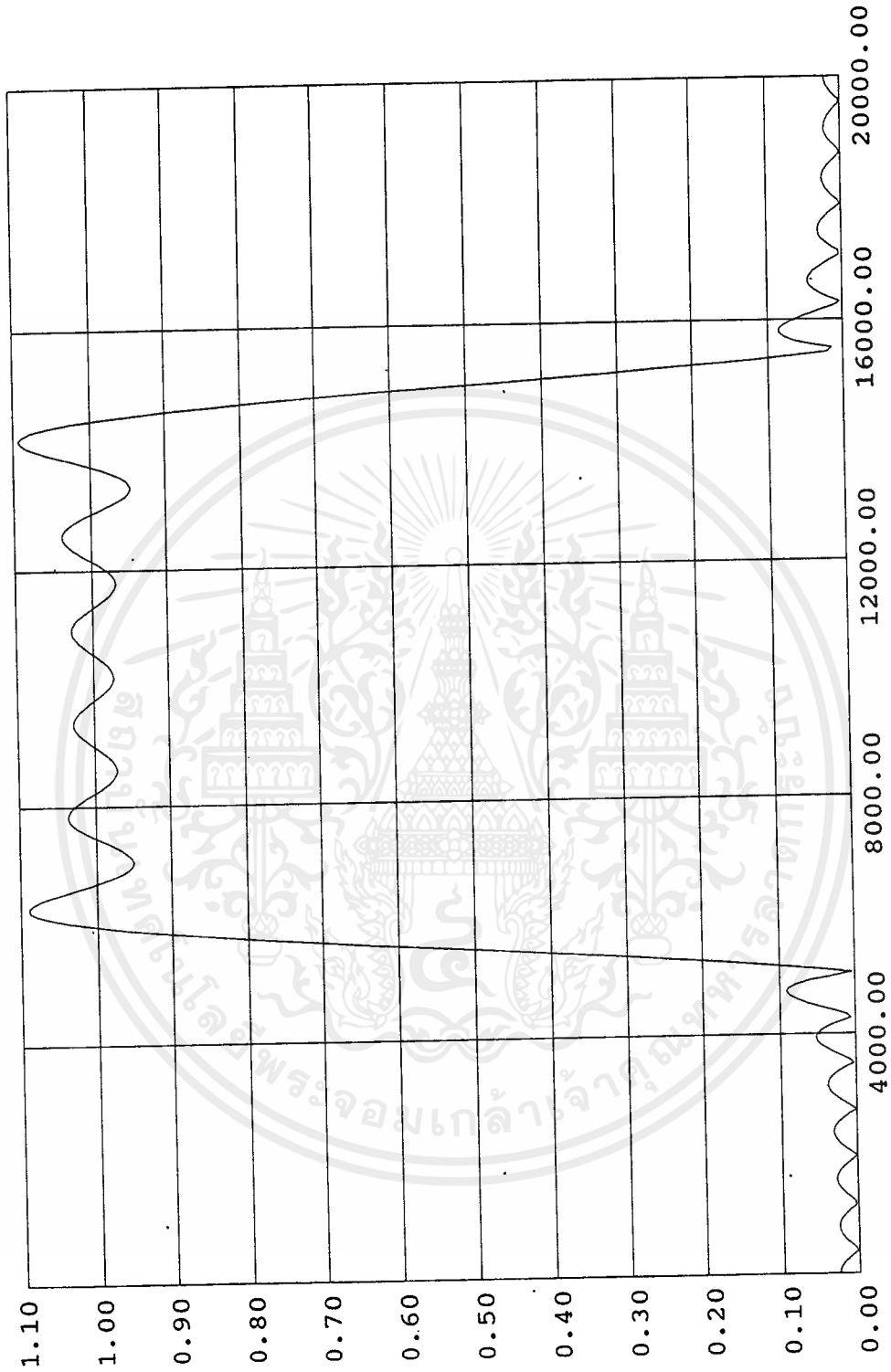
เอกสารนี้เป็นเอกสารที่สงวนไว้สำหรับการใช้งานเพื่อการศึกษาเท่านั้น ไม่อนุญาตให้นำไปใช้ประโยชน์ด้านการค้า
ไม่ว่ากรณีใดๆ ทั้งสิ้น อีกทั้งห้ามมิให้ตัดแปลงเนื้อหาและต้องอ้างอิงถึงเจ้าของเอกสารทุกครั้งที่มีการนำไปใช้



Type of Filter : Band Rejection Filter Window : Hann
 Sampling Frequency : 40 KHz Length : 51 points

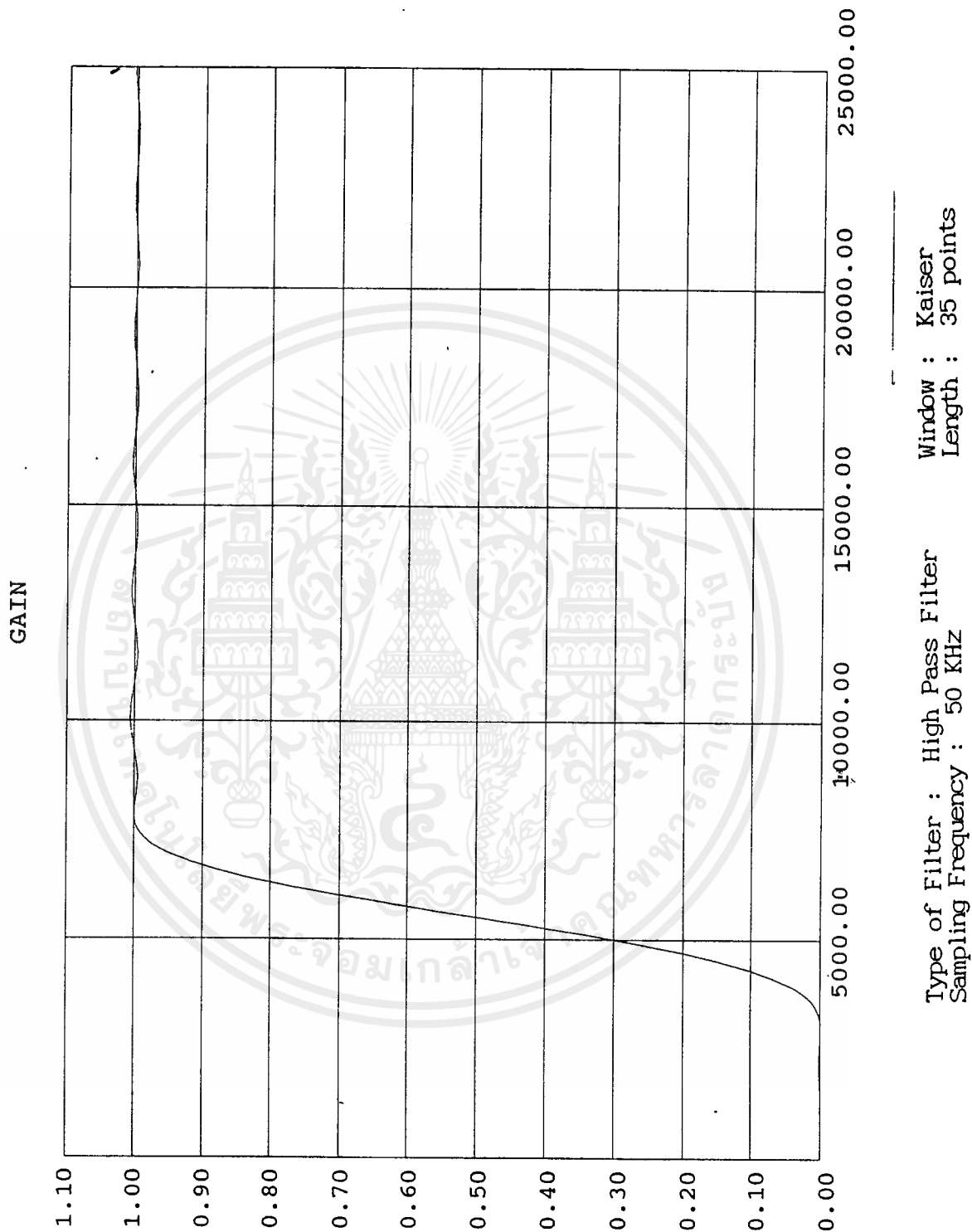
เอกสารนี้เป็นเอกสารที่สงวนไว้สำหรับการใช้งานเพื่อการศึกษาเท่านั้น ไม่อนุญาตให้นำไปใช้ประโยชน์ด้านการค้า
 ไม่ว่ากรณีใดๆ ทั้งสิ้น อีกทั้งห้ามมิให้ดัดแปลงเนื้อหาและต้องอ้างอิงถึงเจ้าของเอกสารทุกครั้งที่มีการนำไปใช้

GAIN



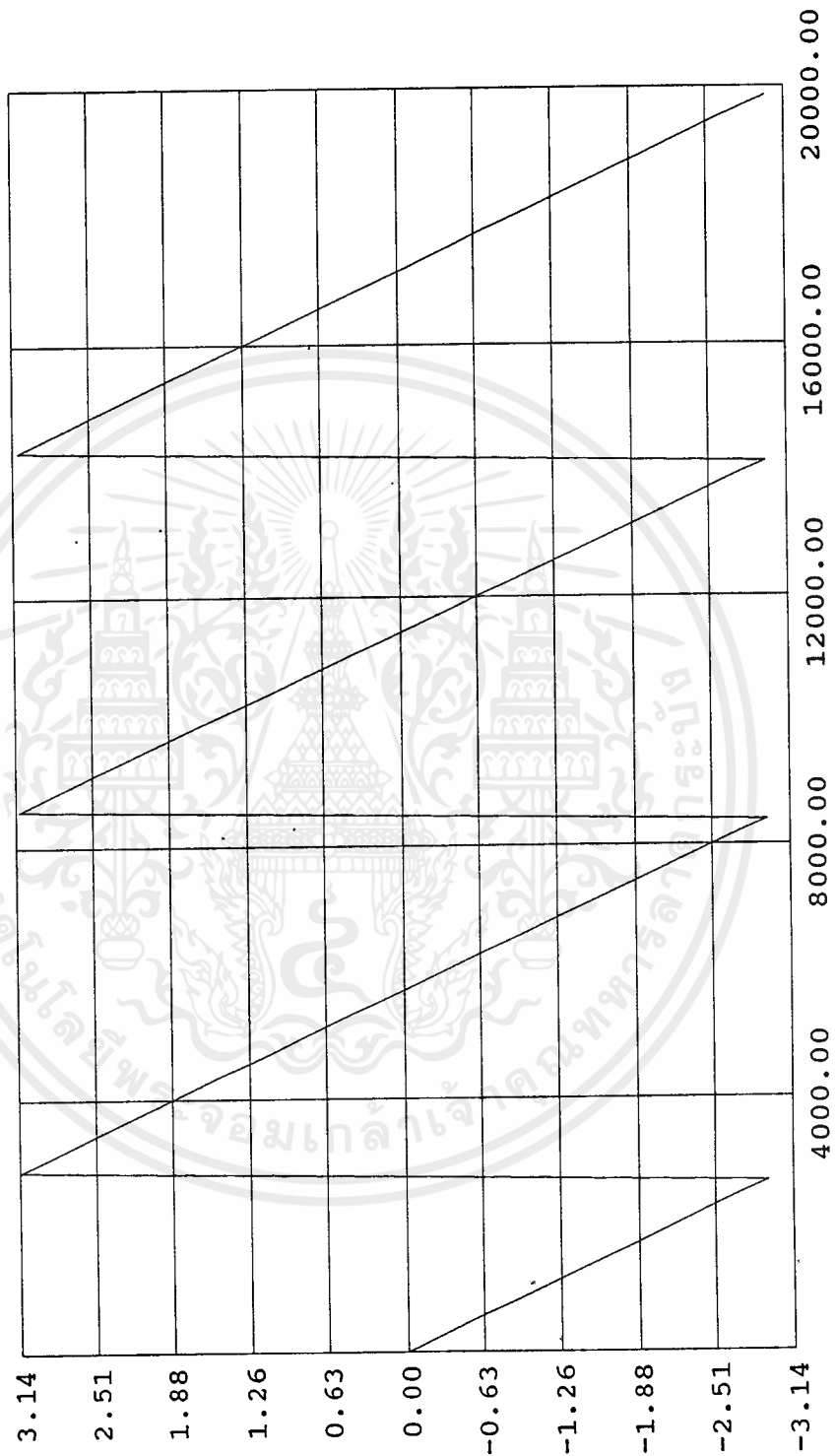
Type of Filter : Band Pass Filter
Sampling Frequency: 40 KHZ
Window : Rectangular
Length : 51 points

เอกสารนี้เป็นเอกสารที่สงวนไว้สำหรับการใช้งานเพื่อการศึกษาเท่านั้น ไม่อนุญาตให้นำไปใช้ประโยชน์ด้านการค้า
ไม่ว่ากรณีใดๆ ทั้งสิ้น อีกทั้งห้ามมิให้ดัดแปลงเนื้อหาและต้องอ้างอิงถึงเจ้าของเอกสารทุกครั้งที่มีการนำไปใช้



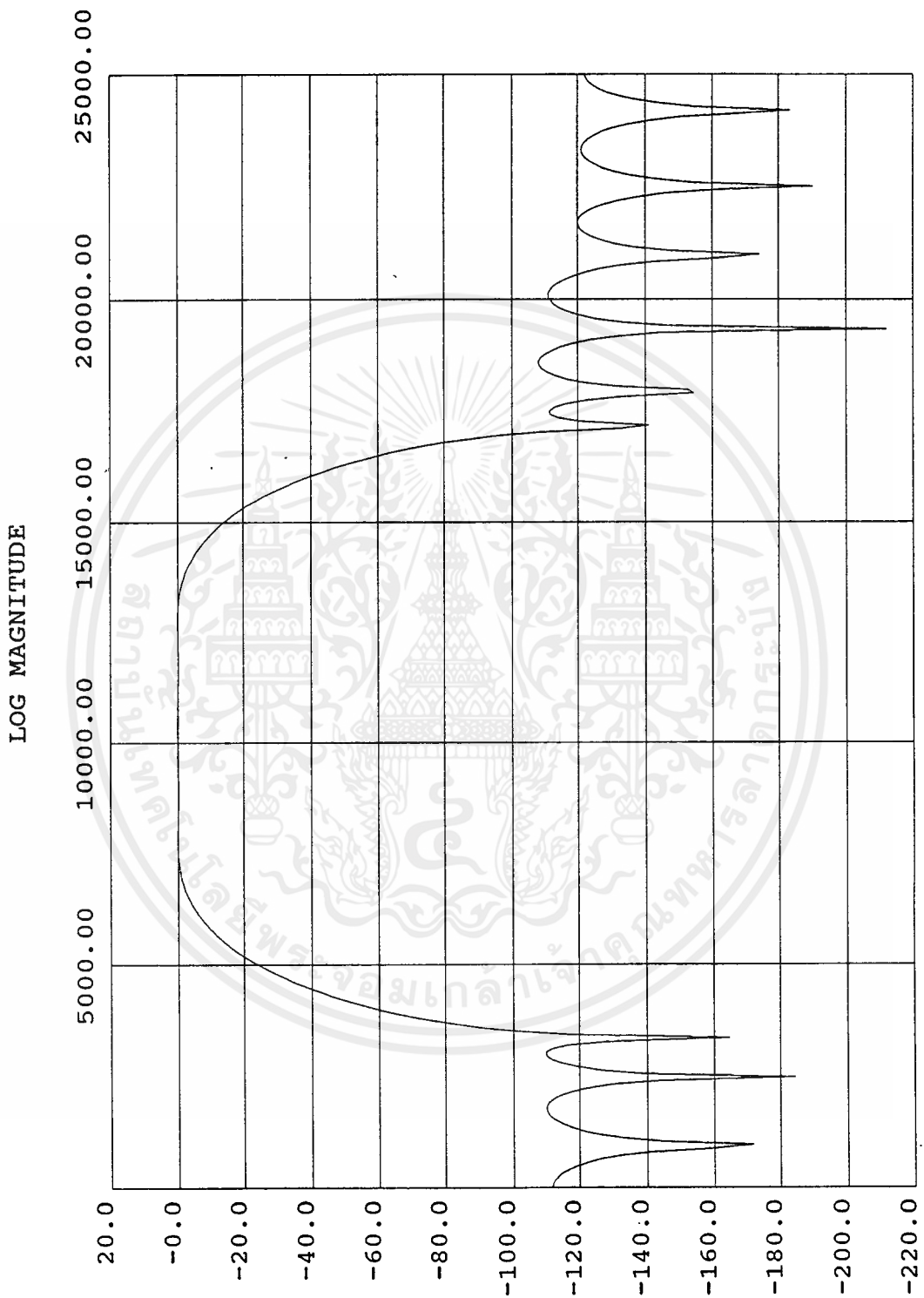
เอกสารนี้เป็นเอกสารที่สงวนไว้สำหรับการใช้งานเพื่อการศึกษาเท่านั้น ไม่อนุญาตให้นำไปใช้ประโยชน์ด้านการค้า
 ไม่ว่ากรณีใดๆ ทั้งสิ้น อีกทั้งห้ามมิให้ตัดแปลงเนื้อหาและต้องอ้างอิงถึงเจ้าของเอกสารทุกครั้งที่มีการนำไปใช้

PHASE RESPOND



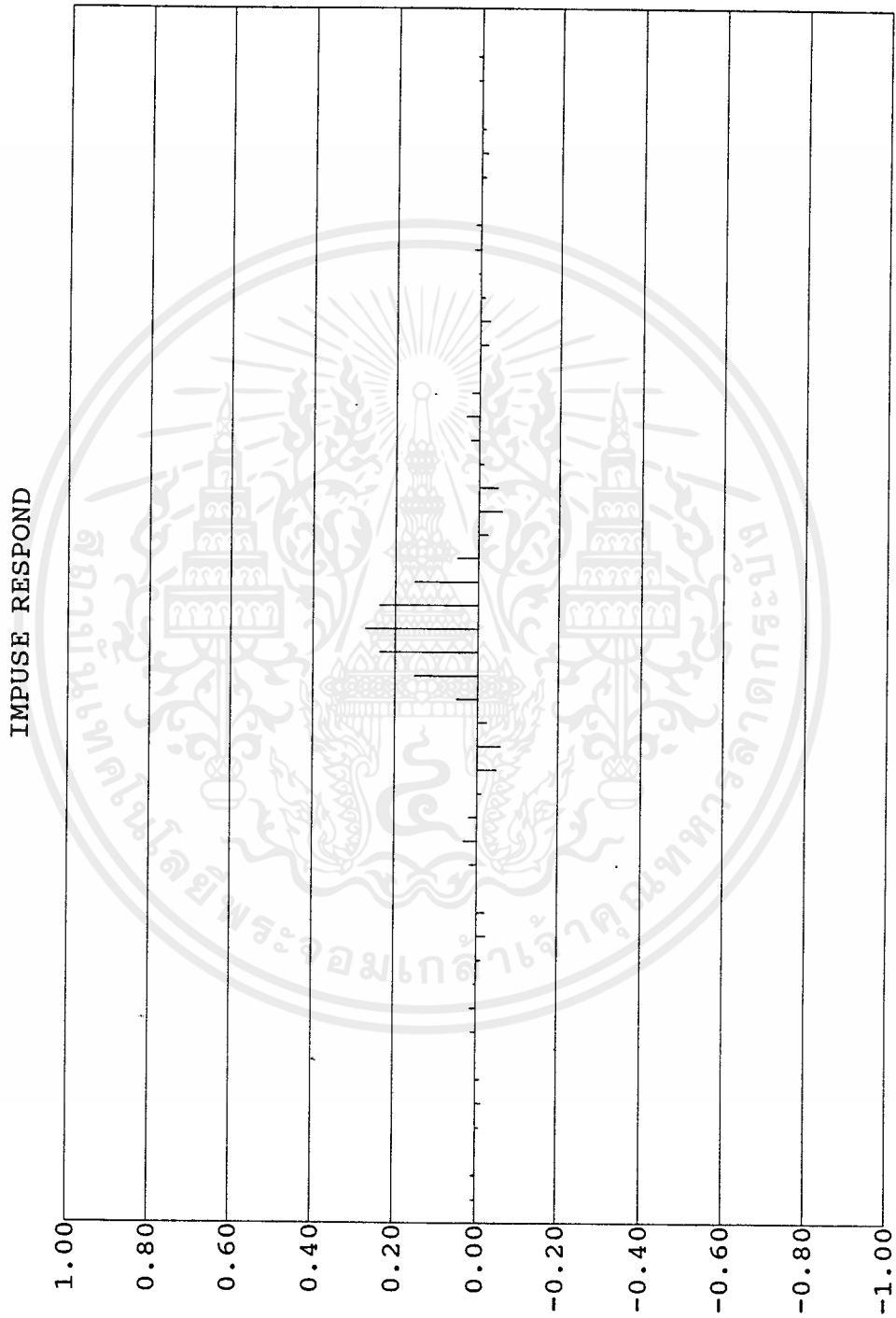
Type of Filter : Band Pass Filter
 Sampling Frequency : 40 KHZ
 Window : Kaiser
 Length : 15 points

เอกสารนี้เป็นเอกสารที่สงวนไว้สำหรับการใช้งานเพื่อการศึกษาเท่านั้น ไม่อนุญาตให้นำไปใช้ประโยชน์ด้านการค้า
 ไม่ว่ากรณีใดๆ ทั้งสิ้น อีกทั้งห้ามมิให้ดัดแปลงเนื้อหาและต้องอ้างอิงถึงเจ้าของเอกสารทุกครั้งที่มีการนำไปใช้



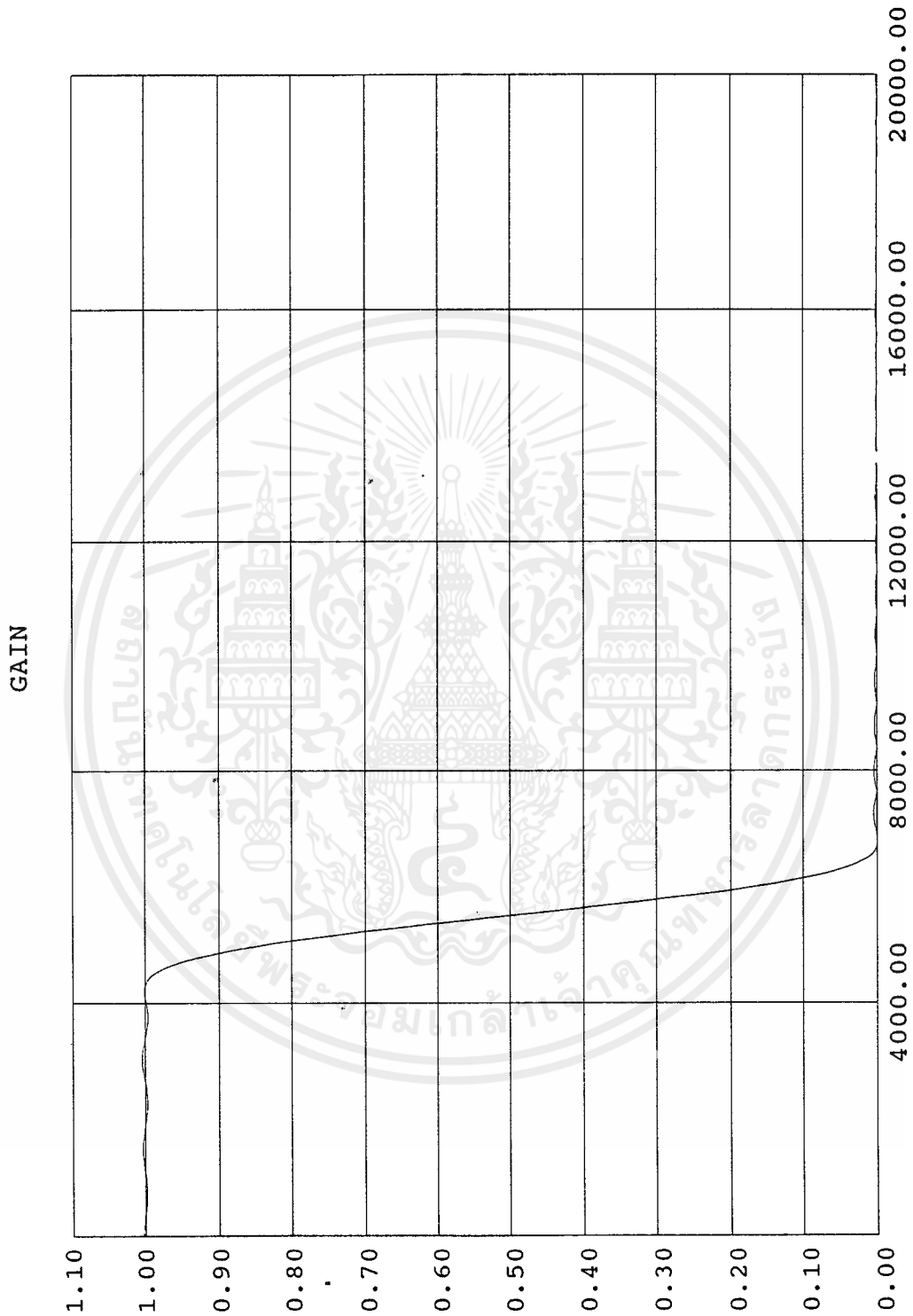
Type of Filter : Band Pass Filter
 Sampling Frequency : 50 KHz
 Window : Kaiser
 Length : 35 points

เอกสารนี้เป็นเอกสารที่สงวนไว้สำหรับการใช้งานเพื่อการศึกษาเท่านั้น ไม่อนุญาตให้นำไปใช้ประโยชน์ด้านการค้า
 ไม่ว่ากรณีใดๆ ทั้งสิ้น อีกทั้งห้ามมิให้ดัดแปลงเนื้อหาและต้องอ้างอิงถึงเจ้าของเอกสารทุกครั้งที่มีการนำไปใช้



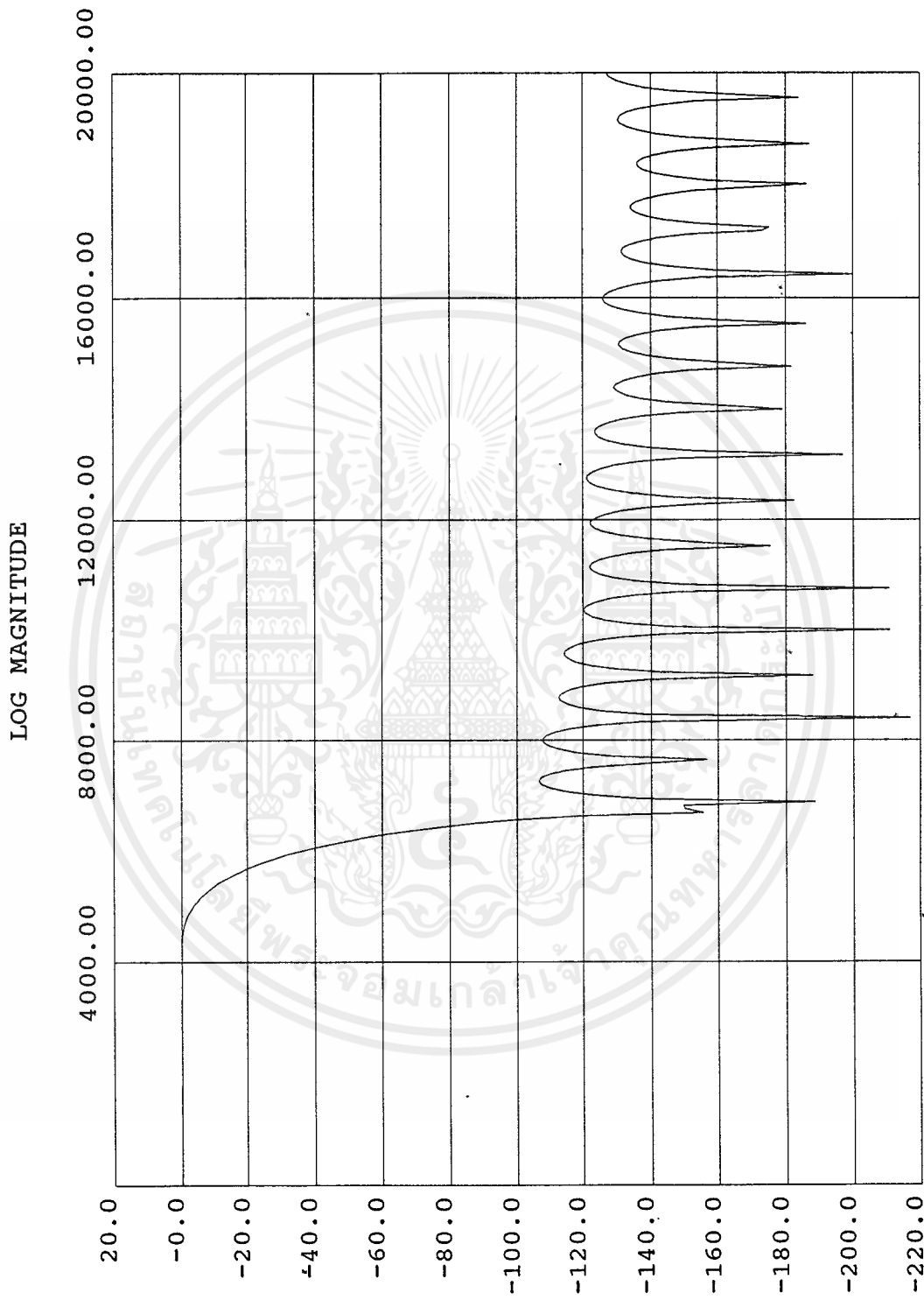
Window : Rectangular
Length : 51 points

Type of Filter : Low Pass Filter
Sampling Frequency : 40 KHz



Type of Filter : Low Pass Filter
 Sampling Frequency : 40 KHz
 Window : Kaiser
 Length : 51 points

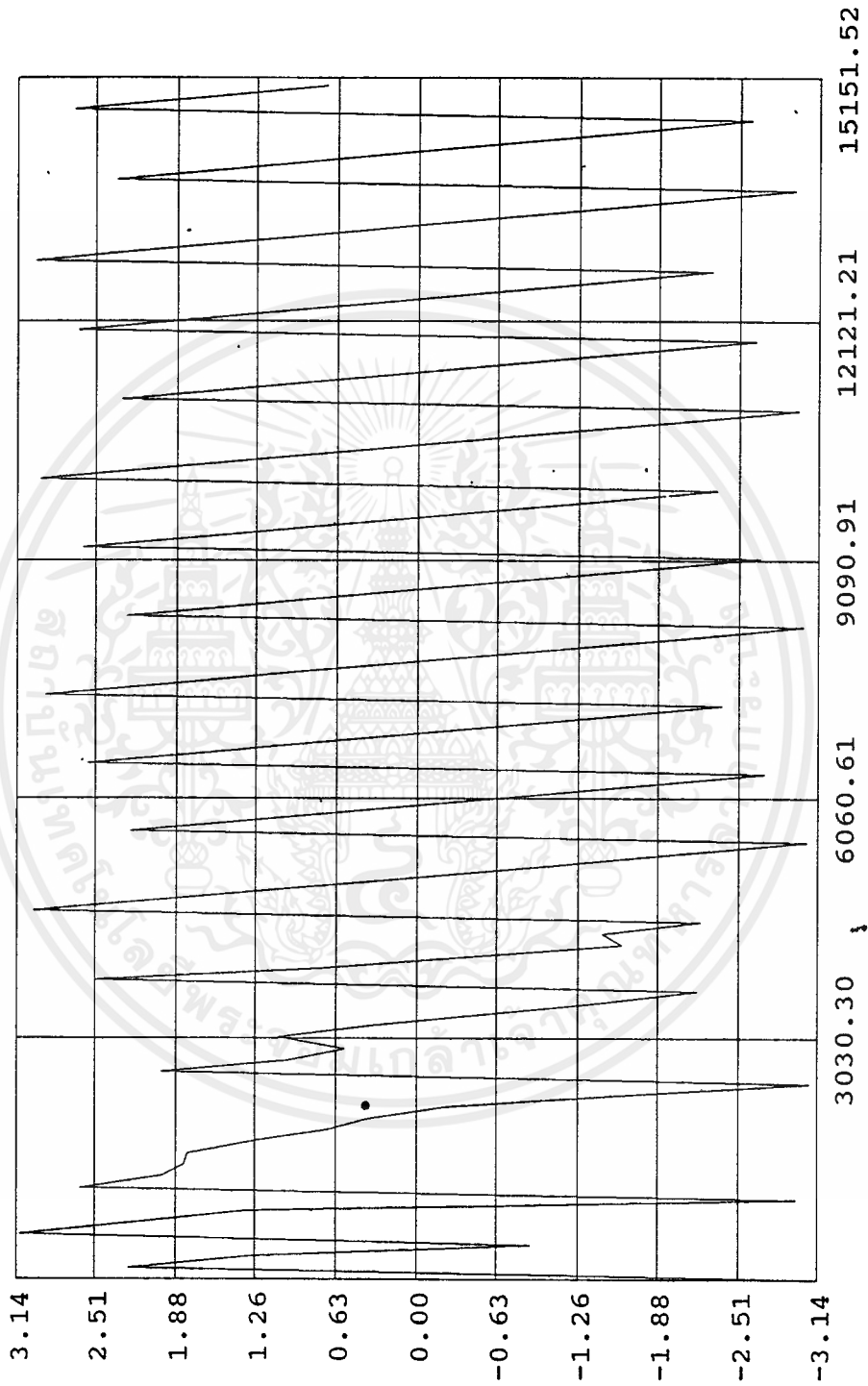
เอกสารนี้เป็นเอกสารที่สงวนไว้สำหรับการใช้งานเพื่อการศึกษาเท่านั้น ไม่อนุญาตให้นำไปใช้ประโยชน์ด้านการค้า
 ไม่ว่ากรณีใดๆ ทั้งสิ้น อีกทั้งห้ามมิให้ดัดแปลงเนื้อหาและต้องอ้างอิงถึงเจ้าของเอกสารทุกครั้งที่มีการนำไปใช้



Type of Filter : Low Pass Filter
 Sampling Frequency : 40 KHz
 Window : Kaiser
 Length : 51 points

เอกสารนี้เป็นเอกสารที่สงวนไว้สำหรับการใช้งานเพื่อการศึกษาเท่านั้น ไม่อนุญาตให้นำไปใช้ประโยชน์ด้านการค้า
 ไม่ว่ากรณีใดๆ ทั้งสิ้น อีกทั้งห้ามมิให้ดัดแปลงเนื้อหาและต้องอ้างอิงถึงเจ้าของเอกสารทุกครั้งที่มีการนำไปใช้

PHASE RESPOND



Type of Filter : High Pass Filter
 Sampling Frequency : 30 KHz
 Window : Blackman
 Length : 67 points

เอกสารนี้เป็นเอกสารที่สงวนไว้สำหรับการใช้งานเพื่อการศึกษาเท่านั้น ไม่นอนุญาตให้นำไปใช้ประโยชน์ด้านการค้า
 ไม่ว่ากรณีใดๆ ทั้งสิ้น อีกทั้งห้ามมิให้ดัดแปลงเนื้อหาและต้องอ้างอิงถึงเจ้าของเอกสารทุกครั้งที่มีการนำไปใช้

บทที่ 6 สรุปผลการทดลอง

ตามรายละเอียดและผลการทดลองที่ได้กล่าวมาข้างต้นแล้ว เป็นการนำเอาหลักการและทฤษฎีทางการประมวลผลสัญญาณแบบดิจิทัล มาใช้ในการสร้างดิจิทัลฟิลเตอร์ที่สามารถโปรแกรมได้ (Programmable Digital Filter) ซึ่งมีคุณสมบัติหลายประการที่ดีกว่า Analog Filter เช่น ความเป็นเชิงเส้นของการตอบสนองทางเฟส (Linear Phase Response) และที่สำคัญก็คือ สามารถโปรแกรมให้ระบบทำหน้าที่เป็นวงจรกรองแบบต่างๆ ได้ และมี specification ต่างๆ ได้โดยสะดวก และไม่ต้องเปลี่ยนวงจรใหม่ เพราะใช้การโปรแกรมทางซอฟต์แวร์เท่านั้น ตามที่กล่าวรายละเอียดมาข้างต้นแล้ว การเปลี่ยนชนิดและคุณสมบัติของระบบทำได้โดยการคำนวณ impulse response ของระบบตามที่ต้องการ แล้วเปลี่ยนผลที่ได้นั้นให้เป็นสัมประสิทธิ์ของ Transfer function ในรูปแบบของระบบ FIR (Finite Impulse Response) ซึ่งรายละเอียดในการคำนวณต่างๆ นั้น ได้กล่าวไว้แล้ว ในส่วนของทฤษฎี

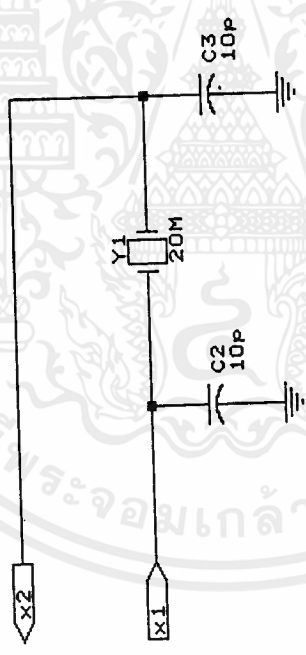
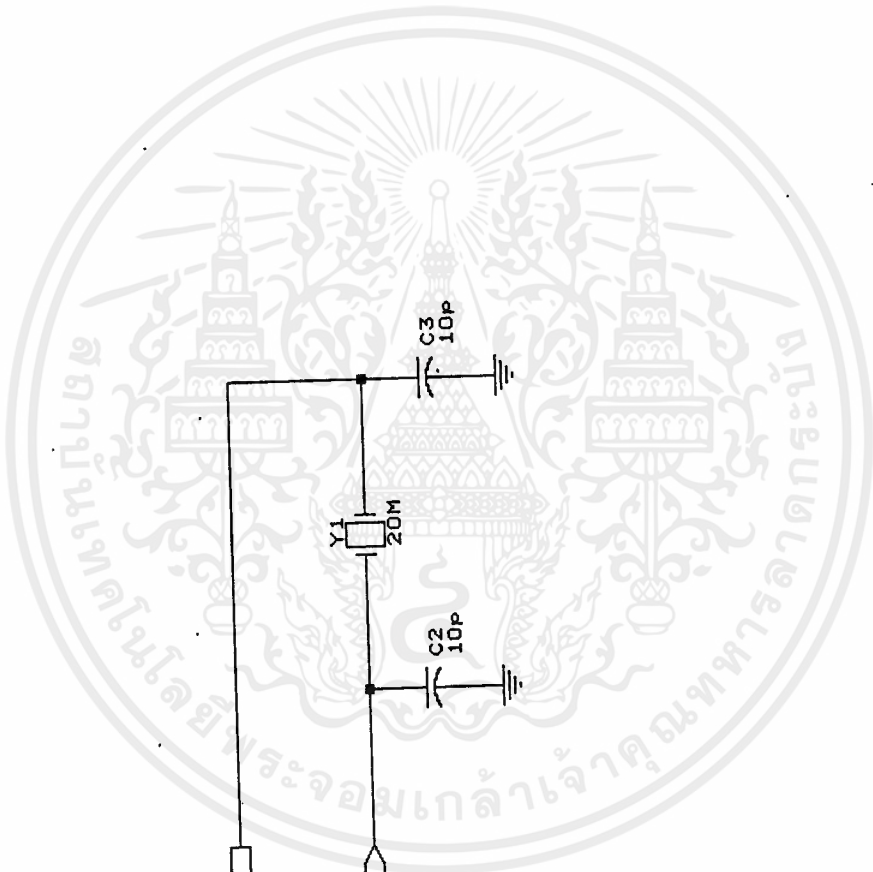
อย่างไรก็ตาม โครงการนี้ยังสามารถพัฒนาให้มีความสามารถและมีฟังก์ชันในการทำงานหลากหลายขึ้น เช่น การพัฒนาโปรแกรมให้เป็นระบบ IIR Filter หรือ Infinite Impulse Response ซึ่งมีหลักการคล้ายระบบทางอนาล็อก กล่าวคือ เป็นระบบที่มีการป้อนกลับ ดังนั้น IIR Filter จะมีลักษณะอัลกอริทึมที่ได้จากการแปลงจากระบบอนาล็อก ซึ่งมีข้อดีคือ สามารถสร้าง Filter ให้ได้ Transition Band ที่แคบกว่าได้ โดยใช้ order น้อยกว่าของ FIR Filter อย่างไรก็ตาม การออกแบบ IIR Filter นั้น การจะทำให้ได้ linear phase response นั้น ทำได้ยากกว่าแบบ FIR มาก

การประยุกต์ใช้งานตัวกรองเชิงเลขที่ได้จากโครงการนี้ ยังถูกจำกัดในด้านความเร็วในการประมวลผล ดังนั้น จึงสามารถประยุกต์ใช้งานกับสัญญาณในย่านความถี่เสียง (Audio Signal) แต่ในการประยุกต์ขั้นต่อไปนั้น ด้านความเร็วสามารถเพิ่มได้โดยการใช้ไมโครโปรเซสเซอร์ที่มีความเร็วสูงขึ้น พร้อมทั้งพัฒนาด้านอัลกอริทึมของโปรแกรมต่อไป.

ภาคผนวก ก.

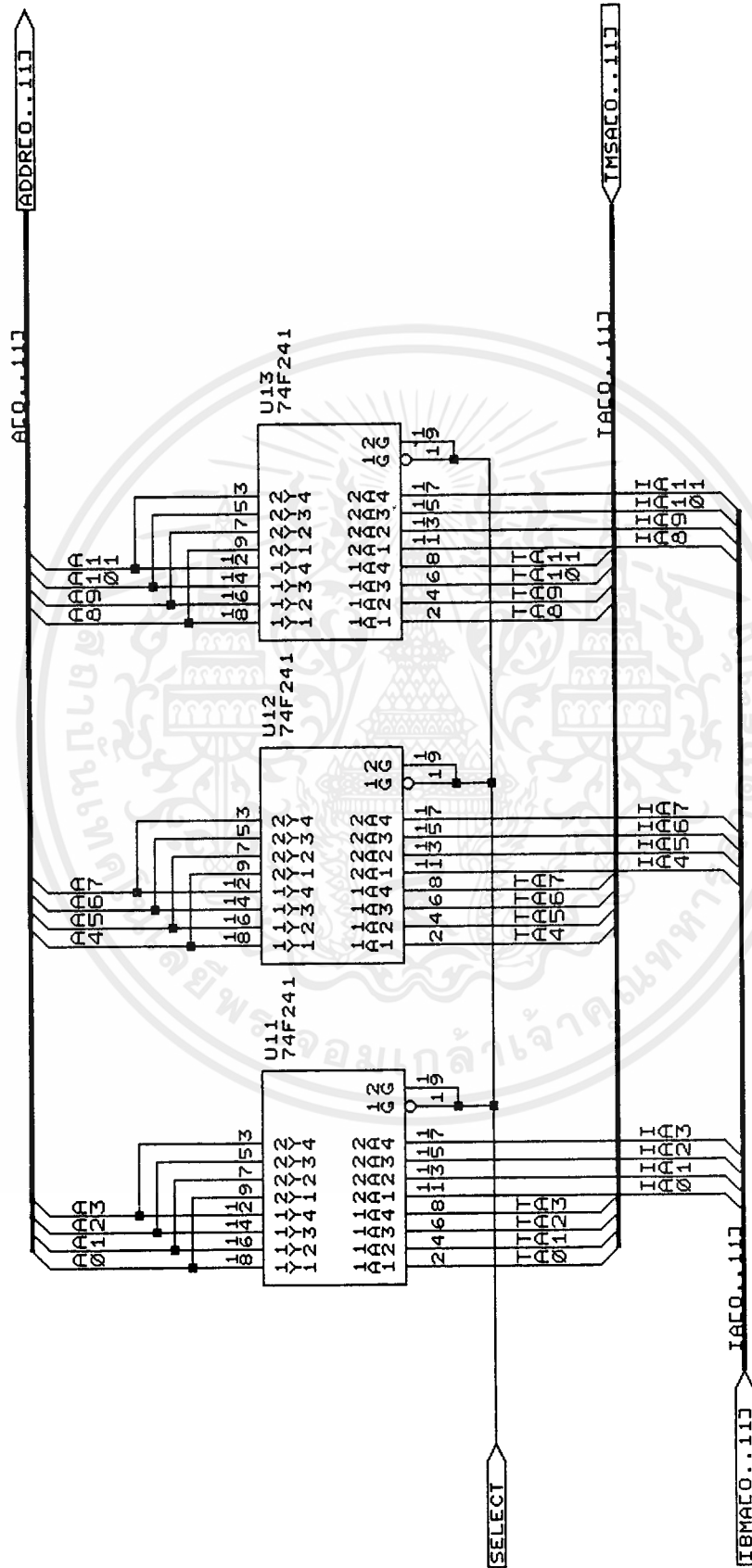
ในภาคผนวกนี้จะแสดงรูปร่างละเอียดของ วงจรที่ใช้ในส่วนต่างๆทั้งหมด ซึ่งจะมีดังนี้

- 1) วงจรในบอร์ด TMS ซึ่งได้แก่
 - 1.1 วงจรหลักของ TMS (DSP HARDWARE[TMS])
 - 1.2 วงจรกำเนิดความถี่ให้ TMS (OSCILATOR CIRCUIT)
 - 1.3 วงจรเลือกแอดเดรส (ADDRESS SELECTOR)
 - 1.4 วงจรเลือกข้อมูล (DATA SELECTOR)
 - 1.5 วงจรรีเซ็ตการทำงาน (POWER ON RESET)
 - 1.6 วงจรหน่วยความจำ (MEMORY UNIT)
 - 1.7 วงจรสร้างฐานเวลา (TIME BASE)
- 2) วงจรในบอร์ด การติดต่อกับไอบีเอ็ม (IBM INTERFACE)
- 3) วงจรในบอร์ดอินพุท (ANALOG TO DIGITAL)
- 4) วงจรในบอร์ดเอาต์พุท (DIGITAL TO ANALOG)



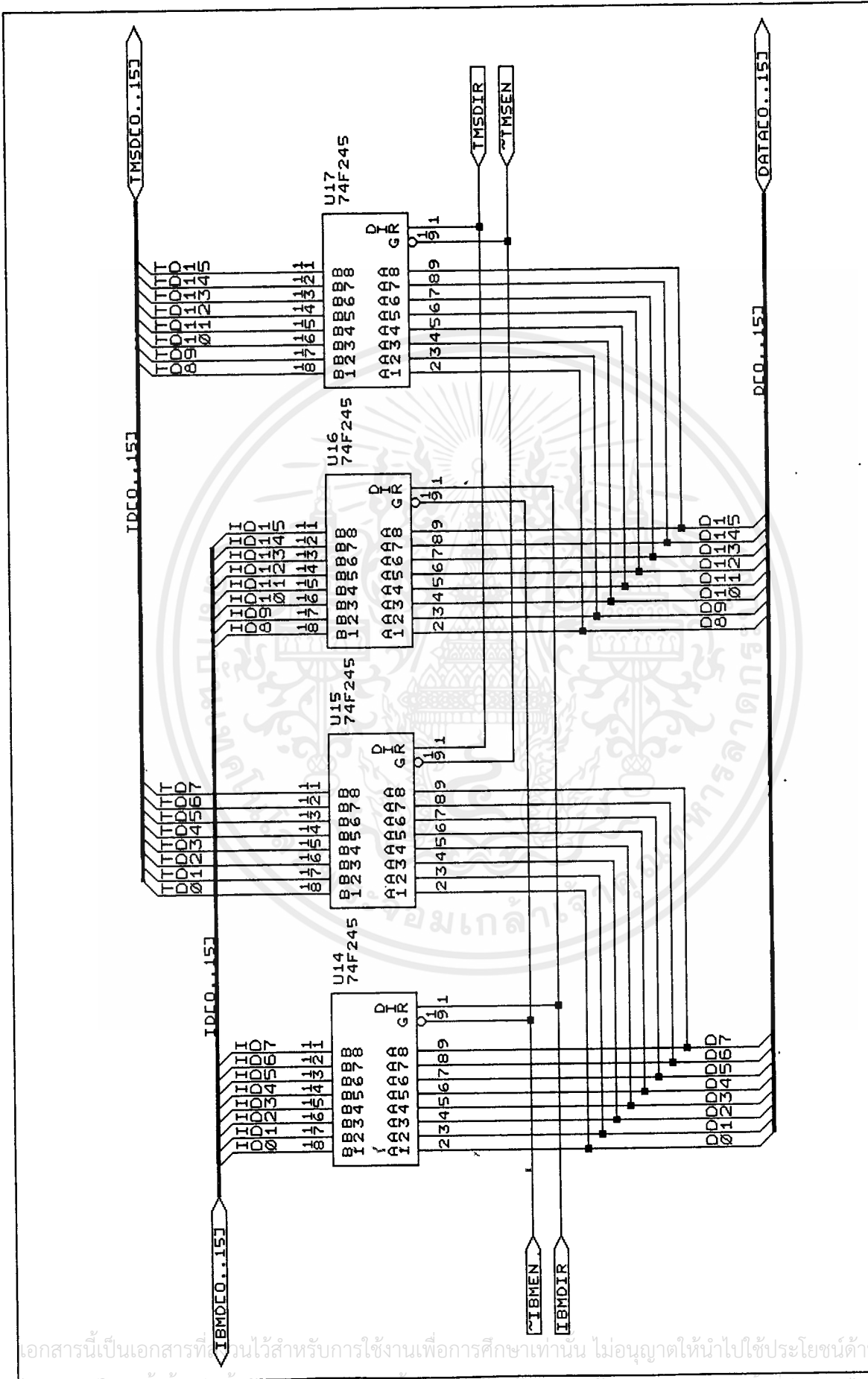
Title	OSCILATOR CIRCUIT		
Size	Document Number	REV	
A			
Date:	September 17, 1992	Sheet	3 of 6

เอกสารนี้เป็นเอกสารที่สงวนไว้สำหรับการใช้งานเพื่อการศึกษาเท่านั้น ไม่อนุญาตให้นำไปใช้ประโยชน์ด้านการค้า
ไม่ถาวรณใดๆ ทั้งสิ้น อีกทั้งห้ามแก้ไขตัดแปลงเนื้อหาและต้องอ้างอิงถึงเจ้าของเอกสารทุกครั้งที่ไม่การนำปะเซ



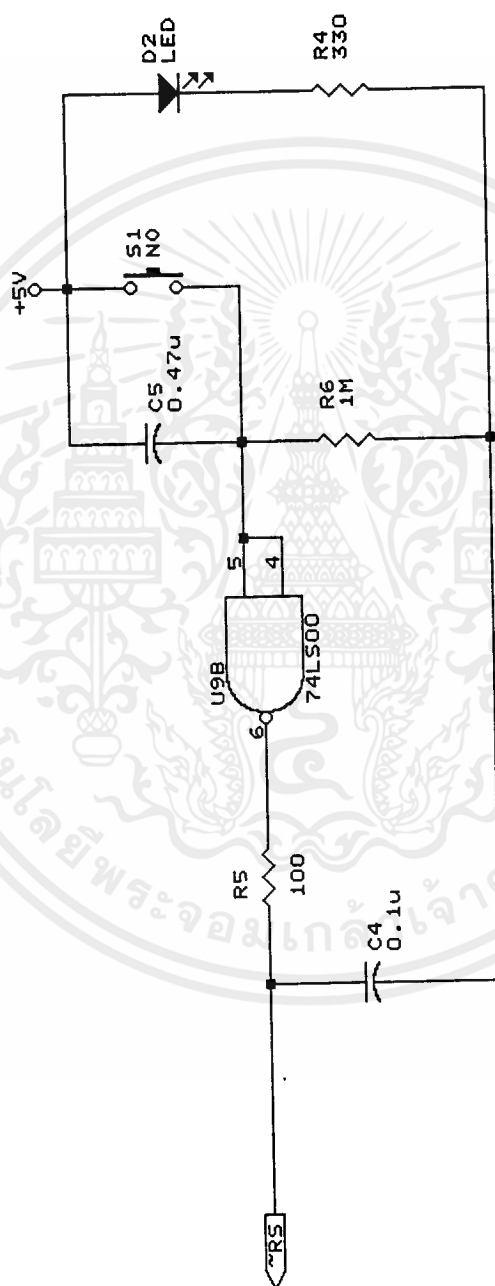
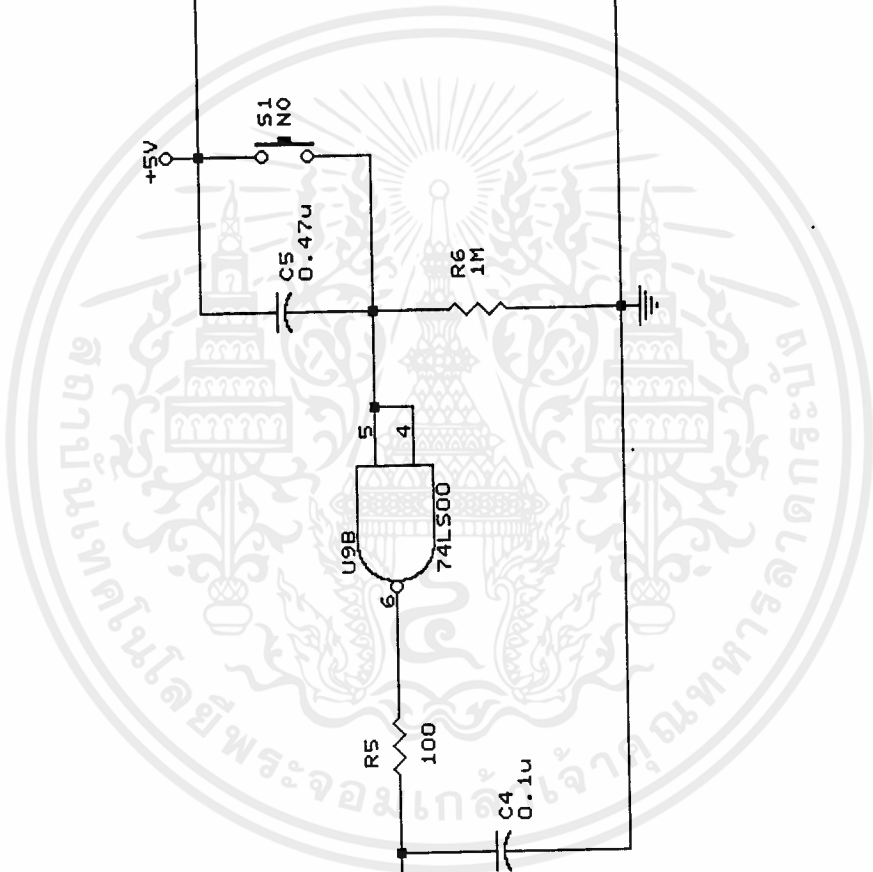
Title	
ADDRESS SELECTOR	
Size Document Number	REV
A	
Date: September 17, 1992	Sheet 2 of 6

เอกสารนี้เป็นเอกสารที่สงวนไว้สำหรับการใช้งานเพื่อการศึกษาเท่านั้น ไม่อนุญาตให้นำไปใช้ประโยชน์ด้านการค้า
 ไม่มีการแก้ไข ทั้งสิ้น ยกเว้น ที่ไม่มีให้แต่แบบลงเนื้อหา และต้องยัง คงถึงใช้ ของเอกสาร ทุกครั้งที่มีการนำไปใช้



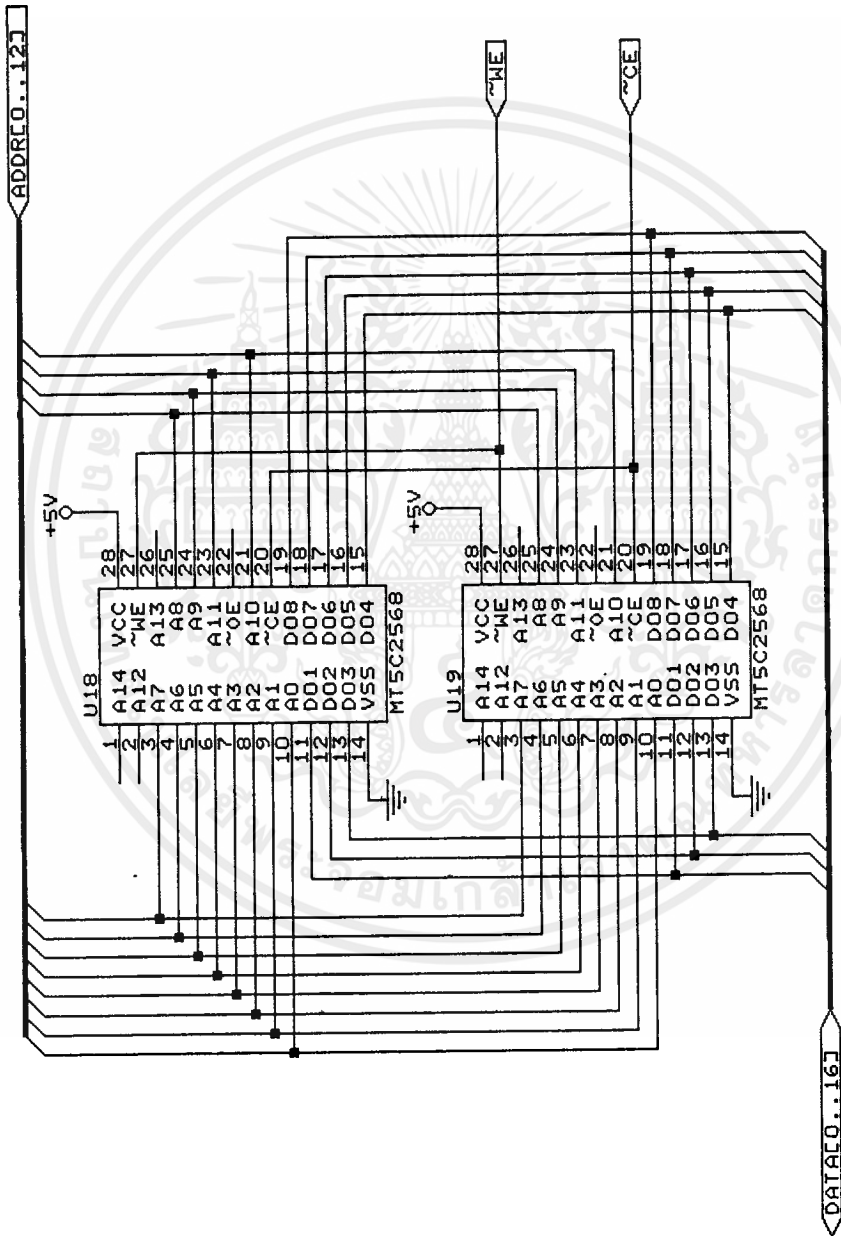
Title		3-STATE 2-DIRECTION DATA SELECTOR
Size Document Number		REV
A		
Date: September 17, 1992	Sheet	4 of 6

เอกสารนี้เป็นเอกสารที่... วนไว้สำหรับการใช้งานเพื่อการศึกษาเท่านั้น ไม่อนุญาตให้นำไปใช้ประโยชน์ด้านการค้า
 เมื่อก่อนแต่ๆ ทั้งสิ้น ยกทั้งทามมีให้ตัดแปลงเนื้อหาและต้องอ้างอิงถึงเจ้าของเอกสารทุกครั้งที่มีการนำไปใช้



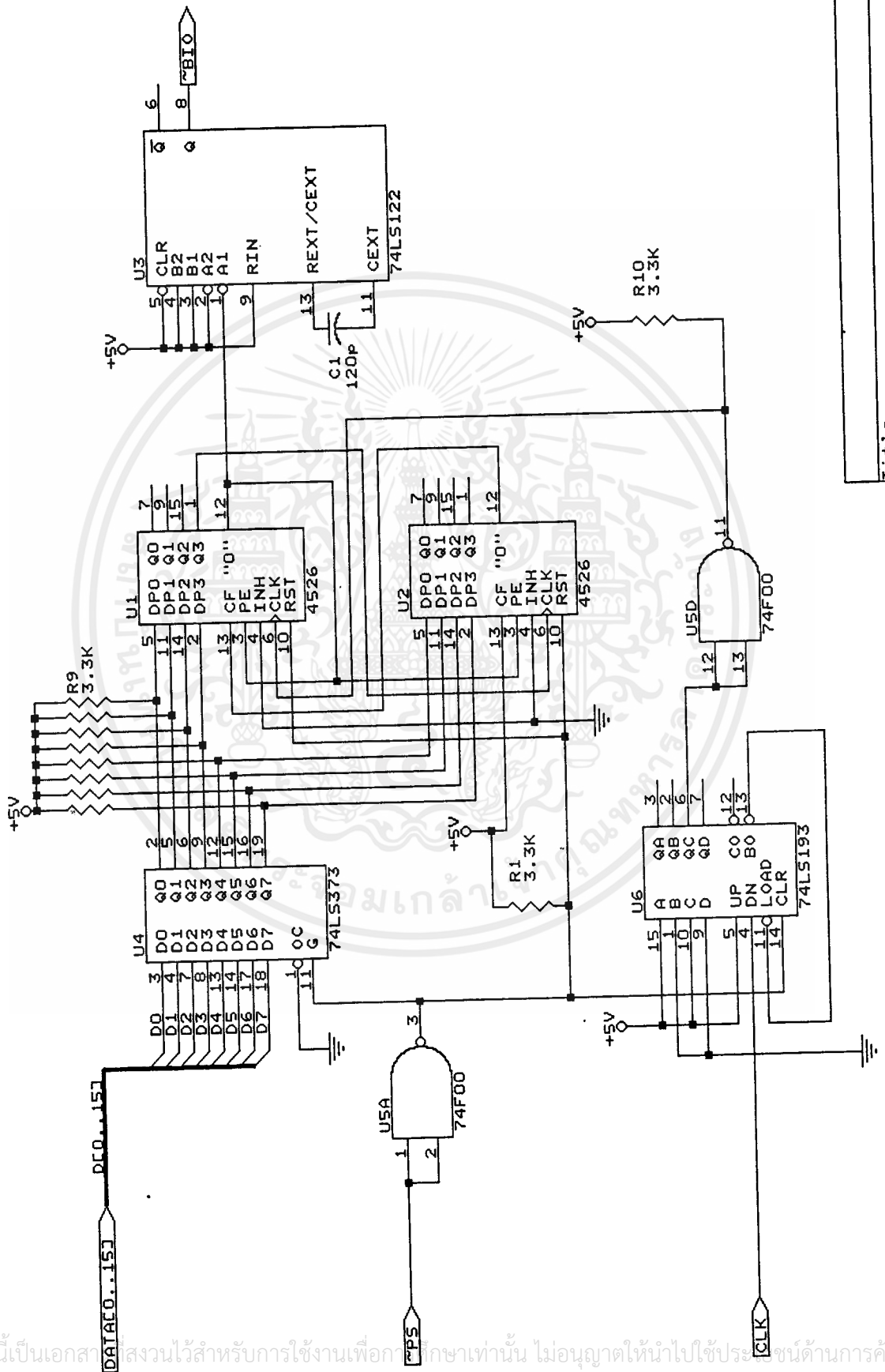
Title		MANUAL & POWER ON RESET
Size		Document Number
REV		A
Date:	September 17, 1992	Sheet 6 of 6

เอกสารนี้เป็นเอกสารที่สงวนไว้สำหรับการใช้งานเพื่อการศึกษาเท่านั้น ไม่อนุญาตให้นำไปใช้ประโยชน์ด้านการค้า
ไม่ว่าจะโดยวิธีใด ๆ ทั้งสิ้น และขอสงวนสิทธิ์ให้ตีพิมพ์และดัดแปลงแก้ไขเอกสารทุกครั้งที่มีการนำไปใช้



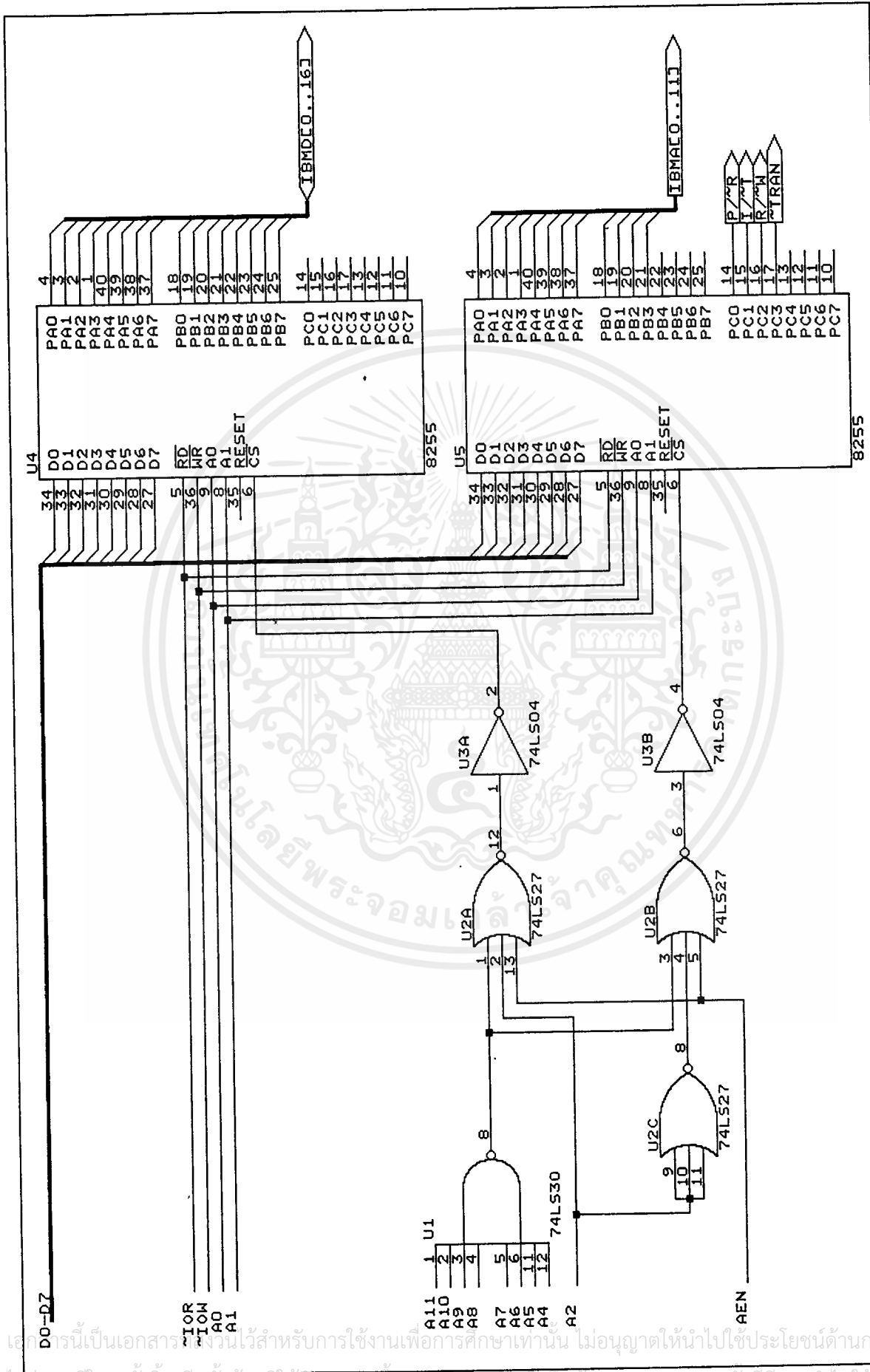
Title		MEMORY UNIT (32K x 8)
Size		Document Number
A		REV
Date: September 17, 1992		Sheet of

เอกสารนี้เป็นเอกสารที่สงวนไว้สำหรับการใช้งานเพื่อการศึกษาเท่านั้น ไม่อนุญาตให้นำไปใช้ประโยชน์ด้านการค้า
 ไม่มีการแก้ไข ทั้งสิ้น อีกทั้งห้ามมีเหตุเปลี่ยนแปลงเนื้อหาและต้องอ้างอิงถึงเจ้าของเอกสารทุกครั้งที่มีการนำไปใช้



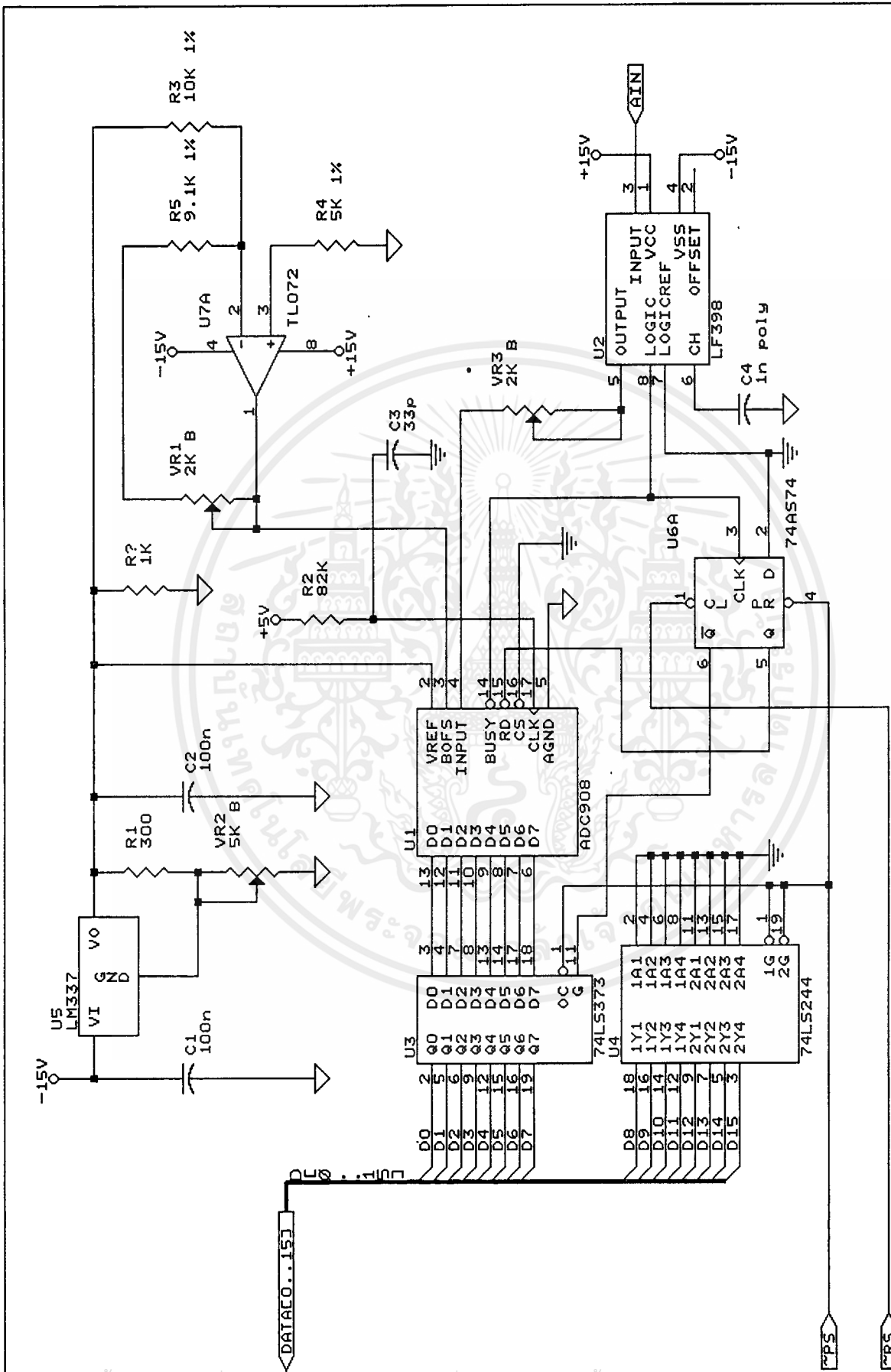
เอกสารนี้เป็นเอกสารสงวนไว้สำหรับการใช้งานเพื่อการศึกษาเท่านั้น ไม่อนุญาตให้นำไปใช้ประโยชน์ด้านการค้า
 ได้ว่ากรณใดๆ ให้คืน ๑๐% ให้แก่ผู้เป็นเจ้าของสิทธิ์ และต้องยื่นไปยังเจ้าของเอกสารทุกครั้งที่มีการนำไปใช้

Title	TIME BASE
Size Document Number	REV
A	
Date	September 17, 1992 Sheet 1 of 1



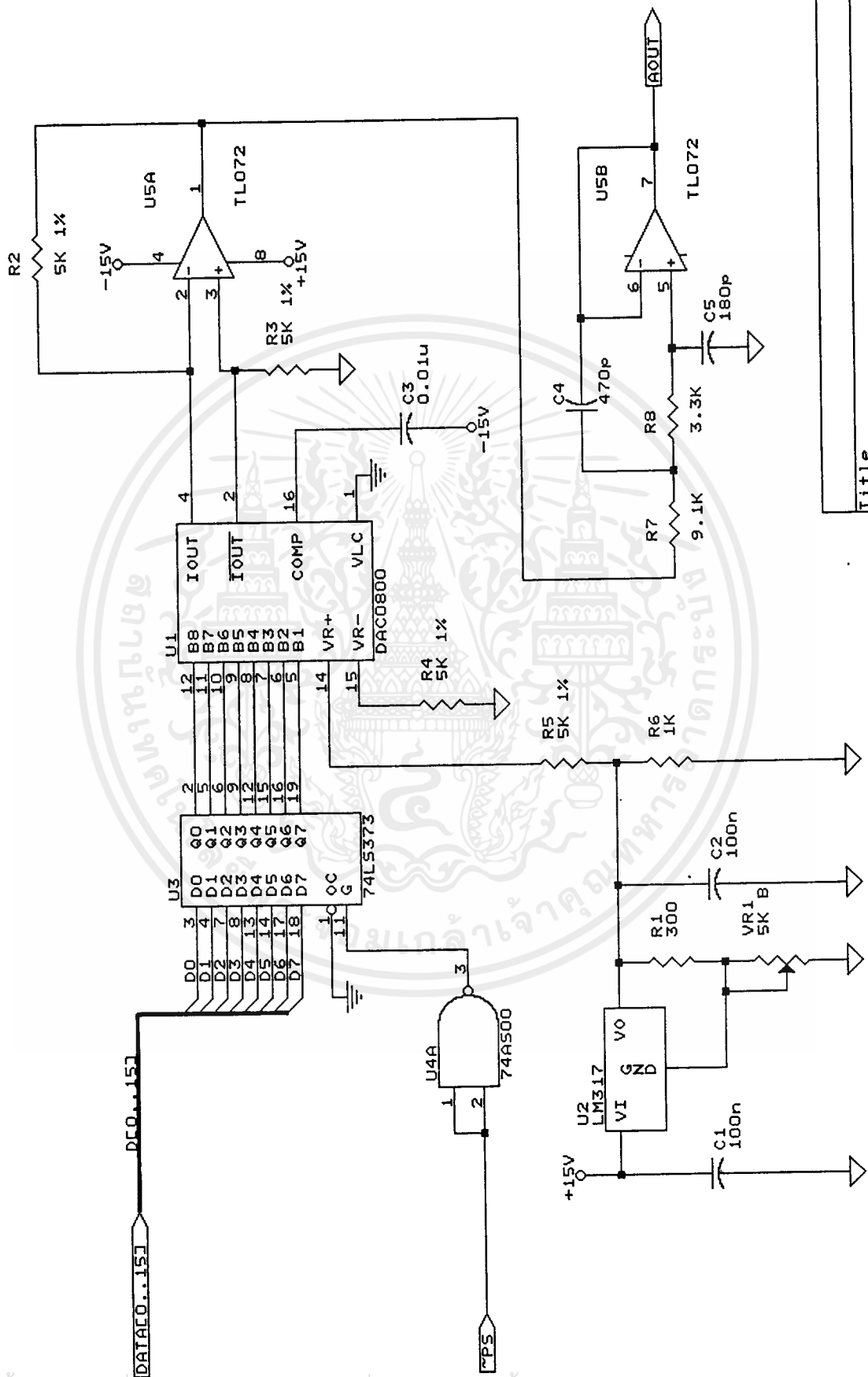
Title		8255 INTERFACE
Size Document Number		
A	17	1992 Sheet
REV		

เอกสารนี้เป็นเอกสารสงวนไว้สำหรับการใช้งานเพื่อการศึกษาเท่านั้น ไม่อนุญาตให้นำไปใช้ประโยชน์ด้านการค้า
 ไม่มีการแก้ไข ทั้งสิ้น ยกเว้นที่พิมพ์แก้ไขเนื้อหาและต้องอ้างอิงถึงเจ้าของเอกสารทุกครั้งที่มีการนำไปใช้



Title		ANALOG TO DIGITAL	
Size		Document Number	
REV		A	
Date:		September 24, 1992	
Sheet		1 of 1	

เอกสารนี้เป็นเอกสารที่สงวนไว้สำหรับการใช้งานเพื่อการศึกษาเท่านั้น ไม่อนุญาตให้นำไปใช้ประโยชน์ด้านการค้า
 ไม่ว่ากรณีใดๆ ทั้งสิ้น อีกทั้งห้ามมิให้ดัดแปลงเนื้อหาและต้องอ้างอิงถึงเจ้าของเอกสารทุกครั้งที่มีการนำไปใช้



Title DIGITAL TO ANALOG

Size Document Number A

Date: September 17, 1992 Sheet 1 of 1

เอกสารนี้เป็นเอกสารที่สงวนไว้สำหรับการใช้งานเพื่อการศึกษาเท่านั้น ไม่อนุญาตให้拿去ใช้ประโยชน์ด้านการค้า
 ไม่ว่ากรณีใดๆ ทั้งสิ้น อีกทั้งห้ามมิให้ดัดแปลงเนื้อหาและต้องอ้างอิงถึงเจ้าของเอกสารทุกครั้งที่มีการนำไปใช้



เอกสารนี้เป็นเอกสารที่สงวนไว้สำหรับการใช้งานเพื่อการศึกษาเท่านั้น ไม่อนุญาตให้นำไปใช้ประโยชน์ด้านการค้า
ไม่ว่ากรณีใดๆ ทั้งสิ้น อีกทั้งห้ามมิให้ดัดแปลงเนื้อหาและต้องอ้างอิงถึงเจ้าของเอกสารทุกครั้งที่มีการนำไปใช้

```

#include <owl.h>
#include <bwcc.h>
#include <print.h>
#include <conio.h>
#include <math.h>
#include <stdio.h>
#include <math.h>
#include <dos.h>
#include <string.h>

```

```

#define MOUSEX(arg) (arg.LP.Lo)
#define MOUSEY(arg) (arg.LP.Hi)
#define COMMANDMSG(arg) (arg.WParam)

```

```
#define EXITTO 0
```

```

#define FNOPE 10
#define FNSAVEAS 20
#define FNSAMPLING 30
#define FNPASSBR 40
#define FNSTBND 50
#define FNFEG 60
#define FNSEGE 70
#define FNTEDG 80
#define FNFEDGE 90

```

```

#define NEW 101
#define OPEN 102
#define SAVE 103
#define SAVEAS 104
#define PRINT 105
#define SAMPLING 106
#define PRIPPLE 107
#define SRIPPLE 108
#define FEDGE 109
#define SEDGE 110
#define TEDGE 111
#define FTHEDGE 112

```

```

#define LPP 113
#define HP 114
#define BP 115
#define BR 116

```

```

#define RCT 117
#define KAISER 118
#define HANN 119
#define HAMM 120
#define BLKMAN 121

```

```

#define GAIN 122
#define LOGM 123
#define PHASE 124
#define IMPULSE 125

```

```

#define HELPP 126
#define AB 127
#define COMPI 128
#define SENDOP 129

```

```
#define INFOM 130
```

```
#define OPTIMUM 131
```

```
#define VER 132
```

```

#define PA1 0xFF0
#define PB1 0xFF1
#define PC1 0xFF2
#define CW1 0xFF3
#define PA2 0xFF4
#define PB2 0xFF5
#define PC2 0xFFE
#define CW2 0xFF7

```

```

LPSTR lpBuffer;
WORD cbBuffer;
const int TEXTBUFFER = 81;
const int MAXPOINTS = 32;
const int MARKERSIZE = 30;
HDC OOHDC;
HDC PRHDC;
HWND OOHWND;
COLORREF BACKGROUND;
COLORREF GraphPlot[5];
char testtext[TEXTBUFFER];

```

```
class Filter
```

เอกสารนี้เป็นลิขสิทธิ์ของมหาวิทยาลัยเทคโนโลยีพระจอมเกล้าเจ้าคุณทหารลาดกระบัง
 ไม่ว่ากรณีใดๆ ทั้งสิ้น อีกทั้งห้ามมิให้ตัดแปลงเนื้อหาและต้องอ้างอิงถึงเจ้าของเอกสารทุกครั้งที่มีการนำไปใช้

```

c
public:

    Filter();
    ~Filter();

    int dx(float VX);
    int dy(float VY);
    void coordinate(int startx,int starty,int endx,int endy);
    void setfactors(float lefta1,float bottomb1,
        float righta2,float upperb2,HWND hwnd);
        void MakeFilter(int num,int timebase,HWND hwnd);
    void quantize(float *h,int num,int *hh);
    void converse(float *h,int *hh,int num,HWND hwnd);
    int KaiserOptimize(int type,float center,float Aa,float Ap,float Fp,
        float Fa,float sampling,float *h,int *hh,
        HWND hwnd,int wintype);

    float I(float x);
    unsigned long factorial(int x);
    HDC GetPrinterDC(void);
    void PageGDICalls(HDC hdcPrn,short cxPage,short cyPage,HWND hwnd);
    BOOL PrintMyPage(HWND hwnd);

    int Filtertype;
    float Sampling;
    float Pbripple;
    float Stopbatt;
    float Firstedge;
    float Secondedge;
    float Thirdedge;
    float Fourthedge;
    int Windowtype;
    int Display;
    int Optimize;

    int TIMEBASE;
    int LENGTH;

    float *h;
    int hh[200];

    int VH,VW,PX,PY;
    float X1,X2,Y1,Y2;
    float XF,YF;
    int Canplot;
    int Change;
    int DisplayChange;
    int WindowChange;
    int Success;
    int first;
    int Printer;
    int Repaint;

    char Savename[80];
    struct spec {
        int type;
        float sampling;
        float pbripple;
        float stopbatt;
        float firstedge;
        float secondedge;
        float thirdedge;
        float fourthedge;
        int windowtype;
        int display;
        int optimize;
    } savespec;

};

class TMarkerApplication : public TApplication
{
public:
    TMarkerApplication( LPSTR lpszName, HANDLE hInstance,
        HANDLE hPrevInstance, LPSTR lpszCmdLine,int nCmdShow);
    virtual void InitMainWindow();
};

class TMarkerWindow : public TWindow
{
public:
    TMarkerWindow (PTWindowsObject pwParent, LPSTR lpszTitle,
        PTModule pmModule);
    virtual LPSTR GetClassName();
    virtual void GetWindowClass(WNDCLASS&);
    virtual void WMLButtonDown (TMessage& Msg) = [WM_LBUTTONDOWN];
    virtual void Paint(HDC hdc,PAINTSTRUCT& ps);
};

```

```

virtual void WMCommand(TMessage& Msg) = [WM_COMMAND];
virtual void WMSetfocus(TMessage& Msg) = [WM_SETFOCUS];
virtual void WMErasebknd(TMessage& Msg) = [WM_ERASEBKND];

int cpt;

TDialog *ptTestDialog;
TDialog *ptSaveasDialog;
TDialog *ptSamplingDialog;
TDialog *ptPassbandDialog;
TDialog *ptStopbandDialog;
TDialog *ptFirstedgeDialog;
TDialog *ptSecondedgeDialog;
TDialog *ptThirdedgeDialog;
TDialog *ptFourthedgeDialog;

POINT pt[MAXPOINTS];
};

class TTestDialog : public TDialog
{
public:
    TTestDialog (PTWindowsObject ptParent, LPSTR lpszName,
        LPSTR lpTestData, WORD cbBufSize);
    virtual void WMCommand(TMessage& Msg) = [WM_COMMAND];
    virtual void WMinDialog(TMessage& Msg) = [WM_INITDIALOG];
};

class TSaveasDialog : public TDialog
{
public:
    TSaveasDialog (PTWindowsObject ptParent, LPSTR lpszName,
        LPSTR lpTestData, WORD cbBufSize);
    virtual void WMCommand(TMessage& Msg) = [WM_COMMAND];
    virtual void WMinDialog(TMessage& Msg) = [WM_INITDIALOG];
};

class TSamplingDialog : public TDialog
{
public:
    TSamplingDialog (PTWindowsObject ptParent, LPSTR lpszName,
        LPSTR lpTestData, WORD cbBufSize);
    virtual void WMCommand(TMessage& Msg) = [WM_COMMAND];
    virtual void WMinDialog(TMessage& Msg) = [WM_INITDIALOG];
};

class TPassbandDialog : public TDialog
{
public:
    TPassbandDialog (PTWindowsObject ptParent, LPSTR lpszName,
        LPSTR lpTestData, WORD cbBufSize);
    virtual void WMCommand(TMessage& Msg) = [WM_COMMAND];
    virtual void WMinDialog(TMessage& Msg) = [WM_INITDIALOG];
};

class TStopbandDialog : public TDialog
{
public:
    TStopbandDialog (PTWindowsObject ptParent, LPSTR lpszName,
        LPSTR lpTestData, WORD cbBufSize);
    virtual void WMCommand(TMessage& Msg) = [WM_COMMAND];
    virtual void WMinDialog(TMessage& Msg) = [WM_INITDIALOG];
};

class TFirstedgeDialog : public TDialog
{
public:
    TFirstedgeDialog (PTWindowsObject ptParent, LPSTR lpszName,
        LPSTR lpTestData, WORD cbBufSize);
    virtual void WMCommand(TMessage& Msg) = [WM_COMMAND];
    virtual void WMinDialog(TMessage& Msg) = [WM_INITDIALOG];
};

class TSecondedgeDialog : public TDialog
{
public:
    TSecondedgeDialog (PTWindowsObject ptParent, LPSTR lpszName,
        LPSTR lpTestData, WORD cbBufSize);
    virtual void WMCommand(TMessage& Msg) = [WM_COMMAND];
    virtual void WMinDialog(TMessage& Msg) = [WM_INITDIALOG];
};

class TThirdedgeDialog : public TDialog

```

เอกสารนี้เป็นเอกสารที่สงวนไว้สำหรับการใช้งานเพื่อการศึกษาเท่านั้น ไม่นอญญาตให้นำไปใช้ประโยชน์ด้านการค้า
 ไม่ว่ากรณีใดๆ ทั้งสิ้น อีกทั้งยังมีเหตุตแบสงเนื้อหาและต้องอ้างอิงถึงเจ้าของเอกสารทุกครั้งที่มีการนำไปใช้

```

{
public:
    TThirdedgeDialog (PTWindowsObject ptParent, LPSTR lpszName,
        LPSTR lpTestData, WORD cbBufSize);
    virtual void WMCommand(TMessage& Msg) = [WM_COMMAND];
    virtual void WInitDialog(TMessage& Msg) = [WM_INITDIALOG];
};

class TFourthedgeDialog : public TDialog
{
public:
    TFourthedgeDialog (PTWindowsObject ptParent, LPSTR lpszName,
        LPSTR lpTestData, WORD cbBufSize);
    virtual void WMCommand(TMessage& Msg) = [WM_COMMAND];
    virtual void WInitDialog(TMessage& Msg) = [WM_INITDIALOG];
};

void DrawMarker (HDC hDC,int x,int y);

char samm[80];
Filter FIR;

int PASCAL WinMain(HANDLE hInstance, HANDLE hPrevInstance,
    LPSTR lpszCmdLine, int nCmdShow)
{
    HANDLE hDLL;
    TMarkerApplication Marker("Marker",hInstance,hPrevInstance,lpszCmdLine,nCmdShow);

    hDLL = LoadLibrary("BWCC.DLL");
    Marker.Run();
    if(hDLL) FreeLibrary(hDLL);
    return Marker.Status;
}

TMarkerApplication::TMarkerApplication(LPSTR lpszName,
    HANDLE hInstance, HANDLE hPrevInstance,
    LPSTR lpszCmdLine, int nCmdShow)
    :TApplication(lpszName,hInstance,
        hPrevInstance,lpszCmdLine,nCmdShow)
{
}

void TMarkerApplication::InitMainWindow()
{
    MainWindow = new TMarkerWindow( NULL,"FIR FILTER",NULL);
}

TMarkerWindow::TMarkerWindow(PTWindowsObject pwParent,
    LPSTR lpszTitle, PModule pmModule)
    :TWindow(pwParent, lpszTitle, pmModule)
{
    cpt =0;
    ptTestDialog = (TTestDialog *) 0L;
    ptSaveasDialog = (TSaveasDialog *)0L;
    ptSamplingDialog = (TSamplingDialog *)0L;
    ptPassbandDialog = (TPassbandDialog *)0L;
    ptStopbandDialog = (TStopbandDialog *)0L;
    ptFirstedgeDialog = (TFirstedgeDialog *)0L;
    ptSecondedgeDialog = (TSecondedgeDialog *)0L;
    ptThirdedgeDialog = (TThirdedgeDialog *)0L;
    ptFourthedgeDialog = (TFourthedgeDialog *)0L;

}

LPSTR TMarkerWindow::GetClassName()
{
    return "Marker:Main";
}

void TMarkerWindow::GetWindowClass( WNDCLASS& wc )
{
    TWindow::GetWindowClass(wc);
    wc.hIcon=LoadIcon(wc.hInstance,"snapshot");
    wc.lpszMenuName = "#1";
}

void TTestDialog::TTestDialog(PTWindowsObject ptParent, LPSTR lpszName,
    LPSTR lpTestData, WORD cbBufSize)
    :TDialog(ptParent,lpszName)
{
    lpBuffer = lpTestData;
    cbBuffer = cbBufSize;
}

```

เอกสารนี้เป็นเอกสารที่สงวนไว้สำหรับการใช้งานเพื่อการศึกษาเท่านั้น ไม่อนุญาตให้นำไปใช้ประโยชน์ด้านการค้า
 ไม่ว่ากรณีใดๆ ทั้งสิ้น อีกทั้งห้ามมิให้ดัดแปลงเนื้อหาและต้องอ้างอิงถึงเจ้าของเอกสารทุกครั้งที่มีการนำไปใช้

```

void TSaveasDialog::TSaveasDialog(PtWindowsObject ptParent, LPSTR lpszName,
                                  LPSTR lpTestData, WORD cbBufSize)
    :TDialog(ptParent,lpszName)
{
    lpBuffer = lpTestData;
    cbBuffer = cbBufSize;
}

void TSamplingDialog::TSamplingDialog(PtWindowsObject ptParent, LPSTR lpszName,
                                       LPSTR lpTestData, WORD cbBufSize)
    :TDialog(ptParent,lpszName)
{
    lpBuffer = lpTestData;
    cbBuffer = cbBufSize;
}

void TPassbandDialog::TPassbandDialog(PtWindowsObject ptParent, LPSTR lpszName,
                                       LPSTR lpTestData, WORD cbBufSize)
    :TDialog(ptParent,lpszName)
{
    lpBuffer = lpTestData;
    cbBuffer = cbBufSize;
}

void TStopbandDialog::TStopbandDialog(PtWindowsObject ptParent, LPSTR lpszName,
                                       LPSTR lpTestData, WORD cbBufSize)
    :TDialog(ptParent,lpszName)
{
    lpBuffer = lpTestData;
    cbBuffer = cbBufSize;
}

void TFirstedgeDialog::TFirstedgeDialog(PtWindowsObject ptParent, LPSTR lpszName,
                                         LPSTR lpTestData, WORD cbBufSize)
    :TDialog(ptParent,lpszName)
{
    lpBuffer = lpTestData;
    cbBuffer = cbBufSize;
}

void TSecondedgeDialog::TSecondedgeDialog(PtWindowsObject ptParent,
                                           LPSTR lpszName,LPSTR lpTestData, WORD cbBufSize)
    :TDialog(ptParent,lpszName)
{
    lpBuffer = lpTestData;
    cbBuffer = cbBufSize;
}

void TThirdedgeDialog::TThirdedgeDialog(PtWindowsObject ptParent,
                                         LPSTR lpszName,LPSTR lpTestData, WORD cbBufSize)
    :TDialog(ptParent,lpszName)
{
    lpBuffer = lpTestData;
    cbBuffer = cbBufSize;
}

void TFourthedgeDialog::TFourthedgeDialog(PtWindowsObject ptParent,
                                           LPSTR lpszName,LPSTR lpTestData, WORD cbBufSize)
    :TDialog(ptParent,lpszName)
{
    lpBuffer = lpTestData;
    cbBuffer = cbBufSize;
}

void Filter::Filter(void)
{
    Filtertype      = 0;
    Sampling        = 40000.0;
    Pbripple        = 5.0;
    Stopbatt        = 20.0;
    Firstedge       = 1000;
    Secondedge      = 10000.0;
    Thirdedge       = 11000.0;
    Fourthedge      = 19000.0;
    Windowtype      = 1;
    Display         = 0;
    Canplot         = 0;
    Success         = 0;
    Change          = 0;
    DisplayChange   = 0;
    WindowChange    = 0;
    first           = 0;
    Optimize        = 0;
    Printer         = 0;
    Repaint         = 1;
    BACKGROUND     = RGB(0,255,255);
    strcpy(Savename,"NONAME.FIR");
    Graphplot[0]   = RGB(0,0,255);
    Graphplot[1]   = RGB(200,200,0);
}

```

เอกสารนี้เป็น Graphplot[0] = RGB(0,0,255); ใช้งานเพื่อการศึกษาเท่านั้น ไม่อนุญาตให้นำไปใช้ประโยชน์ด้านการค้า
 Graphplot[1] = RGB(200,200,0);
 ไม่ว่ากรณีใดๆ ทั้งสิ้น อีกทั้งห้ามมิให้ดัดแปลงเนื้อหาและต้องอ้างอิงถึงเจ้าของเอกสารทุกครั้งที่มีการนำไปใช้

```

    Graphplot[2] = RGB(255,20,20);
    Graphplot[3] = RGB(255,0,255);
    Graphplot[4] = RGB(0,255,255);

    h = (float *)calloc(3002,sizeof(float));
}

void Filter::~Filter(void)
{
    free(h);
}

void TTestDialog::WInitDialog(TMessage& Msg)
{
    HWND hCtl;
    hCtl = Msg.Receiver;
    hCtl = GetItemHandle(2);
    EnableWindow(hCtl,TRUE);
}

void TSaveasDialog::WInitDialog(TMessage& Msg)
{
    HWND hCtl;
    hCtl = Msg.Receiver;
    hCtl = GetItemHandle(2);
    EnableWindow(hCtl,TRUE);
}

void TSamplingDialog::WInitDialog(TMessage& Msg)
{
    HWND hCtl;
    char buf[30];

    sprintf(buf,"%f",FIR.Sampling);
    hCtl = Msg.Receiver;
    SetDlgItemText(hCtl,2,buf);
    hCtl = GetItemHandle(2);
    EnableWindow(hCtl,TRUE);
}

void TPassbandDialog::WInitDialog(TMessage& Msg)
{
    HWND hCtl;
    char buf[30];

    hCtl = Msg.Receiver;
    sprintf(buf,"%f",FIR.Pbripple);
    SetDlgItemText(hCtl,2,buf);
    hCtl = GetItemHandle(2);
    EnableWindow(hCtl,TRUE);
}

void TStopbandDialog::WInitDialog(TMessage& Msg)
{
    char buf[20];
    HWND hCtl;

    hCtl = Msg.Receiver;
    sprintf(buf,"%f",FIR.Stopbatt);
    SetDlgItemText(hCtl,2,buf);
    hCtl = GetItemHandle(1);
    EnableWindow(hCtl,TRUE);
}

void TFirstedgeDialog::WInitDialog(TMessage& Msg)
{
    HWND hCtl;
    char buf[20];

    hCtl = Msg.Receiver;
    sprintf(buf,"%f",FIR.Firstedge);
    SetDlgItemText(hCtl,2,buf);
    hCtl = GetItemHandle(2);
    EnableWindow(hCtl,TRUE);
}

void TSecondedgeDialog::WInitDialog(TMessage& Msg)
{
    char buf[20];
    HWND hCtl;

    hCtl = Msg.Receiver;
    sprintf(buf,"%f",FIR.Secondedge);
    SetDlgItemText(hCtl,2,buf);
    hCtl = GetItemHandle(2);
    EnableWindow(hCtl,TRUE);
}

```

```

}

void TThirdedgeDialog::WInitDialog(TMessage& Msg)
{
    HWND hCtl;
    char buf[20];

    hCtl = Msg.Receiver;
    sprintf(buf, "%.2f", FIR.Thirdedge);
    SetDlgItemText(hCtl, 2, buf);
    hCtl = GetItemHandle(2);
    EnableWindow(hCtl, TRUE);
}

void TFourthedgeDialog::WInitDialog(TMessage& Msg)
{
    HWND hCtl;
    char buf[20];

    hCtl = Msg.Receiver;
    sprintf(buf, "%.2f", FIR.Fourthedge);
    SetDlgItemText(hCtl, 2, buf);
    hCtl = GetItemHandle(2);
    EnableWindow(hCtl, TRUE);
}

```

```

void TTestDialog::WCommand(TMessage& Msg)
{
    switch(Msg.WParam) {
        case 1:
            HWND hwndParent;
            GetDlgItemText(HWindow, 2, lpBuffer, cbBuffer);
            hwndParent = GetParent(Msg.Receiver);
            CloseWindow(Msg.Receiver);
            SendMessage(hwndParent, WM_COMMAND, 10, 0L);
            break;
    }
}

```

```

void TSaveasDialog::WCommand(TMessage& Msg)
{
    switch(Msg.WParam) {
        case 1:
            HWND hwndParent;

            GetDlgItemText(HWindow, 2, lpBuffer, cbBuffer);
            hwndParent = GetParent(Msg.Receiver);
            CloseWindow(Msg.Receiver);
            SendMessage(hwndParent, WM_COMMAND, 20, 0L);

            break;
    }
}

```

```

void TSamplingDialog::WCommand(TMessage& Msg)
{
    switch(Msg.WParam) {
        case 1:
            HWND hwndParent;

            GetDlgItemText(HWindow, 2, lpBuffer, cbBuffer);
            hwndParent = GetParent(Msg.Receiver);
            CloseWindow(Msg.Receiver);
            SendMessage(hwndParent, WM_COMMAND, 30, 0L);

            break;
    }
}

```

```

void TPassbandDialog::WCommand(TMessage& Msg)
{
    switch(Msg.WParam) {
        case 1:
            HWND hwndParent;

            GetDlgItemText(HWindow, 2, lpBuffer, cbBuffer);
            hwndParent = GetParent(Msg.Receiver);
            CloseWindow(Msg.Receiver);
            SendMessage(hwndParent, WM_COMMAND, 40, 0L);

            break;
    }
}

```

```

void TStopbandDialog::WCommand(TMessage& Msg)
{
    switch(Msg.WParam) {
        case 1:
            HWND hwndParent;

```

```

        GetDlgItemText(HWindow,2,lpBuffer,cbBuffer);
        hwndParent = GetParent(Msg.Receiver);
        CloseWindow(Msg.Receiver);
        SendMessage(hwndParent,WM_COMMAND,50,0L);

        break;
    }
}

void TFirstedgeDialog::WMCommand(TMessage& Msg)
{
    switch(Msg.WParam) {
        case 1:
            HWND hwndParent;

            GetDlgItemText(HWindow,2,lpBuffer,cbBuffer);
            hwndParent = GetParent(Msg.Receiver);
            CloseWindow(Msg.Receiver);
            SendMessage(hwndParent,WM_COMMAND,60,0L);

            break;
    }
}

void TSecondedgeDialog::WMCommand(TMessage& Msg)
{
    switch(Msg.WParam) {
        case 1:
            HWND hwndParent;

            GetDlgItemText(HWindow,2,lpBuffer,cbBuffer);
            hwndParent = GetParent(Msg.Receiver);
            CloseWindow(Msg.Receiver);
            SendMessage(hwndParent,WM_COMMAND,70,0L);

            break;
    }
}

void TThirdedgeDialog::WMCommand(TMessage& Msg)
{
    switch(Msg.WParam) {
        case 1:
            HWND hwndParent;

            GetDlgItemText(HWindow,2,lpBuffer,cbBuffer);
            hwndParent = GetParent(Msg.Receiver);
            CloseWindow(Msg.Receiver);
            SendMessage(hwndParent,WM_COMMAND,80,0L);

            break;
    }
}

void TFourthedgeDialog::WMCommand(TMessage& Msg)
{
    switch(Msg.WParam) {
        case 1:
            HWND hwndParent;

            GetDlgItemText(HWindow,2,lpBuffer,cbBuffer);
            hwndParent = GetParent(Msg.Receiver);
            CloseWindow(Msg.Receiver);
            SendMessage(hwndParent,WM_COMMAND,90,0L);

            break;
    }
}

void TMarkerWindow::WMLButtonDown(TMessage& Msg)
{
    PAINTSTRUCT ps;

    if(cpt<MAXPOINTS) {
        pt[cpt].x = MOUSEX(Msg);
        pt[cpt].y = MOUSEY(Msg);
        InvalidateRect(HWindow,NULL,FALSE);
    }
}

void TMarkerWindow::Paint(HDC hdc,PAINTSTRUCT& ps)
{
    OOHDC = ps.hdc;
    OOHWND = HWindow;
    RECT r;
    if(!FIR.Canplot) {

```

```

        SelectObject(hdc,GetStockObject(LTGRAY_BRUSH));
        GetClientRect(HWindow,&r);
        Rectangle(ps.hdc,r.left,r.top,r.right,r.bottom);
    }
}

void TMarkerWindow::WMSetfocus(TMessage& Msg)
{
    UpdateWindow(HWindow);
    if(FIR.Canplot&&(COMMANDMSG(Msg)==WA_ACTIVE) ) {
        FIR.Change = 1;
    }
}

void TMarkerWindow::WMErasebknd(TMessage& Msg)
{
    HWND hwnd;
    hwnd = GetActiveWindow();
    UpdateWindow(Msg.Receiver);
    if(FIR.Canplot&&FIR.Repaint) {
        FIR.Change = 1;
        SendMessage(Msg.Receiver,WM_COMMAND,GAIN+(int)FIR.Display,0L);
        SetActiveWindow(hwnd);
    }
    FIR.Repaint = 1;
}

void TMarkerWindow::WMCommand(TMessage& Msg)
{
    char buffer[80];
    HMENU hmenu;
    HMENU hmenuTop;

    if(COMMANDMSG(Msg)==EXITTO)
        SendMessage(HWindow,WM_SYSCOMMAND,SC_CLOSE,0L);
    else {
        switch(COMMANDMSG(Msg)) {

        case FNOOPEN:
            {
                FILE *fp;
                char title[80];

                if( !strcmp(testtext,"") ) strcpy(testtext,"NONAME.FIR");
                if( (fp = fopen(testtext,"rb")) != NULL ) {

                    strcpy(FIR.Savename,testtext);
                    sprintf(title,"FIR FILTER - < %s >",FIR.Savename);
                    SetCaption(title);
                    fread(&FIR.savespec,sizeof(FIR.savespec),1,fp);
                    FIR.Sampling = FIR.savespec.sampling;
                    FIR.Pbripple = FIR.savespec.pbripple;
                    FIR.Stopbatt = FIR.savespec.stopbatt;
                    FIR.Firstedge = FIR.savespec.firstedge;
                    FIR.Secondedge = FIR.savespec.secondedge;
                    FIR.Thirddedge = FIR.savespec.thirddedge;
                    FIR.Fourthedge = FIR.savespec.fourthedge;

                    hmenuTop = GetMenu(HWindow);

                    hmenu = GetSubMenu(hmenuTop,2);
                    CheckMenuItem(hmenu,2*FIR.Filtertype,MF_UNCHECKED|MF_BYPOSITION);
                    FIR.Filtertype = FIR.savespec.type;
                    CheckMenuItem(hmenu,2*FIR.Filtertype,MF_CHECKED|MF_BYPOSITION);

                    hmenu = GetSubMenu(hmenuTop,3);
                    CheckMenuItem(hmenu,FIR.Windowtype,MF_UNCHECKED|MF_BYPOSITION);
                    FIR.Windowtype = FIR.savespec.windowtype;
                    CheckMenuItem(hmenu,FIR.Windowtype,MF_CHECKED|MF_BYPOSITION);

                    hmenu = GetSubMenu(hmenuTop,5);
                    FIR.Optimize = FIR.savespec.optimize;
                    if(FIR.Optimize) {
                        CheckMenuItem(hmenu,2,MF_CHECKED|MF_BYPOSITION);
                    }
                    else {
                        CheckMenuItem(hmenu,2,MF_UNCHECKED|MF_BYPOSITION);
                    }

                    hmenu = GetSubMenu(hmenuTop,4);
                    CheckMenuItem(hmenu,FIR.Display,MF_UNCHECKED|MF_BYPOSITION);
                    FIR.Display = FIR.savespec.display;
                    CheckMenuItem(hmenu,FIR.Display,MF_CHECKED|MF_BYPOSITION);
                    //SendMessage(Msg.Receiver,WM_COMMAND,GAIN+(int)FIR.Display,0L);
                    fclose(fp);
                }
            }
        }
    }
}

```



```

        CheckMenuItem(hmenu,FIR.Display,MF_CHECKED|MF_BYPOSITION);
        FIR.Change = 1;
        FIR.WindowChange = 0;
        FIR.first = 1;
        SendMessage(HWindow,WM_COMMAND,COMPI,0L);

        break;
    }
}
case FNSAVEAS:
{
    FILE *fp;
    char title[80];

    if( (fp = fopen(testtext,"wb")) != NULL ) {
        strcpy(FIR.Savename,testtext);
        FIR.savespec.type = FIR.Filtertype;
        FIR.savespec.sampling = FIR.Sampling;
        FIR.savespec.pbripple = FIR.Pbripple;
        FIR.savespec.stopbatt = FIR.Stopbatt;
        FIR.savespec.firstedge= FIR.Firstedge;
        FIR.savespec.secondedge=FIR.Secondedge;
        FIR.savespec.thirdedge= FIR.Thirdedge;
        FIR.savespec.fourthedge=FIR.Fourthedge;
        FIR.savespec.windowtype=FIR.Windowtype;
        FIR.savespec.display = FIR.Display;
        FIR.savespec.optimize = FIR.Optimize;

        fwrite(&FIR.savespec,sizeof(FIR.savespec),1,fp);
        fclose(fp);
        sprintf(title,"FIR FILTER - { %s }",FIR.Savename);
        SetCaption(title);
    }
    else MessageBox(Msg.Receiver,"Can not write to file","MESSAGE",MB_OK);
    break;
}

case FNSAMPLING:
{
    float tmp;
    char *er;
    tmp = strtod(testtext,&er);
    if( *testtext == NULL ) tmp = FIR.Sampling;
    if( (*er != NULL) ) tmp = FIR.Sampling;
    if( (tmp < 4000.0) || (tmp <= 1.0) ) {
        FIR.Sampling = 4000.0;
        FIR.WindowChange = 0;
    }
    if(tmp > 110000.0) {
        FIR.Sampling = 110000.0;
        FIR.WindowChange = 0;
    }
    else {
        FIR.Sampling = tmp;
        FIR.WindowChange = 0;
    }

    SendMessage(HWindow,WM_COMMAND,COMPI,0L);
    break;
}

case FNPASSBR:
{
    float tmp;
    char *er;
    tmp = strtod(testtext,&er);
    if( *testtext == NULL ) tmp = FIR.Pbripple;
    if(*er != NULL) tmp = FIR.Pbripple;
    if(tmp < 0.001) {
        FIR.Pbripple = 0.001;
        FIR.WindowChange = 0;
        SendMessage(HWindow,WM_COMMAND,COMPI,0L);
        break;
    }
    if(tmp > 20) {
        FIR.Pbripple = 20;
        FIR.WindowChange = 0;
    }
    else {
        FIR.Pbripple = tmp;
        FIR.WindowChange = 0;
    }

    SendMessage(HWindow,WM_COMMAND,COMPI,0L);
    break;
}

case FNSTBND:
{
    float tmp;
    char *er;
    tmp = strtod(testtext,&er);
    if( *testtext == NULL ) tmp = FIR.Stopbatt;

```

```

if(*er != NULL) tmp = FIR.Stopbatt;
if(tmp < 5.0) {
    FIR.Pbriple = 5.0;
    FIR.WindowChange = 0;
    SendMessage(HWindow,WM_COMMAND,COMPI,0L);
    break;
}
if(tmp > 200.0) {
    FIR.Pbriple = 200.0;
    FIR.WindowChange = 0;
}
else {
    FIR.Stopbatt = tmp;
    FIR.WindowChange = 0;
}
SendMessage(HWindow,WM_COMMAND,COMPI,0L);
break;
}
case FNFEQ:
{
    float tmp;
    char *er;

    tmp = strtod(testtext,&er);
    if( *testtext == NULL ) tmp = FIR.Firstedge;
    if(*er != NULL) tmp = FIR.Firstedge;
    if((tmp<(FIR.Sampling/2.0)))
    {
        /* &&
        (tmp<FIR.Secondedge) &&
        (tmp<FIR.Thirdedge) &&
        (tmp<FIR.Fourthedge) */

        FIR.Firstedge = tmp;
        FIR.WindowChange = 0;
        SendMessage(HWindow,WM_COMMAND,COMPI,0L);
    }
    else putch(7);
    break;
}
case FNSEGE:
{
    float tmp;
    char *er;
    tmp = strtod(testtext,&er);
    if( *testtext == NULL ) tmp = FIR.Secondedge;
    if(*er != NULL) tmp = FIR.Secondedge;
    if( tmp<((FIR.Sampling/2.0)))
    { /*&&
    (tmp>FIR.Firstedge) &&
    (tmp<FIR.Thirdedge) &&
    (tmp<FIR.Fourthedge) */

        FIR.Secondedge = tmp;
        FIR.WindowChange = 0;
        SendMessage(HWindow,WM_COMMAND,COMPI,0L);
    }
    else putch(7);
    break;
}
case FNTEDEG:
{
    float tmp;
    char *er;
    tmp = strtod(testtext,&er);
    if( *testtext == NULL ) tmp = FIR.Thirdedge;
    if(*er != NULL) tmp = FIR.Thirdedge;
    if( tmp<((FIR.Sampling/2.0)))
    { /*&&
    (tmp>FIR.Firstedge) &&
    (tmp>FIR.Secondedge) &&
    (tmp<FIR.Fourthedge) */

        FIR.Thirdedge = tmp;
        FIR.WindowChange = 0;
        SendMessage(HWindow,WM_COMMAND,COMPI,0L);
    }
    else putch(7);
    break;
}
case FNFEDGE:
{
    float tmp;
    char *er;
    tmp = strtod(testtext,&er);
    if( *testtext == NULL ) tmp = FIR.Fourthedge;
    if(*er != NULL) tmp = FIR.Fourthedge;
    if( tmp<((FIR.Sampling/2.0)))

```

เอกสารนี้เป็นเอกสารราชการ
 ไม่ควรเผยแพร่
 ไม่ควรนำออกนอกหน่วยงานราชการ
 หากมีข้อผิดพลาดประการใด
 ขออภัยเป็นอย่างสูง
 และขอแจ้งถึงเจ้าของเอกสารทุกครั้งที่มีการนำไปใช้

```

(
    /*&&
    (tmp>FIR.Firstedge) &&
    (tmp>FIR.Secondedge) &&
    (tmp>FIR.Thirdedge) ) */

    FIR.Fourthedge = tmp;
    FIR.WindowChange = 0;
    SendMessage(HWindow,WM_COMMAND,COMPI,0L);
}
else putch(7);
break;

}

case HELPP:
    TDialog *PHelp;
    /*PHelp = new TDialog(this,"HELP");*/
    PHelp = new TDialog(this,"HELP");
    GetApplication()->ExecDialog(PHelp);
    break;

case AB:
    TDialog *PAbout;
    PAbout = new TDialog(this,"ABOUT");
    GetApplication()->ExecDialog(PAbout);
    break;

case VER:
    TDialog *PAversion;
    PAversion = new TDialog(this,"VERSION");
    GetApplication()->ExecDialog(PAversion);
    break;

case OPEN:
    FIR.Repaint = 0;

    if(ptTestDialog && IsWindow(ptTestDialog->HWindow)) {
        SetActiveWindow(ptTestDialog->HWindow);
    }
    else {
        ptTestDialog = new TTestDialog(this,"TEST",testtext,TEXTBUFFER);
    }
    GetApplication()->MakeWindow(ptTestDialog);
    break;

case SAVEAS:
    if(ptSaveasDialog && IsWindow(ptSaveasDialog->HWindow)) {
        SetActiveWindow(ptSaveasDialog->HWindow);
    }
    else {
        ptSaveasDialog = new TSaveasDialog(this,"SAVEAS",testtext,TEXTBUFFER);
    }
    GetApplication()->MakeWindow(ptSaveasDialog);
    break;

case SAMPLING:
    FIR.Repaint = 0;

    if(ptSamplingDialog && IsWindow(ptSamplingDialog->HWindow)) {
        SetActiveWindow(ptSamplingDialog->HWindow);
    }
    else {
        ptSamplingDialog = new TSamplingDialog(this,"SAMPLING",testtext,TEXTBUFFER);
    }
    GetApplication()->MakeWindow(ptSamplingDialog);

    break;

case PRIPPLE:
    FIR.Repaint = 0;

    if(ptPassbandDialog && IsWindow(ptPassbandDialog->HWindow)) {
        SetActiveWindow(ptPassbandDialog->HWindow);
    }
    else {
        ptPassbandDialog = new TPassbandDialog(this,"PASSBR",
            testtext,TEXTBUFFER);
    }
    GetApplication()->MakeWindow(ptPassbandDialog);
    break;

case SRIPPLE:
    FIR.Repaint = 0;

    if(ptStopbandDialog && IsWindow(ptStopbandDialog->HWindow)) {
        SetActiveWindow(ptStopbandDialog->HWindow);
    }
    else {
        ptStopbandDialog = new TStopbandDialog(this,"STBND",
            testtext,TEXTBUFFER);
    }
    GetApplication()->MakeWindow(ptStopbandDialog);
    break;

```

เอกสารนี้เป็นเอกสารที่จัดทำขึ้นเพื่อใช้ในการศึกษาเท่านั้น ไม่อนุญาตให้นำไปใช้ประโยชน์ด้านการค้า
 ไม่ว่ากรณีใดๆ ทั้งสิ้น อีกทั้งห้ามมิให้ตัดแปลงเนื้อหาและต้องอ้างอิงถึงเจ้าของเอกสารทุกครั้งที่มีการนำไปใช้

```

case FEDGE:
    FIR.Repaint = 0;

    if(ptFirstedgeDialog && IsWindow(ptFirstedgeDialog->HWindow)) {
        SetActiveWindow(ptFirstedgeDialog->HWindow);
    }
    else {
        ptFirstedgeDialog = new TFirstedgeDialog(this,"FEG",testtext,TEXTBUFFER);
    }
    GetApplication()->MakeWindow(ptFirstedgeDialog);
    break;

case SEDGE:
    FIR.Repaint = 0;

    if(ptSecondedgeDialog && IsWindow(ptSecondedgeDialog->HWindow)) {
        SetActiveWindow(ptSecondedgeDialog->HWindow);
    }
    else {
        ptSecondedgeDialog = new TSecondedgeDialog(this,"SEGE",testtext,TEXTBUFFER);
    }
    GetApplication()->MakeWindow(ptSecondedgeDialog);
    break;

case TEDGE:
    FIR.Repaint = 0;

    if(ptThirddedgeDialog && IsWindow(ptThirddedgeDialog->HWindow)) {
        SetActiveWindow(ptThirddedgeDialog->HWindow);
    }
    else {
        ptThirddedgeDialog = new TThirddedgeDialog(this,"TEDG",testtext,TEXTBUFFER);
    }
    GetApplication()->MakeWindow(ptThirddedgeDialog);
    break;

case FTHEDGE:
    FIR.Repaint = 0;

    if(ptFourthedgeDialog && IsWindow(ptFourthedgeDialog->HWindow)) {
        SetActiveWindow(ptFourthedgeDialog->HWindow);
    }
    else {
        ptFourthedgeDialog = new TFourthedgeDialog(this,"FEDGE",
                                                    testtext,TEXTBUFFER);
    }
    GetApplication()->MakeWindow(ptFourthedgeDialog);
    break;

case LPP:
    {
        hmenuTop = GetMenu(HWindow);
        hmenu = GetSubMenu(hmenuTop,2);
        CheckMenuItem(hmenu,2*FIR.Filtertype,MF_UNCHECKED|MF_BYPOSITION);
        CheckMenuItem(hmenu,0,MF_CHECKED|MF_BYPOSITION);
        if(FIR.Filtertype!=0) FIR.WindowChange = 0;
        FIR.Filtertype = 0;

        SendMessage(HWindow,WM_COMMAND,COMPI,0L);
        break;
    }

case HP:
    {
        hmenuTop = GetMenu(HWindow);
        hmenu = GetSubMenu(hmenuTop,2);
        CheckMenuItem(hmenu,2*FIR.Filtertype,MF_UNCHECKED|MF_BYPOSITION);
        CheckMenuItem(hmenu,2,MF_CHECKED|MF_BYPOSITION);
        if(FIR.Filtertype!=1) FIR.WindowChange = 0;
        FIR.Filtertype = 1;
        SendMessage(HWindow,WM_COMMAND,COMPI,0L);
        break;
    }

case BP:
    {
        hmenuTop = GetMenu(HWindow);
        hmenu = GetSubMenu(hmenuTop,2);
        CheckMenuItem(hmenu,2*FIR.Filtertype,MF_UNCHECKED|MF_BYPOSITION);
        CheckMenuItem(hmenu,4,MF_CHECKED|MF_BYPOSITION);
        if(FIR.Filtertype!=2) FIR.WindowChange = 0;
        FIR.Filtertype = 2;
        SendMessage(HWindow,WM_COMMAND,COMPI,0L);
        break;
    }

case BR:
    {
        hmenuTop = GetMenu(HWindow);

```

เอกสารนี้เป็นเอกสารที่สงวนไว้สำหรับการใช้งานเพื่อการศึกษาเท่านั้น ไม่อนุญาตให้นำไปใช้ประโยชน์ด้านการค้า
 ไม่ว่ากรณีใดๆ ทั้งสิ้น อีกทั้งห้ามเผยแพร่ต่อแหล่งอื่นและต้องอ้างอิงถึงเจ้าของเอกสารทุกครั้งที่มีการนำไปใช้

```

hmenu = GetSubMenu(hmenuTop,2);
CheckMenuItem(hmenu,2*FIR.Filtertype,MF_UNCHECKED|MF_BYPOSITION);
CheckMenuItem(hmenu,6,MF_CHECKED|MF_BYPOSITION);
if(FIR.Filtertype!=3) FIR.WindowChange = 0;
FIR.Filtertype = 3;
SendMessage(HWindow,WM_COMMAND,COMPI,0L);
break;
}

```

case RCT:

```

{
hmenuTop = GetMenu(HWindow);
hmenu = GetSubMenu(hmenuTop,3);
CheckMenuItem(hmenu,FIR.Windowtype,MF_UNCHECKED|MF_BYPOSITION);
CheckMenuItem(hmenu,0,MF_CHECKED|MF_BYPOSITION);
if(FIR.Windowtype!=0) FIR.WindowChange = 0;
FIR.Windowtype = 0;
FIR.WindowChange = 1;
SendMessage(HWindow,WM_COMMAND,COMPI,0L);
break;
}

```

case KAISER:

```

{
hmenuTop = GetMenu(HWindow);
hmenu = GetSubMenu(hmenuTop,3);
CheckMenuItem(hmenu,FIR.Windowtype,MF_UNCHECKED|MF_BYPOSITION);
CheckMenuItem(hmenu,1,MF_CHECKED|MF_BYPOSITION);
if(FIR.Windowtype!=1) FIR.WindowChange = 0;
FIR.Windowtype = 1;
FIR.WindowChange = 1;
SendMessage(HWindow,WM_COMMAND,COMPI,0L);
break;
}

```

case HANN:

```

{
hmenuTop = GetMenu(HWindow);
hmenu = GetSubMenu(hmenuTop,3);
CheckMenuItem(hmenu,FIR.Windowtype,MF_UNCHECKED|MF_BYPOSITION);
CheckMenuItem(hmenu,2,MF_CHECKED|MF_BYPOSITION);
if(FIR.Windowtype!=2) FIR.WindowChange = 0;
FIR.Windowtype = 2;
FIR.WindowChange = 1;
SendMessage(HWindow,WM_COMMAND,COMPI,0L);
break;
}

```

case HAMM:

```

{
hmenuTop = GetMenu(HWindow);
hmenu = GetSubMenu(hmenuTop,3);
CheckMenuItem(hmenu,FIR.Windowtype,MF_UNCHECKED|MF_BYPOSITION);
CheckMenuItem(hmenu,3,MF_CHECKED|MF_BYPOSITION);
if(FIR.Windowtype!=3) FIR.WindowChange = 0;
FIR.Windowtype = 3;
FIR.WindowChange = 1;
SendMessage(HWindow,WM_COMMAND,COMPI,0L);
break;
}

```

case BLKMAN:

```

{
hmenuTop = GetMenu(HWindow);
hmenu = GetSubMenu(hmenuTop,3);
CheckMenuItem(hmenu,FIR.Windowtype,MF_UNCHECKED|MF_BYPOSITION);
CheckMenuItem(hmenu,4,MF_CHECKED|MF_BYPOSITION);
if(FIR.Windowtype!=4) FIR.WindowChange = 0;
FIR.Windowtype = 4;
FIR.WindowChange = 1;
SendMessage(HWindow,WM_COMMAND,COMPI,0L);
break;
}

```

case GAIN:

```

{
HBRUSH hbr;
RECT r;
HPEN pen;
int cnt;
int x,y;
float w,result;
float Re,Im;
char tout[80];

```

```

SetActiveWindow(HWindow);
InvalidateRect(HWindow,NULL,FALSE);
SendMessage(HWindow,WM_PAINT,0L,0L);

```

เอกสารนี้เป็นเอกสารลิขสิทธิ์ของมหาวิทยาลัยเทคโนโลยีพระจอมเกล้าเจ้าคุณทหารลาดกระบัง การศึกษาเท่านั้น ไม่อนุญาตให้นำไปใช้ประโยชน์ด้านการค้า

ไม่ว่ากรณีใดๆ ทั้งสิ้น ยี่ห้อยี่ห้อไม่มีให้เห็นแต่ต้องอ้างอิงถึงเจ้าของเอกสารทุกครั้งที่มีการนำไปใช้

```

    hmenu = GetSubMenu(hmenuTop,4);
    CheckMenuItem(hmenu,FIR.Display,MF_UNCHECKED|MF_BYPOSITION);
    CheckMenuItem(hmenu,0,MF_CHECKED|MF_BYPOSITION);
    if(FIR.Display!=0) FIR.Change = 1;
    FIR.Display = 0;

    hbr = GetStockObject(LTGRAY_BRUSH);
    SelectObject(OOHC,hbr);
    GetClientRect(HWindow,&r);
    if(FIR.Change) Rectangle(OOHC,r.left,r.top,r.right,r.bottom);

    if(FIR.Canplot) {
        if(FIR.Change) {
            if( 0x80000000 == SetBkColor(OOHC,RGB(180,180,180))) putch(7);
            FIR.setfactors(-0.25,-0.1,3.4,1.2,HWindow);
            SetTextAlign(OOHC,TA_RIGHT|TA_BASELINE);
            pen = GetStockObject(WHITE_PEN);
            SelectObject(OOHC,pen);
            for(cnt=0;cnt<=11;cnt++) {
                sprintf(tout,"%2f", 1.1*(float)cnt/11.0);
                TextOut(OOHC,FIR.dx(-0.03),FIR.dy(-0.02 + 1.11*(float)(cnt)/11.0),
                    tout,strlen(tout));
                MoveTo(OOHC,FIR.dx(0),FIR.dy(1.1*(float)(cnt)/11.0));
                LineTo(OOHC,FIR.dx(M_PI),FIR.dy(1.1*(float)(cnt)/11.0));
            }
            SetTextAlign(OOHC,TA_CENTER|TA_TOP);
            for(cnt=0;cnt<=5;cnt++) {
                sprintf(tout,"%2f", (M_PI*((float)cnt/5.0))*
                    (FIR.Sampling/(2.0*M_PI)));
                if(cnt) TextOut(OOHC,FIR.dx(M_PI*(float)cnt/5.0),
                    FIR.dy(-0.01),tout,strlen(tout));
                MoveTo(OOHC,FIR.dx(M_PI*(float)cnt/5.0),FIR.dy(0));
                LineTo(OOHC,FIR.dx(M_PI*(float)cnt/5.0),FIR.dy(1.1));
            }
            TextOut(OOHC,FIR.dx(1.57),FIR.dy(1.19),"GAIN",4);
        }

        pen = CreatePen(PS_SOLID,2, Graphplot[FIR.Windowtype]);
        SelectObject(OOHC,pen);
        for(w=0.0;w<M_PI;w+=0.02) {
            Re=0.0;
            Im=0.0;
            for(cnt=0;cnt<FIR.LENGTH;cnt++) {
                Re += FIR.h[cnt]*cos(w*cnt);
                Im += FIR.h[cnt]*sin(w*cnt);
            }
            result = sqrt( (Re*Re)+(Im*Im) );
            x = FIR.dx(w);
            y = FIR.dy(result);
            if(w==0) MoveTo(OOHC,x,y);
            LineTo(OOHC,x,y);
        }
        DeleteObject(pen);
    }
    else Rectangle(OOHC,r.left,r.top,r.right,r.bottom);

    break;
}

case LOGM:
{
    HBRUSH hbr;
    RECT r;
    HPEN pen;
    int cnt;
    int x,y;
    float w,result;
    float Re,Im;
    char tout[20];

    InvalidateRect(HWindow,NULL,FALSE);
    SendMessage(HWindow,WM_PAINT,0L,0L);
    hmenuTop = GetMenu(HWindow);
    hmenu = GetSubMenu(hmenuTop,4);
    CheckMenuItem(hmenu,FIR.Display,MF_UNCHECKED|MF_BYPOSITION);
    CheckMenuItem(hmenu,1,MF_CHECKED|MF_BYPOSITION);
    if(FIR.Display!=1) FIR.Change = 1;
    FIR.Display = 1;

    hbr = GetStockObject(LTGRAY_BRUSH);
    SelectObject(OOHC,hbr);
    GetClientRect(HWindow,&r);
    if(FIR.Change) Rectangle(OOHC,r.left,r.top,r.right,r.bottom);

    if(FIR.Canplot) {
        if(FIR.Change) {
            if( 0x80000000 == SetBkColor(OOHC,RGB(180,180,180))) putch(7);
            FIR.setfactors(-0.35,-225,3.4,55,HWindow);

```

```

        SetTextAlign(OOHDC,TA_RIGHT|TA_BASELINE);
pen = GetStockObject(WHITE_PEN);
SelectObject(OOHDC,pen);
for(cnt=-1;cnt<=11;cnt++) {
    sprintf(tout,"%1f", -240*(float)cnt/12.0);
    TextOut(OOHDC,FIR.dx(-0.03),FIR.dy(-0.02 - 240*(float)(cnt)/12.0),
        tout,strlen(tout));
    MoveTo(OOHDC,FIR.dx(0),FIR.dy(-240*(float)(cnt)/12.0));
    LineTo(OOHDC,FIR.dx(M_PI),FIR.dy(-240*(float)(cnt)/12.0));
}
SetTextAlign(OOHDC,TA_CENTER|TA_BOTTOM);
for(cnt=0;cnt<=5;cnt++) {
    sprintf(tout,"%2f", (M_PI*((float)cnt/5.0))*
        (FIR.Sampling/(2.0*M_PI)));
    if(cnt) TextOut(OOHDC,FIR.dx(M_PI*(float)cnt/5.0),
        FIR.dy(23.5), tout,strlen(tout));
    MoveTo(OOHDC,FIR.dx(M_PI*(float)cnt/5.0),FIR.dy(20));
    LineTo(OOHDC,FIR.dx(M_PI*(float)cnt/5.0),FIR.dy(-240.0));
}
SetTextAlign(OOHDC,TA_CENTER|TA_TOP);
TextOut(OOHDC,FIR.dx(1.57),FIR.dy(52),"LOG MAGNITUDE",13);
}

pen = CreatePen(PS_SOLID,2,Graphplot[FIR.Windowtype]);
SelectObject(OOHDC,pen);
for(w=0.0;w<M_PI;w+=0.01) {
    Re=0.0;
    Im=0.0;
    for(cnt=0;cnt<FIR.LENGTH;cnt++) {
        Re += FIR.h[cnt]*cos(w*cnt);
        Im += FIR.h[cnt]*sin(w*cnt);
    }
    result = sqrt( (Re*Re) + (Im*Im) );
    result = 20 * log(result);
    x = FIR.dx(w);
    y = FIR.dy(result);
    if(w=0) MoveTo(OOHDC,x,y);
    LineTo(OOHDC,x,y);
}
DeleteObject(pen);
}
else Rectangle(OOHDC,r.left,r.top,r.right,r.bottom);
break;
}
}
case PHASE:
{
HBRUSH hbr;
RECT r;
HPEN pen;
int cnt;
int x,y;
float w,result;
float Re,Im;
char tout[20];

InvalidateRect(HWindow,NULL, FALSE);
SendMessage(HWindow,WM_PAINT,0L,0L);
hmenuTop = GetMenu(HWindow);
hmenu = GetSubMenu(hmenuTop,4);
CheckMenuItem(hmenu,FIR.Display,MF_UNCHECKED|MF_BYPOSITION);
CheckMenuItem(hmenu,2,MF_CHECKED|MF_BYPOSITION);
if(FIR.Display!=2) FIR.Change = 1;
FIR.Display = 2;

hbr = GetStockObject(LTGRAY_BRUSH);
SelectObject(OOHDC,hbr);
GetClientRect(HWindow,&r);
if(FIR.Change) Rectangle(OOHDC,r.left,r.top,r.right,r.bottom);

if(FIR.Canplot) {
    FIR.setfactors(-0.33,-1*M_PI-0.8,3.5,M_PI+1.0,HWindow);
    if( 0x80000000 == SetBkColor(OOHDC,RGB(180,180,180))) putch(7);
    SetTextAlign(OOHDC,TA_RIGHT|TA_BASELINE);
    pen = GetStockObject(WHITE_PEN);
    SelectObject(OOHDC,pen);
    for(cnt=-10;cnt<=10;cnt+=2) {
        sprintf(tout,"%2f", M_PI*(float)cnt/10.0);
        TextOut(OOHDC,FIR.dx(-0.03),FIR.dy(-0.09 + M_PI*(float)(cnt)/10.0),
            tout,strlen(tout));
        MoveTo(OOHDC,FIR.dx(0),FIR.dy(M_PI*(float)(cnt)/10.0));
        LineTo(OOHDC,FIR.dx(M_PI),
            FIR.dy(M_PI*(float)(cnt)/10.0));
    }
    SetTextAlign(OOHDC,TA_CENTER|TA_TOP);
    for(cnt=0;cnt<=5;cnt++) {
        sprintf(tout,"%2f",
            (M_PI*((float)cnt/5.0))*(FIR.Sampling/(2.0*M_PI)));

```

เอกสารนี้เป็นเอกสารที่จัดทำขึ้นเพื่อการศึกษานี้เท่านั้น ไม่อนุญาตให้นำไปใช้ประโยชน์ด้านการค้า
ไม่ว่ากรณีใดๆ ทั้งสิ้น อีกทั้งห้ามมิให้คัดลอกเนื้อหาและต้องอ้างอิงถึงเจ้าของเอกสารทุกครั้งที่มีการนำไปใช้

```

        if(cnt) TextOut(OOHDC,FIR.dx(M_PI*(float)cnt/5.0),
            FIR.dy(-1*M_PI - 0.1),tout,strlen(tout));
        MoveTo(OOHDC,FIR.dx(M_PI*(float)cnt/5.0),FIR.dy(-1*M_PI));
        LineTo(OOHDC,FIR.dx(M_PI*(float)cnt/5.0),FIR.dy(M_PI));
    }
    TextOut(OOHDC,FIR.dx(M_PI/2.0),FIR.dy(M_PI+0.85),"PHASE RESPOND",13);

    pen = CreatePen(PS_SOLID,1,Graphplot[FIR.Windowtype]);
    SelectObject(OOHDC,pen);
    for(w=0.0;w<M_PI;w+=0.03) {
        Re=0.0;
        Im=0.0;
        for(cnt=0;cnt<FIR.LENGTH;cnt++) {
            Re += FIR.h[cnt]*cos(w*cnt);
            Im += FIR.h[cnt]*sin(w*cnt);
        }
        result = sqrt(Re*Re+Im*Im);
        result = atan2(-1*Im,Re);
        x = FIR.dx(w);
        y = FIR.dy(result);
        if(w==0) MoveTo(OOHDC,x,y);
        LineTo(OOHDC,x,y);
    }

    DeleteObject(pen);
}
else Rectangle(OOHDC,r.left,r.top,r.right,r.bottom);
break;
}

case IMPULSE:
{
    HBRUSH hbr;
    RECT r;
    HPEN pen;
    int cnt;
    char tout[20];

    InvalidateRect(HWindow,NULL,FALSE);
    SendMessage(HWindow,WM_PAINT,0L,0L);

    hmenuTop = GetMenu(HWindow);
    hmenu = GetSubMenu(hmenuTop,4);
    CheckMenuItem(hmenu,FIR.Display,MF_UNCHECKED|MF_BYPOSITION);
    CheckMenuItem(hmenu,3,MF_CHECKED|MF_BYPOSITION);
    if(FIR.Display!=3) FIR.Change = 1;
    FIR.Display = 3;

    if( 0x80000000 == SetBkColor(OOHDC,RGB(180,180,180))) putch(7);
    hbr = GetStockObject(LTGRAY_BRUSH);
    SelectObject(OOHDC,hbr);
    GetClientRect(HWindow,&r);
    if(FIR.Change) Rectangle(OOHDC,r.left,r.top,r.right,r.bottom);
    if(FIR.Canplot) {

        FIR.setfactors(-1*(float)FIR.LENGTH/10.0),
            -1.1,(float)FIR.LENGTH+(float)FIR.LENGTH/10.0),
            1.2,HWindow);
        SetTextAlign(OOHDC,TA_RIGHT|TA_BASELINE);
        pen = GetStockObject(WHITE_PEN);
        SelectObject(OOHDC,pen);
        for(cnt=-10;cnt<=10;cnt+=2) {
            sprintf(tout,"%2f", 1.0*(float)cnt/10.0);
            TextOut(OOHDC,FIR.dx(-0.07),FIR.dy(-0.02 + 1.0*(float)(cnt)/10.0),
                tout,strlen(tout));
            MoveTo(OOHDC,FIR.dx(0),FIR.dy(1.0*(float)(cnt)/10.0));
            LineTo(OOHDC,FIR.dx((float)FIR.LENGTH),
                FIR.dy(1.0*(float)(cnt)/10.0));
        }
        MoveTo(OOHDC,FIR.dx(0),FIR.dy(1.0));
        LineTo(OOHDC,FIR.dx(0),FIR.dy(-1.0));
        MoveTo(OOHDC,FIR.dx((float)FIR.LENGTH),FIR.dy(1.0));
        LineTo(OOHDC,FIR.dx((float)FIR.LENGTH),FIR.dy(-1.0));
        SetTextAlign(OOHDC,TA_CENTER|TA_TOP);
        TextOut(OOHDC,FIR.dx((float)FIR.LENGTH/2.0),
            FIR.dy(1.15),"IMPULSE RESPOND",14);

        pen = CreatePen(PS_SOLID,2,Graphplot[FIR.Windowtype] /*RGB(255,0,255)*/);
        SelectObject(OOHDC,pen);
        MoveTo(OOHDC,FIR.dx(0),FIR.dy(FIR.h[0]));
        for(cnt=0;cnt<FIR.LENGTH;cnt++){
            MoveTo(OOHDC,FIR.dx((float)cnt),FIR.dy(0));
            LineTo(OOHDC,FIR.dx((float)cnt),FIR.dy(FIR.h[cnt]));
        }
        MoveTo(OOHDC,FIR.dx((float)cnt),FIR.dy(1.0));
    }
}
else Rectangle(OOHDC,r.left,r.top,r.right,r.bottom);
break;
}

```



```

        wprintf(buff,"%s","Send assembly language of current filter complete...");
        MessageBox(HWindow,buff,"MESSAGE",MB_OK);
    }
    else {
        wprintf(buff,"%s","Can not send to DSP board because length of "
                "filter over capability of hardware.");
        MessageBox(HWindow,buff,"MESSAGE",MB_OK);
    }
}
break;
case OPTIMUM:
    hmenuTop = GetMenu(HWindow);
    hmenu = GetSubMenu(hmenuTop,5);
    if(FIR.Optimize) {
        CheckMenuItem(hmenu,2,MF_UNCHECKED|MF_BYPOSITION);
        FIR.Optimize = 0;
    }
    else {
        CheckMenuItem(hmenu,2,MF_CHECKED|MF_BYPOSITION);
        FIR.Optimize = 1;
    }
    FIR.WindowChange = 0;
    SendMessage(HWindow,WM_COMMAND,COMPI,0L);
    break;
case PRINT:
    {
        FIR.Printer = 1;
        if(FIR.PrintMyPage(HWindow)) MessageBox(HWindow,"Could not print",
                "MESSAGE",MB_OK|MB_ICONEXCLAMATION);
        FIR.Printer = 0;
        FIR.WindowChange = 0;
        SendMessage(HWindow,WM_COMMAND,COMPI,0L);
        break;
    }
case SAVE:
    {
        FILE *fp;
        char title[80];

        if(strcmp(FIR.Savename,"NONAME.FIR")) {
            if( (fp = fopen(FIR.Savename,"wb")) != NULL ) {
                FIR.savespec.type = FIR.Filtertype;
                FIR.savespec.sampling = FIR.Sampling;
                FIR.savespec.pbripple = FIR.Pbripple;
                FIR.savespec.stopbatt = FIR.Stopbatt;
                FIR.savespec.firstedge= FIR.Firstedge;
                FIR.savespec.secondedge=FIR.Secondedge;
                FIR.savespec.thirdedge= FIR.Thirdedge;
                FIR.savespec.fourthedge=FIR.Fourthedge;
                FIR.savespec.windowtype=FIR.Windowtype;
                FIR.savespec.display = FIR.Display;
                FIR.savespec.optimize = FIR.Optimize;

                fwrite(&FIR.savespec,sizeof(FIR.savespec),1,fp);
                fclose(fp);
                sprintf(title,"FIR FILTER - ( %s )",FIR.Savename);
                SetCaption(title);
            }
            break;
        }
        else {
            SendMessage(HWindow,WM_COMMAND,SAVEAS,0L);
            break;
        }
    }
default:
    wprintf(buffer, "Command = %d",COMMANDMSG(Msg));
    MessageBox(HWindow,buffer,"WM_COMMAND",MB_OK);
}
}
}

```

```

void DrawMarker(HDC hdc,int x,int y)

```

```

{
    int i;
    int rop;

    for(i=0;i<=MARKERSIZE;i++) {
        rop = SetROP2(hdc, R2_COPYPEN);
        SetPixel(hdc,x+i,y,RGB(200,0,0));
        SetPixel(hdc,x-i,y,RGB(0,200,0));
        SetPixel(hdc,x,y+i,RGB(0,0,200));
        SetPixel(hdc,x,y-i,RGB(200,0,200));
    }
}

```

```

    SetROP2(hdc,rop);
}

void Filter::setfactors(float lefta1,float bottomb1,
                      float righta2,float upperb2,HWND hwnd)
{
    RECT r;
    short cx,cy;

    GetClientRect(hwnd,&r);
    if(!FIR.Printer) {
        X1 = lefta1;
        X2 = righta2;
        Y1 = bottomb1;
        Y2 = upperb2;
        PY = (int)(r.bottom - r.top)/1;
        XF = (float) ((float)(r.right - r.left))/(float)(righta2 - lefta1);
        YF = (float) ((float)(r.bottom - r.top))/(float)(upperb2 - bottomb1);
    }
    else {
        X1 = lefta1;
        X2 = righta2;
        Y1 = bottomb1;
        Y2 = upperb2;
        cx = GetDeviceCaps(PR HDC,HORZRES);
        cy = (GetDeviceCaps(PR HDC,VERTRES))/2;

        PY = (int)(cy)/1;
        XF = (float) ((float)(cx))/(float)(righta2 - lefta1);
        YF = (float) ((float)(cy))/(float)(upperb2 - bottomb1);
    }
}

int Filter::dx(float VX)
{
    return ( (int) (XF*(VX-X1))); /* return x coordinated */
}

int Filter::dy(float VY)
{
    return ( (int) ((PY-( YF*VY) - (YF*Y1) ))/1 );
}

void Filter::coordinate(int startx,int starty,int endx,int endy)
{
    char NUM[5];
    int CNTR;

    for(CNTR=startx;CNTR<=endx;CNTR++) {
        MoveTo(OOHDC,dx(CNTR),dy(0));
        LineTo(OOHDC,dx(CNTR),(dy(0)+3));
    }
    for(CNTR=starty;CNTR<=endy;CNTR++) {
        MoveTo(OOHDC,dx(0)-3,dy(CNTR));
        LineTo(OOHDC,dx(0)+3,dy(CNTR));
    }
    MoveTo(OOHDC,dx(X1),dy(0));
    LineTo(OOHDC,dx(X2),dy(0));
    MoveTo(OOHDC,dx(0),dy(Y1));
    LineTo(OOHDC,dx(0),dy(Y2));
}

int Filter::KaiserOptimize(int type,float center,float Aa,float Ap,float Fp,
                          float Fa,float sampling,float *h,int *hh,
                          HWND hwnd,int wintype)
{
    int cnt;
    int linear;
    unsigned int num,timeb,N;
    float lo;
    float tmp;
    float thethaa,thethap,Wc,Ws;
    float temp;
    float alpha,beta;
    float D;
    char status[200];

    for(cnt=0;cnt<3000;cnt++) {
        *(h+cnt) = 0;
    }

    sampling = 1000000.0/sampling;
    timeb = (int)(sampling/1);
    if(timeb>255) {
        timeb = 255;
    }
    sampling = 1000000/(float)timeb;
    FIR.Sampling = sampling;
    if( (FIR.Filtertype<2)&&((FIR.Firstedge>=FIR.Secondedge))|

```

```

(FIR.Firstedge>=FIR.Sampling/2.0)||
(FIR.Secondedge>=FIR.Sampling/2.0) )
{
    wprintf(status,"%s","Specification of filter error...");
    FIR.Canplot = 0;
    MessageBox(hwnd,status,"Error",MB_OK);
    return(0);
}

if( (FIR.Filtertype>1)&&( FIR.Firstedge>=FIR.Secondedge)||
(FIR.Secondedge>=FIR.Thirdedge)||
(FIR.Thirdedge>=FIR.Fourthedge)||
(FIR.Fourthedge>=FIR.Sampling/2.0) ) )
{
    wprintf(status,"%s","Specification of filter error...");
    FIR.Canplot = 0;
    MessageBox(hwnd,status,"Error",MB_OK);
    return(0);
}

Fa = 2*Fa/sampling;
Fp = 2*Fp/sampling;
Ws = 2.0;
center = 2*center/sampling;
Wc = 0.5*(Fa+Fp)*M_PI;
if( (type == 1) ) Wc = M_PI-Wc;
temp = pow(10,0.05*Ap);
thethap = (temp-1)/(temp+1);
thethaa = pow(10,-1*0.05*Aa);
if(thethap<thethaa) thethaa = thethap;
Aa = -1*20*log(thethaa);
if(Aa<21.0) {
    alpha = 0.0;
    D = 0.9222;
}
else {
    D = (Aa-7.95)/14.36;
    if( (Aa>21.0)&&(Aa<50) ) {
        alpha = (0.5842*pow(Aa-20.0,0.4)) + 0.07886*(Aa-21);
    }
    else alpha = 0.1102*(Aa-8.7);
}
Ws = (Ws*D/(Fa-Fp)) + 1;
num = (int)Ws/1;
if(num%2 == 0) num++;
N = num;

if(FIR.Optimize) {
    /* extend to the maximum capability */
    while( (1.0/sampling) > ((23+(2*num))*200.0/1000000000.0) && (num<81) ) {
        num+=2;
    }
    /* reduce to the maximum capability of hardware */
    if( (1.0/sampling) < ((23+(2*num))*200.0/1000000000.0) ) num-=4;
}

N = num;
if(N>=2000) N = num = 2000;

    linear = (num-1)/2;
h[linear] = Wc/M_PI;
for(cnt=1;cnt<linear;cnt++) {
    h[cnt] = h[num-cnt-1] = sin(Wc*(num-cnt-linear-1))/((num-cnt-linear-1)*M_PI);
}

// Kaiser window
if(wintype==1) {
    Io = FIR.I(alpha);

    for(cnt=0;cnt<num;cnt++) {
        tmp = (((float)2*(cnt-linear))/(float)(num-1));
        tmp *= tmp;
        //if(tmp>1.0) tmp = 0.99999999999999999999;
        tmp = FIR.I(alpha*sqrt( fabs(1.0-tmp) ));
        h[cnt] = h[cnt] * tmp / Io;
    }
}

// Hann window
if(wintype==2) {
    for(cnt=0;cnt<num;cnt++) {
        h[cnt] = h[cnt] * (0.5 + (0.5*cos(2*M_PI*(cnt-linear)/num)));
    }
}

// Hamming window
if(wintype==3) {
    for(cnt=0;cnt<num;cnt++) {

```

เอกสารนี้เป็นเอกสารสงวนลิขสิทธิ์สำหรับการใช้งานเพื่อการศึกษาเท่านั้น ไม่อนุญาตให้拿去ใช้ประโยชน์ด้านการค้า
 ไม่ว่ากรณีใดๆ ทั้งสิ้น อีกทั้งห้ามมิให้ดัดแปลงเนื้อหาและต้องอ้างอิงถึงเจ้าของเอกสารทุกครั้งที่มีการนำไปใช้

```

        h[cnt] = h[cnt] * (0.54 + (0.46*cos(2*M_PI*(cnt-linear)/num)));
    }
}

if(wintype==4) {
    for(cnt=0;cnt<num;cnt++) {
        h[cnt] = h[cnt] * ( (0.42 + (0.5*cos(2*M_PI*(cnt-linear)/num))) +
            (0.08*cos(4*M_PI*cnt/num)));
    }
}

if(type==1) {
    for(cnt=0;cnt<num;cnt++) {
        if(cnt%2 != 0) h[cnt] = -1*h[cnt];
    }
}

if(type==2) {
    for(cnt=0;cnt<num;cnt++) {
        h[cnt] = 2*h[cnt]*cos((cnt-linear)*M_PI*center);
    }
}

if(type==3) {
    for(cnt=0;cnt<num;cnt++) {
        h[cnt] = 2*h[cnt]*cos((cnt-linear)*M_PI*center);
    }
    temp = h[linear];
    for(cnt=0;cnt<num;cnt++) {
        h[cnt] = -1 * h[cnt];
    }
    h[linear] = 1-temp;
}

FIR.LENGTH = N;
if( (N<=81)&&((1.0/sampling) >= (23+(2*num))*200.0/100000000.0) ) {
    Success = 1;
    FIR.TIMEBASE = timeb;

    FIR.quantize(h,N,hh);
    FIR.converse(h,hh,N,hwnd);
}
else Success = 0;
if(!Success) {
    sprintf(status,"Filter's length of %d is over capability of hardware\n",N);
    wsprintf(status,"%s",status);
    MessageBox(hwnd,status,"MESSAGE",MB_OK);
}
FIR.Canplot = 1;
return(N);
}

```

```

void Filter::quantize(float *h,int num,int *hh)

```

```

{
    int cnt,cnt1;
    float temp;
    int flag=0;
    unsigned int quantized=0;

    for(cnt=0;cnt<num;cnt++){
        flag=0;
        temp = h[cnt];
        if(temp<0) {
            flag = 1;
            temp = 0-temp;
        }

        for(cnt1=0;cnt1<15;cnt1++){
            temp *= 2;
            if(temp>=1) {
                quantized |= 0x01<<(14-cnt1);
                temp -= 1.0;
            }
        }
        if(flag) {
            quantized ^= 0xffff;
            flag=0;
        }
        /*printf("%x ",quantized);*/
        hh[cnt]=quantized;
        quantized=0.0;
    }
}

```

```

void Filter::converse(float *h,int *hh1,int num,HWND hwnd)

```

```

{
    int cnt,cnt1;
    int flag=0;
    float temp;
    int *hh;

```

เอกสารนี้เป็นส่วนไว้สำหรับการใช้งานเพื่อการศึกษาเท่านั้น ไม่อนุญาตให้นำไปใช้ประโยชน์ด้านการค้า
ไม่ว่ากรณีใดๆ ทั้งสิ้น อีกทั้งห้ามมิให้ดัดแปลงเนื้อหาและต้องอ้างอิงถึงเจ้าของเอกสารทุกครั้งที่มีการนำไปใช้

```

char buff[80];

if( (hh=(int *)malloc(5*num*sizeof(int))) == NULL ) {
    putchar(7);
    wsprintf(buff,"%s","not enough memory...");
    GetWindow(hwnd,GW_HWNDFIRST);
    MessageBox(hwnd,buff,"ERROR",MB_OK);
    SendMessage(hwnd,WM_SYSCOMMAND,SC_CLOSE,0L);
}
for(cnt=0;cnt<num;cnt++) *(hh+cnt) = *(hh1+cnt);
for(cnt=0;cnt<num;cnt++) {
    temp = 0;
    if(hh[cnt]<0) {
        flag=1;
        hh[cnt] = 0-hh[cnt];
    }
    for(cnt1=0;cnt1<15;cnt1++) {
        if(hh[cnt]&(0x01<<(15-cnt1))) {
            temp += (float)1/(0x01<<(15-cnt1));
        }
    }
    if(flag) {
        temp = 0-temp;
        flag=0;
    }
    h[cnt] = temp;
}
}
}

```

```

void Filter::MakeFilter(int num,int timebase,HWND hwnd)
{

```

```

    char buff[80];
    int cnt,count;
    int *stream;
    int offx,off,offh;
    int prog[50] = {
        0x707F, 0x6880, 0x6E00, 0x7F89, 0x5088, 0xF400, 0x0000, 0x7E01,
        0x507F, 0x7E80, 0x507C, 0x7E02, 0x6880, 0x0000, 0x0000, 0x6881,
        0x67A0, 0x007F, 0xF400, 0x0000, 0x0000, 0x677E, 0x4F7E, 0x6880,
        0x4000, 0x2000, 0x107C, 0x5000, 0x7F89, 0x0000, 0x0000
    };

```

```

    disable();
    outputb(CW1,0x80); /* initialize all ports */
    outputb(CW2,0x80);
    outputb(PC2,0x07);

    if( (stream=(int *)malloc(5*num*sizeof(int))) == NULL ) {
        putchar(7);
        wsprintf(buff,"%s","not enough memory...");
        GetWindow(hwnd,GW_HWNDFIRST);
        MessageBox(hwnd,buff,"ERROR",MB_OK);
        SendMessage(hwnd,WM_SYSCOMMAND,SC_CLOSE,0L);
    }

```

```

    *(stream) = 0xf900;
    *(stream+1) = num+3;

    for(cnt=0;cnt<= num ;cnt++) {
        *(stream+2+cnt) = FIR.hh[cnt];
    }

```

```

    *(stream+num+2) = timebase; /* Time base */

```

```

    prog[6] = num+7;
    prog[13] = 0x7000 | (num-1)/2;
    prog[14] = 0x7100 | (num+1);
    prog[19] = num+18;
    prog[20] = 0x7E00 | (num+2);
    prog[29] = 0x6A00 | (num-1);
    prog[30] = 0x6D00 | (num+1);
    for(cnt=0;cnt<31;cnt++) {
        *(stream+cnt+num+3) = prog[cnt];
    }

```

```

    offx=num-2;
    off =34;
    offh=num+2;
    for(cnt=1;cnt<= (num-1)/2; cnt++) {
        *(stream+num+off) = 0x6B00|offx;
        off++; offx--;
        *(stream+num+off) = 0x6D00|offh;
        off++; offh++;
    }
    offh-=2;
    for(cnt=0;cnt<(num-1)/2;cnt++) {

```

```

        *(stream+num+off) = 0x6B00|offx;
        off++; offx--;
        *(stream+num+off) = 0x6D00|offh;

```

```

    off++; offh--;
}
*(stream+num+off) = 0x7F8F; off++;
*(stream+num+off) = 0x0F7C; off++;
*(stream+num+off) = 0x597D; off++;
*(stream+num+off) = 0x487D; off++;
*(stream+num+off) = 0xF600; off++;
*(stream+num+off) = (num+off-1); off++;
*(stream+num+off) = 0xF900; off++;
*(stream+num+off) = num+27;
count=num+off;

for(cnt=0;cnt <= count;cnt++){
    outputb(PB2,(unsigned char)(cnt>>8));
    outputb(PA2,(unsigned char)(cnt&0xff));
    outputb(PB1,(unsigned char)( *(stream+cnt)>>8 ));
    outputb(PA1,(unsigned char)( *(stream+cnt)&0xff ));
    outputb(PC2,0x05);
    outputb(PC2,0x04);
    outputb(PC2,0x04);
    outputb(PC2,0x07);
}
free(stream);
outputb(CW1,0x80);
outputb(PC2,0x03);
enable();
}

float Filter::I(float x)
{
    float temp;
    int m=1;
    float result = 1.0;

    temp = x/2.0;
    while((temp>=0.0000000000001)&&(m<16)) {
        result += temp;
        m++;
        temp = (pow(x/2.0,m)/(float)FIR.factorial(m));
        temp *= temp;
    }
    return(result);
}

unsigned long Filter::factorial(int x)
{
    unsigned long result=1;
    int cnt;

    if(x==0) return(1);
    for(cnt=1;cnt<=x;cnt++) {
        result *= cnt;
    }
    return(result);
}

HDC Filter::GetPrinterDC(void)
{
    static char szPrinter[80];
    char *szDevice, *szDriver, *szOutput;

    GetProfileString("windows","device",",,,",szPrinter,80);

    if( NULL != (szDevice = strtok(szPrinter,","))&&
        NULL != (szDriver = strtok(NULL,","))&&
        NULL != (szOutput = strtok(NULL,",")))

        return CreateDC(szDriver,szDevice,szOutput,NULL);

    return 0;
}

void Filter::PageGDIcalls(HDC hdcPrn,short cxPage,short cyPage,HWND hwnd)
{
    int cnt;
    char tout[80];
    float Re=0,Im=0,w=0,result=0;
    int x,y;

    Rectangle(hdcPrn,0,0,cxPage,cyPage/2);
    if(FIR.Display == 1) {
        FIR.setfactors(-0.35,-225,3.4,55,hwnd);
        SetTextAlign(hdcPrn,TA_RIGHT|TA_BASELINE);
        for(cnt=-1;cnt<=11;cnt++) {
            sprintf(tout,"%1f", -240*(float)cnt/12.0);
            TextOut(hdcPrn,FIR.dx(-0.03),FIR.dy(-0.02 - 240*(float)(cnt)/12.0),
                tout,strlen(tout));
            MoveTo(hdcPrn,FIR.dx(0),FIR.dy(-240*(float)(cnt)/12.0));
        }
    }
}

```

```

        LineTo(hdcPrn,FIR.dx(M_PI),FIR.dy(-240*(float)(cnt)/12.0));
    }
    SetTextAlign(hdcPrn,TA_CENTER|TA_BOTTOM);
    for(cnt=0;cnt<=5;cnt++) {
        sprintf(tout, "%.2f", (M_PI*((float)cnt/5.0))*(FIR.Sampling/(2.0*M_PI)));
        if(cnt) TextOut(hdcPrn,FIR.dx(M_PI*(float)cnt/5.0),
            FIR.dy(23.5),tout,strlen(tout));
        MoveTo(hdcPrn,FIR.dx(M_PI*(float)cnt/5.0),FIR.dy(20));
        LineTo(hdcPrn,FIR.dx(M_PI*(float)cnt/5.0),FIR.dy(-220.0));
    }
    SetTextAlign(hdcPrn,TA_CENTER|TA_TOP);
    TextOut(hdcPrn,FIR.dx(1.57),FIR.dy(52),"LOG MAGNITUDE",13);
    for(w=0.0;w<M_PI;w+=0.01) {
        Re=0.0;
        Im=0.0;
        for(cnt=0;cnt<FIR.LENGTH;cnt++) {
            Re += FIR.h[cnt]*cos(w*cnt);
            Im += FIR.h[cnt]*sin(w*cnt);
        }
        result = sqrt( (Re*Re) + (Im*Im) );
        result = 20 * log(result);
        x = FIR.dx(w);
        y = FIR.dy(result);
        if(w==0) MoveTo(PRHDC,x,y);
        LineTo(PRHDC,x,y);
    }

    SaveDC(hdcPrn);
    RestoreDC(hdcPrn,-1);
}

if(FIR.Display == 0) {
    FIR.setfactors(-0.25,-0.1,3.4,1.2,hwnd);
    SetTextAlign(hdcPrn,TA_RIGHT|TA_BASELINE);
    for(cnt=0;cnt<=11;cnt++) {
        sprintf(tout, "%.2f", 1.1*(float)cnt/11.0);
        TextOut(hdcPrn,FIR.dx(-0.03),FIR.dy(-0.02 + 1.11*(float)(cnt)/11.0),
            tout,strlen(tout));
        MoveTo(hdcPrn,FIR.dx(0),FIR.dy(1.1*(float)(cnt)/11.0));
        LineTo(hdcPrn,FIR.dx(M_PI),FIR.dy(1.1*(float)(cnt)/11.0));
    }
    SetTextAlign(hdcPrn,TA_CENTER|TA_TOP);
    for(cnt=0;cnt<=5;cnt++) {
        sprintf(tout, "%.2f", (M_PI*((float)cnt/5.0))*
            (FIR.Sampling/(2.0*M_PI)));
        if(cnt) TextOut(hdcPrn,FIR.dx(M_PI*(float)cnt/5.0),
            FIR.dy(-0.01),tout,strlen(tout));
        MoveTo(hdcPrn,FIR.dx(M_PI*(float)cnt/5.0),FIR.dy(0));
        LineTo(hdcPrn,FIR.dx(M_PI*(float)cnt/5.0),FIR.dy(1.1));
    }
    TextOut(hdcPrn,FIR.dx(1.57),FIR.dy(1.19),"GAIN",4);

    for(w=0.0;w<M_PI;w+=0.01) {
        Re=0.0;
        Im=0.0;
        for(cnt=0;cnt<FIR.LENGTH;cnt++) {
            Re += FIR.h[cnt]*cos(w*cnt);
            Im += FIR.h[cnt]*sin(w*cnt);
        }
        result = sqrt( (Re*Re)+(Im*Im) );
        x = FIR.dx(w);
        y = FIR.dy(result);
        if(w==0) MoveTo(hdcPrn,x,y);
        LineTo(hdcPrn,x,y);
    }
    SaveDC(hdcPrn);
    RestoreDC(hdcPrn,-1);
}

if(FIR.Display == 2) {
    FIR.setfactors(-0.33,-1*M_PI-0.8,3.5,M_PI+1.0,hwnd);
    SetTextAlign(hdcPrn,TA_RIGHT|TA_BASELINE);
    for(cnt=-10;cnt<=10;cnt+=2) {
        sprintf(tout, "%.2f", M_PI*(float)cnt/10.0);
        TextOut(hdcPrn,FIR.dx(-0.03),FIR.dy(-0.09 + M_PI*(float)(cnt)/10.0),
            tout,strlen(tout));
        MoveTo(hdcPrn,FIR.dx(0),FIR.dy(M_PI*(float)(cnt)/10.0));
        LineTo(hdcPrn,FIR.dx(M_PI),
            FIR.dy(M_PI*(float)(cnt)/10.0));
    }
    SetTextAlign(hdcPrn,TA_CENTER|TA_TOP);
    for(cnt=0;cnt<=5;cnt++) {
        sprintf(tout, "%.2f", (M_PI*((float)cnt/5.0))*(FIR.Sampling/(2.0*M_PI)));
        if(cnt) TextOut(hdcPrn,FIR.dx(M_PI*(float)cnt/5.0),
            FIR.dy(-1*M_PI - 0.1),tout,strlen(tout));
        MoveTo(hdcPrn,FIR.dx(M_PI*(float)cnt/5.0),FIR.dy(-1*M_PI));
        LineTo(hdcPrn,FIR.dx(M_PI*(float)cnt/5.0),FIR.dy(M_PI));
    }
    TextOut(hdcPrn,FIR.dx(M_PI/2.0),FIR.dy(M_PI+0.85),"PHASE RESPOND",13);
}

```

```

for(w=0.0;w<M_PI;w+=0.03) {
    Re=0.0;
    Im=0.0;
    for(cnt=0;cnt<FIR.LENGTH;cnt++) {
        Re += FIR.h[cnt]*cos(w*cnt);
        Im += FIR.h[cnt]*sin(w*cnt);
    }
    result =-sqrt(Re*Re+Im*Im);
    result = atan2(-1*Im,Re);
    x = FIR.dx(w);
    y = FIR.dy(result);
    if(w==0) MoveTo(hdcPrn,x,y);
    LineTo(hdcPrn,x,y);
}
SaveDC(hdcPrn);
RestoreDC(hdcPrn,-1);
}
if(FIR.Display == 3) {
    FIR.setfactors(-1*(float)FIR.LENGTH/10.0),
                  -1.1,(float)FIR.LENGTH+(float)FIR.LENGTH/10.0),
                  1.2,hwnd);
    SetTextAlign(hdcPrn,TA_RIGHT|TA_BASELINE);
    for(cnt=-10;cnt<=10;cnt+=2) {
        sprintf(tout,"%2f", 1.0*(float)cnt/10.0);
        TextOut(hdcPrn,FIR.dx(-0.03),FIR.dy(-0.02 + 1.0*(float)(cnt)/10.0),
                tout,strlen(tout));
        MoveTo(hdcPrn,FIR.dx(0),FIR.dy(1.0*(float)(cnt)/10.0));
        LineTo(hdcPrn,FIR.dx((float)FIR.LENGTH),
                FIR.dy(1.0*(float)(cnt)/10.0));
    }
    MoveTo(hdcPrn,FIR.dx((float)FIR.LENGTH),FIR.dy(1.0));
    LineTo(hdcPrn,FIR.dx((float)FIR.LENGTH),FIR.dy(-1.0));
    MoveTo(hdcPrn,FIR.dx(0),FIR.dy(1.0));
    LineTo(hdcPrn,FIR.dx(0),FIR.dy(-1.0));
    SetTextAlign(hdcPrn,TA_CENTER|TA_TOP);
    TextOut(hdcPrn,FIR.dx((float)FIR.LENGTH/2.0),
            FIR.dy(1.15),"IMPULSE RESPOND",14);

    MoveTo(hdcPrn,FIR.dx(0),FIR.dy(FIR.h[0]));
    for(cnt=0;cnt<FIR.LENGTH;cnt++){
        MoveTo(hdcPrn,FIR.dx((float)cnt),FIR.dy(0));
        LineTo(hdcPrn,FIR.dx((float)cnt),FIR.dy(FIR.h[cnt]));
    }
    MoveTo(hdcPrn,FIR.dx((float)cnt),FIR.dy(1.0));
}
}

BOOL Filter::PrintMyPage(HWND hwnd)
{
    static char szMessage [] = "Print1: Printing";
    BOOL bError = FALSE;
    HDC hdcPrn;
    short xPage,yPage;

    if(NULL == (hdcPrn = GetPrinterDC())) {
        putch(7);
        return TRUE;
    }
    PRHDC = hdcPrn;
    xPage = GetDeviceCaps(hdcPrn,HORZRES);
    yPage = GetDeviceCaps(hdcPrn,VERTRES);

    if(Escape(hdcPrn,STARTDOC,sizeof szMessage-1,szMessage,NULL) > 0){
        PageGDI Calls(hdcPrn,xPage,yPage,hwnd);
        if(Escape(hdcPrn,NEWFRAME,0,NULL,NULL) > 0)
            Escape(hdcPrn,ENDDOC,0,NULL,NULL);
        else bError = TRUE;
    }
    else bError = TRUE;
    DeleteDC(hdcPrn);
    return bError;
}
}

```

เอกสารนี้เป็นเอกสารที่สงวนไว้สำหรับการใช้งานเพื่อการศึกษาเท่านั้น ไม่อนุญาตให้拿去ใช้ประโยชน์ด้านการค้า
ไม่ว่ากรณีใดๆ ทั้งสิ้น อีกทั้งห้ามมิให้ดัดแปลงเนื้อหาและต้องอ้างอิงถึงเจ้าของเอกสารทุกครั้งที่มีการนำไปใช้

เอกสารอ้างอิง

1. Texas Instrument, "First Generation TMS32010 User's Guide", 1988.
2. Kun-Shan Lin Editor, "digital Signal Processing Application with the TMS32010 Family, Volumn 1", 1987.
3. Louis Nashelsky Editor, "Introduction to Digital Technology".
4. International Business Machines Corporation, "IBM Technical Reference", 1983.
5. Eugene L. Zuch Editor, "Data Acquisition and Conversion Handbook"
6. David J. Defatta, Joseph G. Lucas, William S. Hodgkiss , "Digital signal processing : A System Design Approach" , JOHN WILEY & SONS ,1988.
7. DAVE WILLIAMS, "The Programer's Technical Reference" , JOHN WILEY & SONS ,1991.
8. Texas Instrument, " Digital Signal Processing Products and Applications " , 1988.

กิตติกรรมประกาศ

ปริญญาโทฉบับนี้ สำเร็จลง ได้ด้วยความช่วยเหลือเป็นอย่างดี จาก อาจารย์ มนัส สังวรศิลป์ และ อาจารย์ ชินภัทร นันทจิวารักษ์ ซึ่งเป็นอาจารย์ที่ปรึกษาตลอดการทำ ปริญญาโทฉบับนี้ ได้กรุณาให้ข้อแนะนำ เอกสาร และตำราต่างๆที่เกี่ยวข้องกับการทำปริญญาโท และ คณาจารย์ท่านอื่นๆ ที่ได้ให้คำแนะนำอันมีค่าและเป็นประโยชน์อย่างมาก ข้าพเจ้าจึงขอขอบ พระคุณคณาจารย์ทุกท่านที่ได้กล่าวนามมาข้างต้น และบุคคลอื่นๆ ที่ได้ช่วยเหลือสนับสนุนการทำ ปริญญาโทฉบับนี้ซึ่ง ไม่สามารถกล่าวรายนามได้ครบถ้วนทุกท่าน เป็นอย่างสูงมาไว้ ณ.ที่นี้



เอกสารนี้เป็นเอกสารที่สงวนไว้สำหรับการใช้งานเพื่อการศึกษาเท่านั้น ไม่อนุญาตให้นำไปใช้ประโยชน์ด้านการค้า ไม่ว่ากรณีใดๆ ทั้งสิ้น อีกทั้งห้ามมิให้ตัดแปลงเนื้อหาและต้องอ้างอิงถึงเจ้าของเอกสารทุกครั้งที่มีการนำไปใช้

SRAM

PM: *Lawrence* **32K x 8 SRAM**
(A FORCE)
(Total f Paper 1)

FAST SRAM

FEATURES

- High speed: 15, 20, 25, 30, 35 and 45ns
- High-performance, low-power, CMOS double-metal process
- Single +5V ±10% power supply
- Easy memory expansion with CE and OE options
- All inputs and outputs are TTL compatible

OPTIONS

- Timing
- 16ns access
- 20ns access
- 25ns access
- 30ns access
- 35ns access
- 45ns access

MARKING

- Package
- Plastic DIP (300 mil)
- Plastic DIP (600 mil)
- Plastic SOJ (300 mil)
- Plastic ZIP

- None
- W
- DJ
- Z

Available in ceramic packages tested to meet military specifications. Please refer to Micron's *Military Data Book*.

100% data retention

L

Temperature

- IT
- A7
- X7

GENERAL DESCRIPTION

The Micron SRAM family employs high-speed, low-power CMOS designs using a four-transistor memory cell. Micron SRAMs are fabricated using double-layer metal, double-layer polysilicon technology.

For flexibility in high-speed memory applications, Micron offers chip enable (CE) and output enable (OE) on all devices. These enhancements can place the device in High-Z for additional flexibility in system design. Writing to these devices is accomplished when write enable (WE) and CE inputs are both LOW. Reading is accomplished when CE remains HIGH and OE is

PIN ASSIGNMENT (Top View)

28-Pin DIP
(A-9, A-11)

28-Pin SOJ
(E-8)

A14	1	28	VE
A12	2	27	WE
A7	3	26	A13
A6	4	25	A8
A5	5	24	A9
A4	6	23	A11
A3	7	22	CE
A2	8	21	A10
A1	9	20	A1C
A10	10	19	OE
A9	11	18	DO8
DO1	12	17	DO7
DO2	13	16	DO6
DO3	14	15	DO5
VSS	15	14	DO4

A14	1	28	VE
A12	2	27	WE
A7	3	26	A13
A6	4	25	A8
A5	5	24	A9
A4	6	23	A11
A3	7	22	CE
A2	8	21	A10
A1	9	20	A1C
A10	10	19	OE
DO1	11	18	DO8
DO2	12	17	DO7
DO3	13	16	DO6
VSS	14	15	DO4

28-Pin ZIP
(C-5)

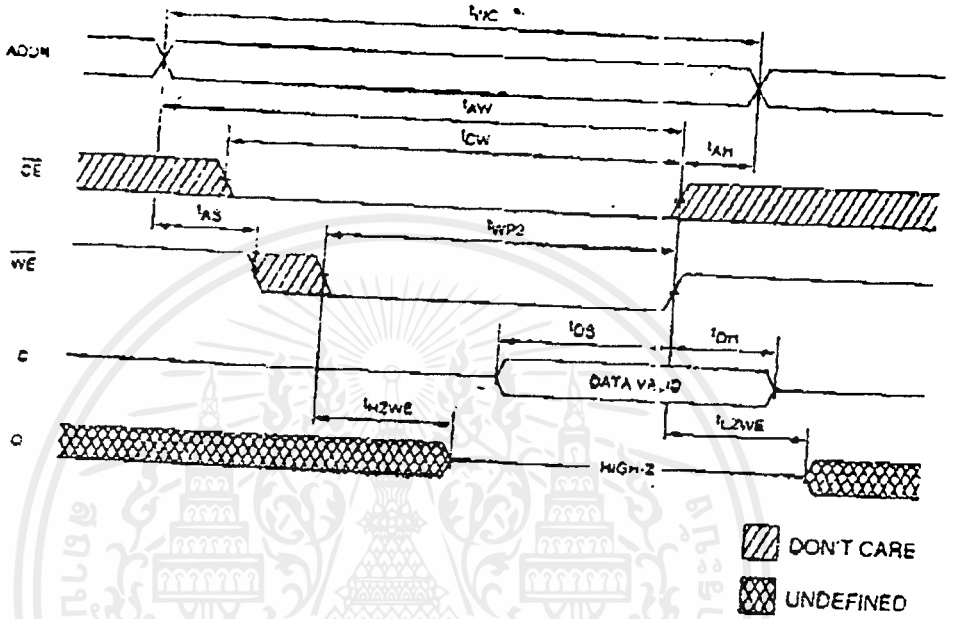
OE	1	2	A11
A9	3	4	A6
A13	5	6	WE
VCC	7	8	A14
A12	9	10	A7
A8	11	12	A5
A4	13	14	A3
A2	15	16	A1
AC	17	18	DO1
DO2	19	20	DO3
VSS	21	22	DO4
DO5	23	24	DO6
DO7	25	26	DO8
CE	27	28	A10

LOW. The device offers a reduced power standby mode when disabled. This allows system designers to achieve their low standby power requirements.

All devices operate from a single +5V power supply and all outputs are fully TTL compatible.

FAST SRAM

WRITE CYCLE NO. 3
(Write Enable Controlled) 7. 12



FACTS CONDITIONS

Input pulse levels	V _{SS} to 3.0V
Input rise and fall times	5ns
Input timing reference levels	1.5V
Output reference levels	1.5V
Output load	See Figures 1 and 2

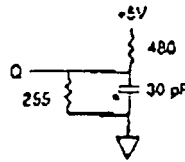


Fig. 1 OUTPUT LOAD EQUIVALENT

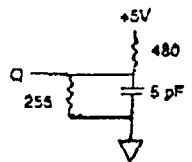


Fig. 2 OUTPUT LOAD EQUIVALENT

NOTES

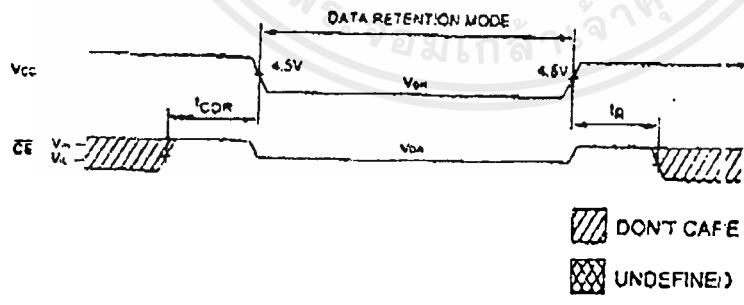
- All voltages referenced to V_{SS} (GND).
- 3V for pulse width < 20ns
- k_c is dependent on output loading and cycle rates. This parameter is sampled.
- Test conditions as specified with the output loading as shown in Fig. 1 unless otherwise noted.
- t_{HZCE}, t_{HZOE} and t_{HZWE} are specified with C_L = 5pF as in Fig. 2. Transition is measured ±500mV from steady state voltage.
- A: at any given temperature and voltage condition, t_{HZCE} is less than t_{LZCE} and t_{HZWE} is less than t_{LZWE}

- 8. WE is HIGH for READ cycle
- 9. Device is continuously selected. All chip enables are held in their active state.
- 10. Address valid prior to or coincident with latest occurring chip enable.
- 11. t_{RC} = Read Cycle Time.
- 12. Chip enable (CE) and write enable (WE) can initiate and terminate a WRITE cycle.
- 13. For automotive, industrial and extended temperature specifications, refer to page 1-175.
- 14. Typical values are measured at 5V, 25°C and 20ns cycle time

DATA RETENTION ELECTRICAL CHARACTERISTICS (L Version Only)

DESCRIPTION	CONDITIONS		SYMBOL	MIN	TYP	MAX	UNITS	NOTES
V _{CC} for Retention Data			V _{DR}	2		—	V	
Data Retention Current	CE ≥ (V _{CC} - 0.2V) V _{IN} ≥ (V _{CC} - 0.2V) or ≤ 0.2V	V _{CC} = 2V	I _{CCDR}		95	300	μA	
		V _{CC} = 3V			350	400	μA	
Chip Deselect to Data Retention Time			t _{CDR}	0		—	ns	4
Operation Recovery Time			t _{RA}	t _{AC}			ns	4, 11

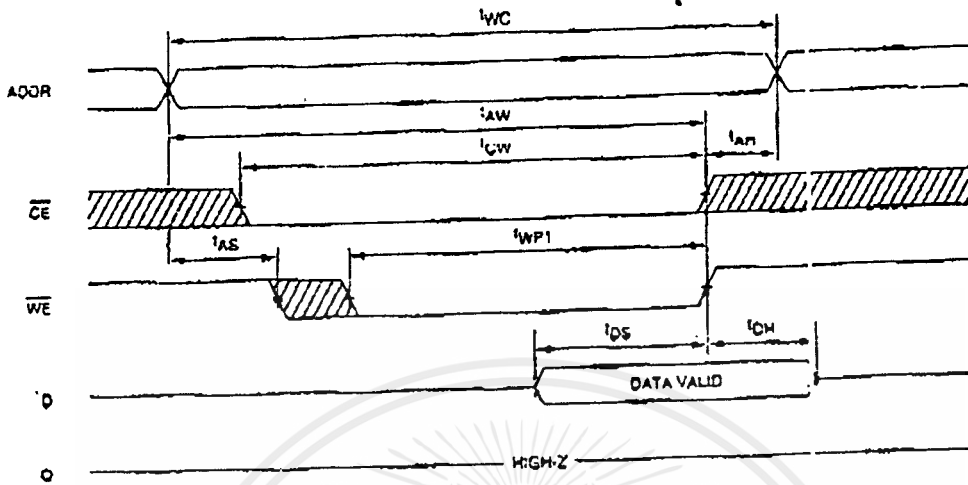
LOW V_{CC} DATA RETENTION WAVEFORM



DONT CARE
 UNDEFINED

WRITE CYCLE NO. 1

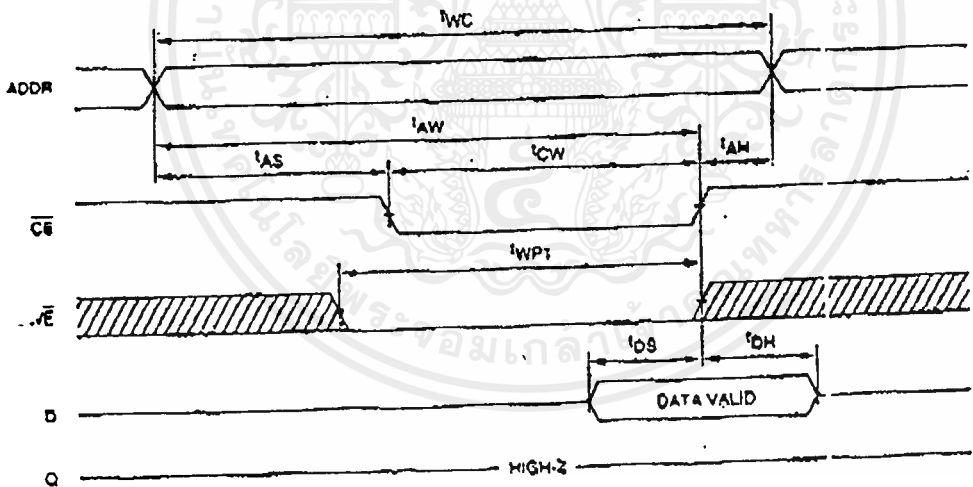
(Write Enable Controlled)¹²





NOTE: Output enable (\overline{OE}) is inactive (HIGH).

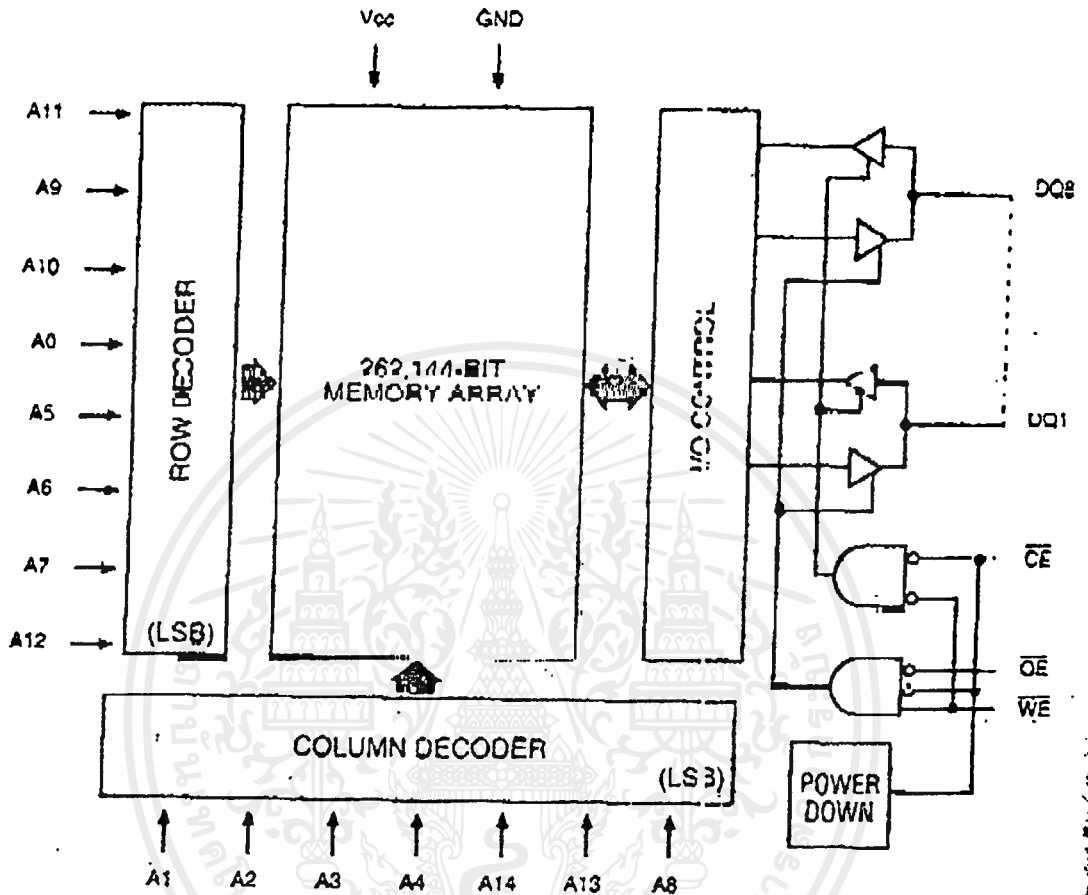
WRITE CYCLE NO. 2

(Chip Enable Controlled)



 DONT CARE
 UNDEFINED

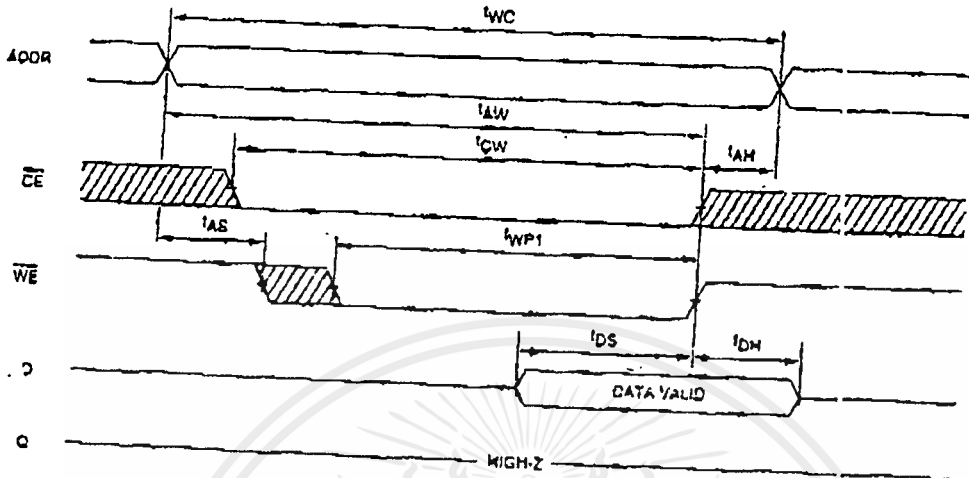
FUNCTIONAL BLOCK DIAGRAM



TRUTH TABLE

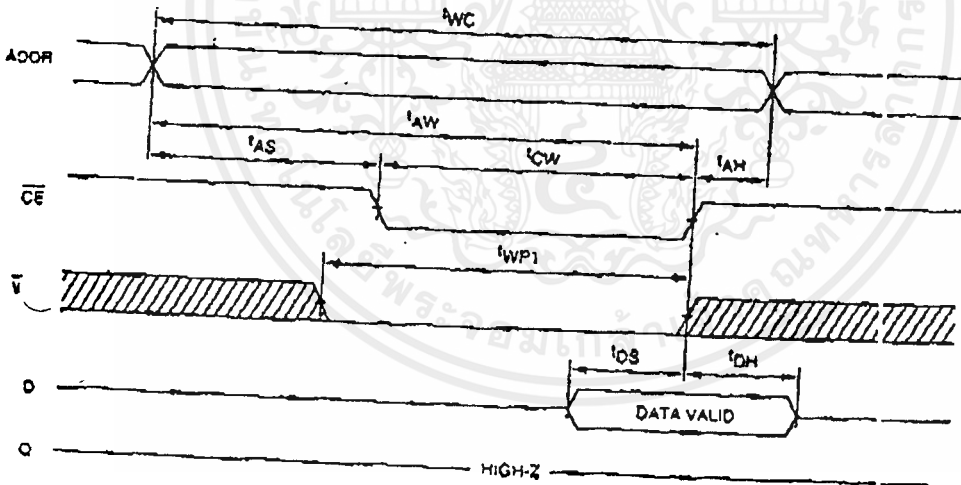
MODE	OE	CE	WE	DQ	POWER
STANDBY	X	H	X	HIGH-Z	STANDBY
READ	L	L	H	Q	ACTIVE
READ	H	L	H	HIGH-Z	ACTIVE
WRITE	X	L	L	D	ACTIVE



WRITE CYCLE NO. 1
(Write Enable Controlled)¹²



TE: Output enable (\overline{OE}) is inactive (HIGH).

WRITE CYCLE NO. 2
(Chip Enable Controlled)



 DON'T CARE
 UNDEFINED

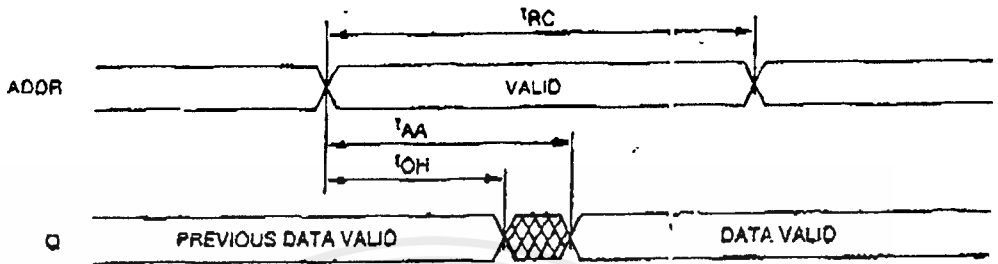
ELECTRICAL CHARACTERISTICS AND RECOMMENDED AC OPERATING CONDITIONS
(Note 5, 13) (0°C ≤ T_A ≤ 70°C, V_{CC} = 5V ± 10%)

FAST SRAM

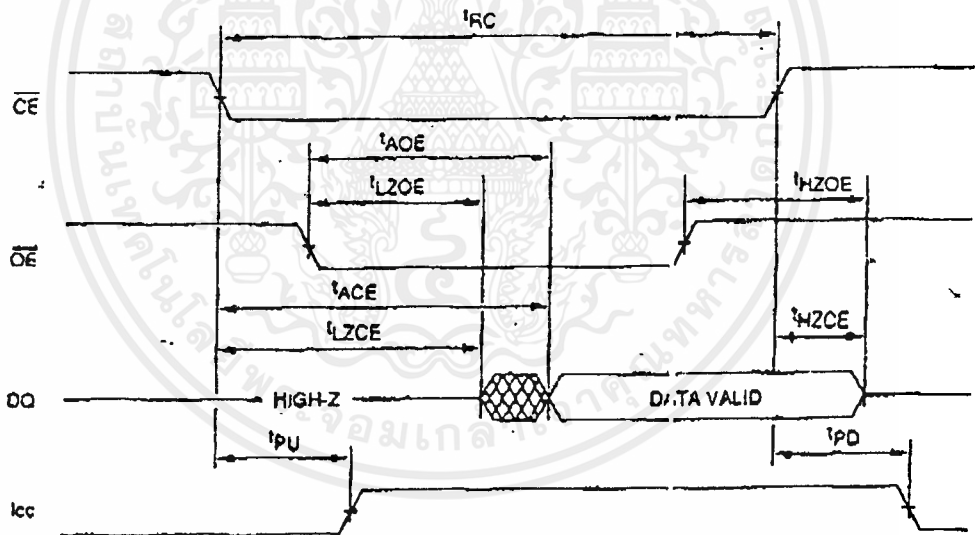
DESCRIPTION	SYM	-15		-20		-25		-30		-35		-45		UNITS	NOTES
		MIN	MAX	MIN	MAX	MIN	MAX	MIN	MAX	MIN	MAX	MIN	MAX		
READ Cycle															
READ cycle time	t _{RC}	15		20		25		30		35		45		ns	
Address access time	t _{AA}		15		20		25		30		35		45	ns	
Chip Enable access time	t _{ACE}		15		20		25		30		35		45	ns	
Output hold from address change	t _{OH}	3		3		5		5		5		5		ns	
Chip Enable to output in Low-Z	t _{LZCE}	4		6		6		6		6		6		ns	
Chip disable to output in High-Z	t _{HZCE}		8		9		9		12		15		18	ns	6,7
Chip Enable to power-up time	t _{PU}	0		0		0		0		0		0		ns	
Chip disable to power-down time	t _{PD}		15		20		25		30		35		45	ns	
Output Enable access time	t _{AOE}		8		8		8		10		12		15	ns	
Output Enable to output in Low-Z	t _{LZOE}	0		0		0		0		0		0		ns	
Output disable to output in High-Z	t _{HZOE}		6		7		7		10		12		15	ns	
WRITE Cycle															
WRITE cycle time	t _{WC}	15		20		20		25		30		35		ns	
Chip Enable to end of write	t _{CW}	10		15		15		18		20		25		ns	
Address valid to end of write	t _{AW}	10		15		15		18		20		25		ns	
Address setup time	t _{AS}	0		0		0		0		0		0		ns	
Address hold from end of write	t _{AH}	0		0		0		0		0		0		ns	
WRITE pulse width	t _{WP1}	10		15		15		18		20		25		ns	
WRITE pulse width	t _{WP2}	12		15		15		18		20		25		ns	
Data setup time	t _{DS}	7		10		10		12		15		20		ns	
Data hold time	t _{DH}	0		0		0		0		0		0		ns	
Write disable to output in Low-Z	t _{LZWE}	4		5		5		5		5		5		ns	
Write Enable to output in High-Z	t _{HZWE}		7		10		10		12		15		18	ns	



FAST SRAM

READ CYCLE NO. 1 & 9



READ CYCLE NO. 2, 7, & 10



 DON'T CARE
 UNDEFINED

ABSOLUTE MAXIMUM RATINGS*

Voltage on Vcc Supply Relative to Vss	-1V to +7V
Storage Temperature (Plastic)	-55°C to +150°C
Power Dissipation	1W
Maximum Circuit Output Current	50mA

*Stresses greater than those listed under "Absolute Maximum Ratings" may cause permanent damage to the device. This is a stress rating only and functional operation of the device at these or any other conditions above those indicated in the operational sections of this specification is not implied. Exposure to absolute maximum rating conditions for extended periods may affect reliability.

ELECTRICAL CHARACTERISTICS AND RECOMMENDED DC OPERATING CONDITIONS

(T_A ≤ 70°C; Vcc = 5V ± 10%)

DESCRIPTION	CONDITIONS	SYMBOL	MIN	MAX	UNITS	NOTES
Input High (Logic 1) Voltage		V _{IH}	2.2	Vcc + 1	V	1
Input Low (Logic 0) Voltage		V _{IL}	-0.5	0.1	V	1, 2
Input Leakage Current	0V ≤ V _{IN} ≤ Vcc	I _{LI}	-5	5	μA	
Output Leakage Current	Output(s) Disabled 0V ≤ V _{OUT} ≤ Vcc	I _{LO}	-5	5	μA	
Output High Voltage	I _{OH} = -4.0mA	V _{OH}	2.4		V	1
Output Low Voltage	I _{OL} = 8.0mA	V _{OL}		0.4	V	1

DESCRIPTION	CONDITIONS	SYMBOL	TYP	MAX						UNITS	NOTES
				-15	-20	-25	-30	-35	-45		
Power Supply Current: Operating	CE ≤ V _{IL} ; Vcc = MAX f = MAX = 1/10RC Outputs Open	I _{CC}	75	140	120	110	90	90	90	mA	3, 14
Power Supply Current: Standby	CE ≥ V _{IH} ; Vcc = MAX f = MAX = 1/10RC Outputs Open	I _{SB1}	11	30	30	25	25	25	25	mA	14
	CE ≥ Vcc - 0.2V; Vcc = MAX V _{IL} ≤ Vss + 0.2V V _{OH} ≥ Vcc - 0.2V; f = 0	I _{SB2}	.04	5	5	5	5	7	7	mA	14

CAPACITANCE

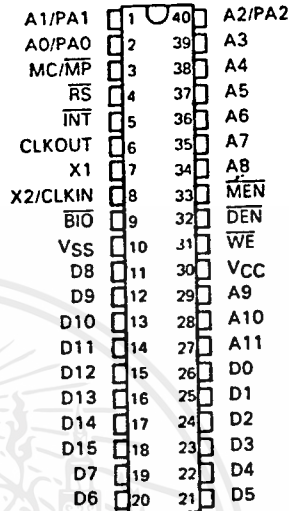
DESCRIPTION	CONDITIONS	SYMBOL	MAX	UNITS	NOTES
Input Capacitance	T _A = 25°C, f = 1 MHz Vcc = 5V	C _I	6	pF	4
Output Capacitance		C _O	5	pF	4

TMS320 FIRST-GENERATION DIGITAL SIGNAL PROCESSORS

JANUARY 1987 - REVISED OCTOBER 1987

- 160-ns Instruction Cycle
- 144/256-Word On-Chip Data RAM
- 1.5K/4K-Word On-Chip Program ROM
- 4K-Word On-chip Program EPROM (TMS320E15/E17)
- EPROM Code Protection for Copyright Security
- 4K-Word Total External Memory at Full Speed
- 32-Bit ALU/Accumulator
- 16 x 16-Bit Multiplier with a 32-Bit Product
- 0 to 16-Bit Barrel Shifter
- Eight Input and Eight Output Channels
- Dual-Channel Serial Port (TMS32011/C17/E17)
- 16-Bit Bidirectional Data Bus with 50-Mbps Transfer Rate
- Single 5-V Supply
- Packaging: 40-Pin DIP and 44-Pin PLCC
- Commercial and Military Versions Available
- NMOS Technology:
 - TMS32010-25 160-ns cycle time
 - TMS32010 200-ns cycle time
 - TMS32010-14 280-ns cycle time
 - TMS32011 200-ns cycle time

TMS32010, TMS320C10
N PACKAGE
(TOP VIEW)



- CMOS Technology:
 - TMS320C10-25 160-ns cycle time
 - TMS320C10 200-ns cycle time
 - TMS320C15-25 160-ns cycle time
 - TMS320C15 200-ns cycle time
 - TMS320E15 (EPROM) 200-ns cycle time
 - TMS320C17-25 160-ns cycle time
 - TMS320C17 200-ns cycle time
 - TMS320E17 (EPROM) 200-ns cycle time

This data sheet provides complete design documentation for all the first-generation devices of the TMS320 family. This facilitates the selection of the devices best suited for user applications by providing all specifications and special features for each TMS320 member. This data sheet is divided into four major sections: architecture, electrical specifications (NMOS and CMOS), timing diagrams, and mechanical data. In each of these sections, generic information is presented first, followed by specific device information. An index is provided for quick reference to specific information about a device.

description

The TMS320 family of 16/32-bit single-chip digital signal processors combines the flexibility of a high-speed controller with the numerical capability of an array processor, thereby offering an inexpensive alternative to multichip bit-slice processors. The highly paralleled architecture and efficient instruction set provide speed and flexibility to produce a MOS microprocessor family capable of executing 6.4 MIPS (million instructions per second). The TMS320 family optimizes speed by implementing functions in hardware that other processors implement through microcode or software. This hardware-intensive approach provides the design engineer with processing power previously unavailable on a single chip.

This document contains information on products in more than one phase of development. The status of each device is indicated on the page(s) specifying its electrical characteristics.

TEXAS
INSTRUMENTS

POST OFFICE BOX 1443 • HOUSTON, TEXAS 77001

CLOCK CHARACTERISTICS AND TIMING

The TMS32010 can use either its internal oscillator or an external frequency source for a clock.

internal clock option

The internal oscillator is enabled by connecting a crystal across X1 and X2/CLKIN (see Figure 1). The frequency of CLKOUT is one-fourth the crystal fundamental frequency. The crystal should be fundamental mode, and parallel resonant, with an effective series resistance of 30 ohms, a power dissipation of 1 mW, and be specified at a load capacitance of 20 pF.

PARAMETER	TEST CONDITIONS	TMS32010			TMS32010-25			UNIT
		MIN	NOM	MAX	MIN	NOM	MAX	
Crystal frequency f_x	0°C to 70°C	6.7		20.5	6.7		25.0	MHz
C1, C2	0°C to 70°C		10			10		pF

external clock option

An external frequency source can be used by injecting the frequency directly into X2/CLKIN with X1 left unconnected. The external frequency injected must conform to the specifications listed in the table below.

switching characteristics over recommended operating conditions

PARAMETER	TEST CONDITIONS	TMS32010			TMS32010-25			UNIT
		MIN	NOM	MAX	MIN	NOM	MAX	
$t_{c(C)}$ CLKOUT cycle time ¹	$R_L = 825 \Omega$ $C_L = 100 \text{ pF}$ See Figure 2	195.12	200		160			ns
$t_{r(C)}$ CLKOUT rise time			10			10		ns
$t_{f(C)}$ CLKOUT fall time				8			8	ns
$t_{w(CL)}$ Pulse duration, CLKOUT low				92			74	ns
$t_{w(CH)}$ Pulse duration, CLKOUT high				90			72	ns
$t_{d(MCC)}$ Delay time CLKIN to CLKOUT ¹			25 ²		60 ²	25 ²		60 ²

¹ $t_{c(C)}$ is the cycle time of CLKOUT, i.e., $4 \cdot t_{d(MCC)}$ (4 times CLKIN cycle time if an external oscillator is used).

²Values derived from characterization data and not tested.

timing requirements over recommended operating conditions

		TMS32010			TMS32010-25			UNIT
		MIN	NOM	MAX	MIN	NOM	MAX	
$t_c(MC)$ Master clock cycle time		48.78	50	150	40		150	ns
$t_r(MC)$ Rise time master clock input			5 ¹	10 ¹		5 ¹	10 ¹	ns
$t_f(MC)$ Fall time master clock input			5 ¹	10 ¹		5 ¹	10 ¹	ns
$t_w(MCP)$ Pulse duration master clock		0.475 $t_c(MC)$ ¹		0.525 $t_c(MC)$ ¹	0.475 $t_c(MC)$ ¹		0.525 $t_c(MC)$ ¹	ns
$t_w(MCL)$ Pulse duration master clock low, $t_c(MC) = 50 \text{ ns}$			20 ¹			18 ¹		ns
$t_w(MCH)$ Pulse duration master clock high, $t_c(MC) = 50 \text{ ns}$			20 ¹			18 ¹		ns

¹Values derived from characterization data and not tested.

MEMORY AND PERIPHERAL INTERFACE TIMING

switching characteristics over recommended operating conditions

PARAMETER	TEST CONDITIONS	TMS32010			TMS32010-25			UNIT
		MIN	TYP	MAX	MIN	TYP	MAX	
t_{d1} Delay time CLKOUT _i to address bus valid	$R_L = 825 \Omega$ $C_L = 100 \text{ pF}$ See Figure 2	10 [†]		50	10 [†]		40	ns
t_{d2} Delay time CLKOUT _i to $\overline{\text{MEN}}_i$		$\frac{1}{2} t_{c(C)} - 5^{\dagger}$		$\frac{1}{2} t_{c(C)} + 15$	$\frac{1}{2} t_{c(C)} - 5^{\dagger}$		$\frac{1}{2} t_{c(C)} - 12$	ns
t_{d3} Delay time CLKOUT _i to $\overline{\text{MEN}}_i$		-10 [†]		15	-10 [†]		12	ns
t_{d4} Delay time CLKOUT _i to $\overline{\text{DEN}}_i$		$\frac{1}{2} t_{c(C)} - 5^{\dagger}$		$\frac{1}{2} t_{c(C)} + 15$	$\frac{1}{2} t_{c(C)} - 5^{\dagger}$		$\frac{1}{2} t_{c(C)} - 12$	ns
t_{d5} Delay time CLKOUT _i to $\overline{\text{DEN}}_i$		-10 [†]		15	-10 [†]		12	ns
t_{d6} Delay time CLKOUT _i to $\overline{\text{WE}}_i$		$\frac{1}{2} t_{c(C)} - 5^{\dagger}$		$\frac{1}{2} t_{c(C)} + 15$	$\frac{1}{2} t_{c(C)} - 5^{\dagger}$		$\frac{1}{2} t_{c(C)} + 12$	ns
t_{d7} Delay time CLKOUT _i to $\overline{\text{WE}}_i$		-10 [†]		15	-10 [†]		12	ns
t_{d8} Delay time CLKOUT _i to data bus OUT valid				$\frac{1}{2} t_{c(C)} + 65$			$\frac{1}{2} t_{c(C)} + 52$	ns
t_{d9} Time after CLKOUT _i that data bus starts to be driven			$\frac{1}{2} t_{c(C)} - 5^{\dagger}$		$\frac{1}{2} t_{c(C)} - 5^{\dagger}$			ns
t_{d10} Time after CLKOUT _i that data bus stops being driven				$\frac{1}{2} t_{c(C)} + 30^{\dagger}$			$\frac{1}{2} t_{c(C)} + 30^{\dagger}$	ns
t_v Data bus OUT valid after CLKOUT _i		$\frac{1}{2} t_{c(C)} - 10$		$\frac{1}{2} t_{c(C)} - 10$			ns	
$t_h(\text{A-WMD})$ Address hold time after $\overline{\text{WE}}_i$, $\overline{\text{MEN}}_i$ or $\overline{\text{DEN}}_i$ (see Note 1)		0		0			ns	
$t_{su}(\text{A-MD})$ Address bus setup time prior to $\overline{\text{MEN}}_i$ or $\overline{\text{DEN}}_i$		$\frac{1}{2} t_{c(C)} - 45$		$\frac{1}{2} t_{c(C)} - 35$			ns	

[†]Values derived from characterization data and not tested.
NOTE 1: Address bus will be valid upon $\overline{\text{WE}}_i$, $\overline{\text{DEN}}_i$ or $\overline{\text{MEN}}_i$.

timing requirements over recommended operating conditions

PARAMETER	TEST CONDITIONS	TMS32010		TMS32010-25		UNIT	
		MIN	NOM	MAX	MIN		NOM
$t_{su}(D)$ Setup time data bus valid prior to CLKOUT _i	$R_L = 825 \Omega$	50			40		ns
$t_h(D)$ Hold time data bus held valid after CLKOUT _i (see Note 2)	$C_L = 100 \text{ pF}$ See Figure 2	0			0		ns

NOTE 2: Data may be removed from the data bus upon $\overline{\text{MEN}}_i$ or $\overline{\text{DEN}}_i$ preceding CLKOUT_i.

RESET (\overline{RS}) TIMING

switching characteristics over recommended operating conditions

PARAMETER	TEST CONDITIONS	MIN	TYP	MAX	UNIT
t_{d11} Delay time \overline{DEN} , \overline{WE} , and \overline{MEN} from \overline{RS}	$R_L = 825 \Omega$, $C_L = 100 \text{ pF}$, See Figure 2			$\frac{1}{2} t_{c(C)} - 50^1$	ns
$t_{ds(R)}$ Data bus disable time after \overline{RS}				$\frac{1}{2} t_{c(C)} - 50^1$	ns

¹Values derived from characterization data and not tested.

timing requirements over recommended operating conditions

	TMS32010			TMS32010-25			UNIT
	MIN	NOM	MAX	MIN	NOM	MAX	
$t_{su(R)}$ Reset \overline{RS} setup time prior to CLKOUT (see Note 3)	50			40			ns
$t_w(R)$ \overline{RS} pulse duration	$5t_{c(C)}$			$5t_{c(C)}$			ns

NOTE 3: \overline{RS} can occur anytime during a clock cycle. Time given is minimum to ensure synchronous operation.

INTERRUPT (\overline{INT}) TIMING

timing requirements over recommended operating conditions

	TMS32010			TMS32010-25			UNIT
	MIN	NOM	MAX	MIN	NOM	MAX	
$t_f(\overline{INT})$ Fall time \overline{INT}			15			15	ns
$t_w(\overline{INT})$ Pulse duration \overline{INT}	$t_{c(C)}$			$t_{c(C)}$			ns
$t_{su}(\overline{INT})$ Setup time \overline{INT} before CLKOUT	50			40			ns

I/O (\overline{BIO}) TIMING

timing requirements over recommended operating conditions

	TMS32010			TMS32010-25			UNIT
	MIN	NOM	MAX	MIN	NOM	MAX	
$t_f(\overline{BIO})$ Fall time \overline{BIO}			15			15	ns
$t_w(\overline{BIO})$ Pulse duration \overline{BIO}	$t_{c(C)}$			$t_{c(C)}$			ns
$t_{su}(\overline{BIO})$ Setup time \overline{BIO} before CLKOUT	50			40			ns